

COMMITTENTE:



PROGETTAZIONE:



## U.O. PROGETTAZIONE INTEGRATA NORD

### PROGETTO DEFINITIVO

## RADDOPPIO DELLA LINEA GENOVA – VENTIMIGLIA TRATTA FINALE LIGURE – ANDORA

### OPERE CIVILI

### IN25 – Sistemazione idraulica Rio Castellaro


### Relazione di calcolo scatolare stradale

SCALA:

-

COMMESSA LOTTO FASE ENTE TIPO DOC. OPERA/DISCIPLINA PROGR. REV.

I V 0 I 0 0 D 2 6 C L I N 2 5 0 0 0 0 2 A

Rev.	Descrizione	Redatto	Data	Verificato	Data	Approvato	Data	Autorizzato Data
A	Emissione esecutiva	C. Soave <i>C. Soave</i>	Febbraio 2022	M. Severi <i>M. Severi</i>	Febbraio 2022	G. Fadda <i>G. Fadda</i>	Febbraio 2022	A. Perego Febbraio 2022 

File: IV0100D26CLIN2500002A.docx

n. Elab.

## INDICE

<b>1</b>	<b>PREMESSA .....</b>	<b>4</b>
<b>2</b>	<b>DESCRIZIONE DELL'OPERA .....</b>	<b>5</b>
<b>3</b>	<b>NORMATIVE DI RIFERIMENTO .....</b>	<b>7</b>
<b>4</b>	<b>CARATTERISTICHE DEI MATERIALI.....</b>	<b>10</b>
4.1	CALCESTRUZZO .....	10
	4.1.1 Magrone di fondazione C12/15 .....	10
	4.1.2 Struttura in c.a. C32/40.....	10
4.2	ACCIAIO PER C.A. TIPO B450C .....	10
<b>5</b>	<b>MODELLO GEOTECNICO DI RIFERIMENTO .....</b>	<b>11</b>
<b>6</b>	<b>CODICE DI CALCOLO .....</b>	<b>13</b>
<b>7</b>	<b>MODELLO DI CALCOLO .....</b>	<b>14</b>
7.1	MODELLAZIONE DELL'INTERAZIONE SUOLO-STRUTTURA.....	16
<b>8</b>	<b>ANALISI DEI CARICHI .....</b>	<b>17</b>
8.1	PESO PROPRIO .....	17
8.2	SPINTE DEL TERRENO E DELL'ACQUA .....	17
8.3	CARICHI PERMANENTI NON STRUTTURALI .....	20
	8.3.1 Ricoprimento.....	20
8.4	CARICHI VARIABILI DA TRAFFICO STRADALE.....	20
	8.4.1 Carichi stradali .....	20
	8.4.2 Frenamento e accelerazione .....	23
8.5	AZIONI TERMICHE .....	23
8.6	RITIRO .....	23
8.7	AZIONI SISMICHE.....	24
	8.7.1 Pericolosità sismica .....	24

8.7.2	Sovraspinta sismica del terreno .....	28
8.7.3	Forze inerziali dovute ai carichi permanenti sulla soletta superiore .....	29
<b>9</b>	<b>COMBINAZIONI DI CARICO .....</b>	<b>32</b>
<b>10</b>	<b>CRITERI GENERALI PER LE VERIFICHE STRUTTURALI.....</b>	<b>39</b>
10.1	VERIFICHE ALLO SLU .....	40
10.1.1	Pressoflessione .....	40
10.1.2	Taglio .....	41
10.2	VERIFICHE AGLI SLE.....	42
10.2.1	Verifiche alle tensioni.....	42
10.2.2	Verifiche a fessurazione .....	42
<b>11</b>	<b>RISULTATI DELLE ANALISI E VERIFICHE DELLO SCATOLARE .....</b>	<b>44</b>
11.1	INVILUPPO DELLE SOLLECITAZIONI.....	44
11.2	Riassunto delle sollecitazioni di progetto .....	49
11.3	ARMATURE DI PROGETTO.....	50
11.4	VERIFICHE.....	51
11.4.1	Verifiche a pressoflessione e taglio .....	51
11.4.2	Verifiche geotecniche: verifica a carico limite.....	77
11.4.3	Verifiche di equilibrio (EQU): verifica a galleggiamento .....	82
<b>12</b>	<b>RIEPILOGO ARMATURE E CALCOLO DELLE INCIDENZE .....</b>	<b>83</b>

## 1 PREMESSA

La presente relazione ha per oggetto la verifica della sezione trasversale dell'opera scatolare per attraversamento stradale del Rio Castellaro al di sotto delle nuove viabilità a servizio della nuova linea ferroviaria presso il comune di Borghetto Santo Spirito (SV). L'opera, denominata IN25, è realizzata nell'ambito dell'adeguamento della viabilità interferente con il raddoppio della linea Genova - Ventimiglia nella tratta Finale Ligure - Andora.

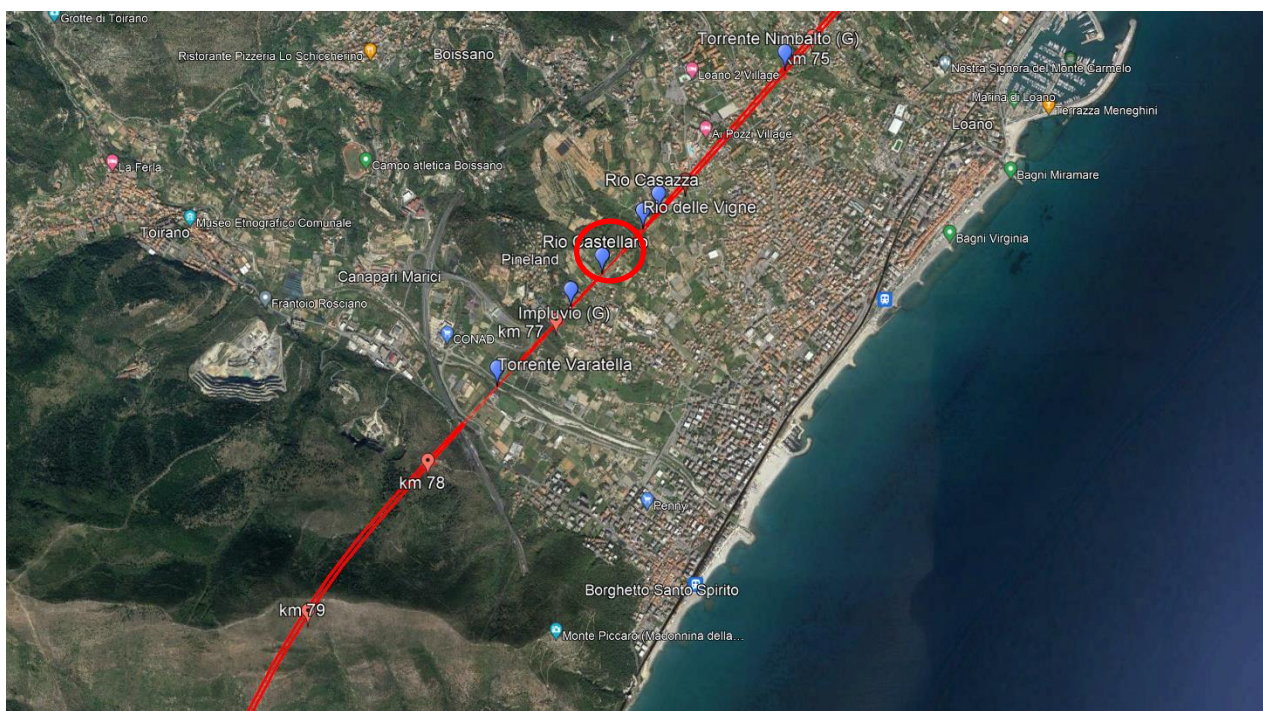


Figura 1: Inquadramento dell'area di intervento

## 2 DESCRIZIONE DELL'OPERA

L'intervento di sistemazione idraulica prevede la realizzazione di uno scatolare di sottoattraversamento della sede stradale avente la seguente geometria:

$S_{SUP}$ = 0.80m	spessore del solettone di copertura
$S_{INF}$ = 0.80m	spessore del solettone di fondazione
$S_1=S_2$ = 0.80m	spessore dei piedritti
$L_e$ = 9.60	larghezza totale scatolare
$L_i$ = 8.00m	larghezza netta scatolare
$H_e$ = 6.10m	altezza totale scatolare
$H_i$ = 4.50m	altezza netta scatolare

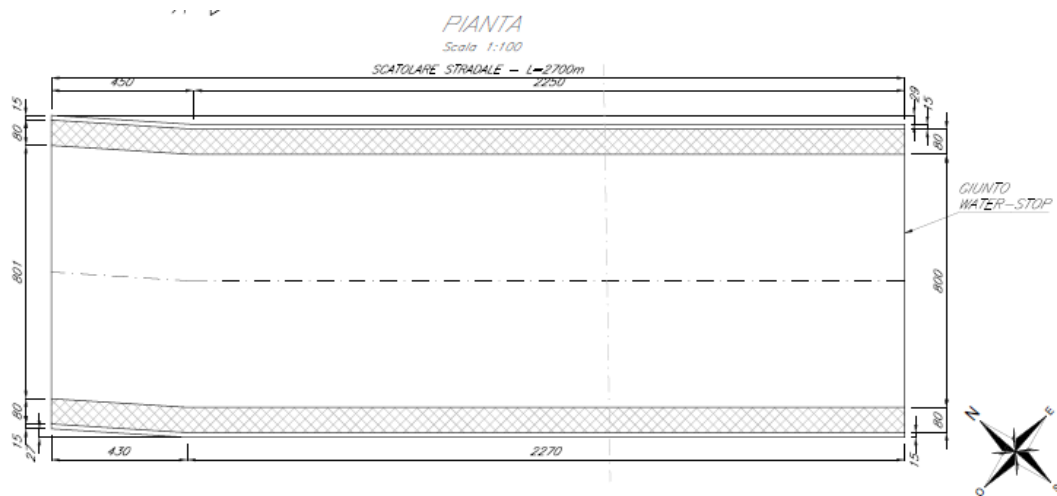


Figura 2 – Vista in pianta del tombino

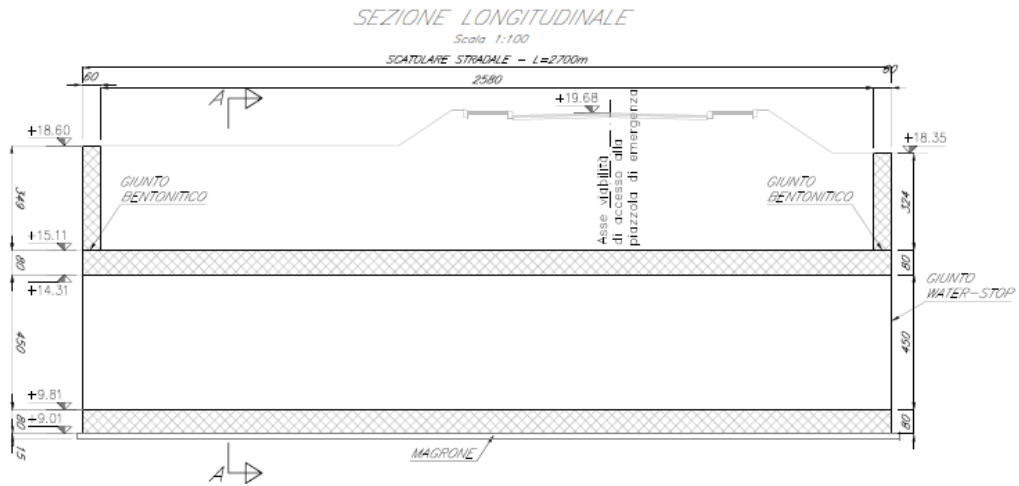


Figura 3 – Profilo longitudinale in asse al tombino

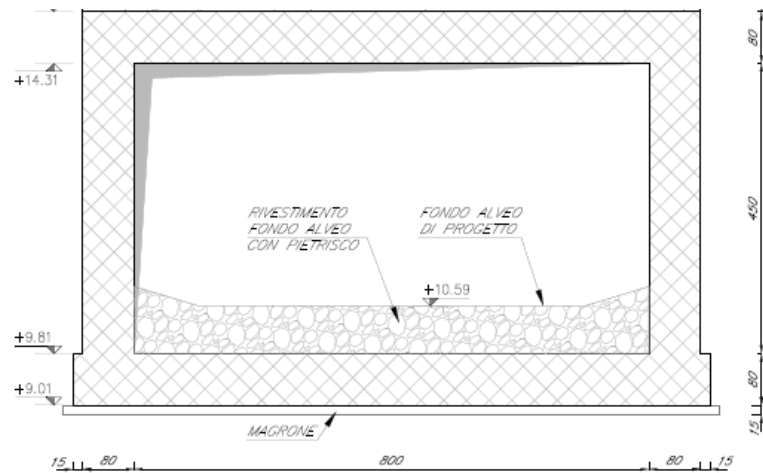


Figura 4 – Sezione trasversale del tombino

### 3 NORMATIVE DI RIFERIMENTO

I calcoli e le disposizioni esecutive sono conformi alle norme attualmente in vigore e nel seguito elencate:

- Legge 5 novembre 1971 n. 1086: Norme per la disciplina delle opere di conglomerato cementizio armato normale e precompresso ed a struttura metallica;
- D.M. del 17.01.2018 “Aggiornamento delle norme tecniche per le costruzioni” (NTC 2018);
- Circolare del 21.01.2019 contenente le istruzioni per le l’applicazione delle “Nuove norme tecniche per le costruzioni” di cui al D.M. del 17.01.2018;
- UNI EN 206:2016 – “Calcestruzzo - Specificazione, prestazione, produzione e conformità”;
- UNI EN 11104:2016 – “Calcestruzzo - Specificazione. prestazione. produzione e conformità - Specificazioni complementari per l’applicazione della EN 206;
- EN 1991-2:2003/AC:2010 “Eurocodice 1 - Azioni sulle strutture - Parte 2: carichi da traffico sui ponti”.
- EN 1992-1 “Eurocodice 2 - Progettazione delle strutture in calcestruzzo - Parte 1-1: Regole generali e regole per edifici”.
- EN 1992-2 “Eurocodice 2 - Progettazione delle strutture in calcestruzzo - Parte 2: ponti di calcestruzzo - Progettazione e dettagli costruttivi”.
- EN 1997-1 “Eurocodice 7 - Progettazione geotecnica- Parte 1: Regole generali”.
- UNI EN 1998-1:2013 “Eurocodice 8 - Progettazione delle strutture per la resistenza sismica - Parte 1: Regole generali, azioni sismiche e regole per gli edifici”;
- UNI EN 1998-5:2005 “Eurocodice 8 - Progettazione delle strutture per la resistenza sismica - Parte 5: Fondazioni, strutture di contenimento ed aspetti geotecnici”;
- Manuale di progettazione delle opere civili RFI parte II – sezione 2 – “Ponti e strutture” - RFI DTC SI PS MA IFS 001 E.
- Manuale di progettazione delle opere civili RFI parte II – sezione 3 – “Corpo stradale” - RFI DTC SI PS MA IFS 001 E.
- RFI DTC SI SP IFS 001 E – “Capitolato Generale di Appalto delle Opere Civili”.

- UIC CODE 777-2R “Structures built over railway lines-Construction requirements in the track zone”
- Norme STI
- Regolamento (UE) N. 1299/2014 della Commissione del 18 novembre 2014 relativo alle specifiche tecniche di interoperabilità per il sottosistema «infrastruttura» del sistema ferroviario dell'Unione europea, modificato dal Regolamento di esecuzione (UE) N° 2019/776 della Commissione del 16 maggio 2019; Legge. 2 febbraio 1974, n. 64. Provvedimenti per le costruzioni con particolari prescrizioni per le zone sismiche.
- Regolamento (UE) N. 1300/2014/UE Specifiche Tecniche di Interoperabilità per l'accessibilità del sistema ferroviario dell'Unione europea per le persone con disabilità e le persone a mobilità ridotta del 18/11/2014, modificato con il Regolamento di esecuzione (UE) N° 2019/772 della Commissione del 16 maggio 2019;
- Regolamento (UE) N° 1303/2014 della Commissione del 18 novembre 2014 relativo alla specifica tecnica di interoperabilità concernente la “sicurezza nelle gallerie ferroviarie” del sistema ferroviario dell'Unione europea, rettificato dal Regolamento (UE) 2016/912 del 9 giugno 2016 e modificato dal Regolamento di esecuzione (UE) N° 2019/776 della Commissione del 16 maggio 2019
- Regolamento UE N. 1301/2014 della Commissione del 18 novembre 2014 relativo alle specifiche tecniche di interoperabilità per il sottosistema «Energia» del sistema ferroviario dell'Unione europea, modificato dal Regolamento di Esecuzione (UE) 2018/868 del 13 giugno 2018 e dal successivo Regolamento di esecuzione (UE) N° 2019/776 della Commissione del 16 maggio 2019
- Regolamento (UE) N. 2016/919 della Commissione del 27 maggio 2016 relativo alla specifica tecnica di interoperabilità per i sottosistemi "controllo-comando e segnalamento" del sistema ferroviario nell'Unione europea modificata con la Rettifica del 15 giugno 2016 e dal Regolamento di esecuzione (UE) N° 2019/776 della Commissione del 16 maggio 2019;
- REGOLAMENTO DI ESECUZIONE (UE) 2019/772 DELLA COMMISSIONE del 16 maggio 2019 che modifica il regolamento (UE) n. 1300/2014 per quanto riguarda l'inventario delle attività al fine di individuare le barriere all'accessibilità, fornire informazioni agli utenti e monitorare e valutare i progressi compiuti in materia di accessibilità.



- REGOLAMENTO DI ESECUZIONE (UE) 2019/776 DELLA COMMISSIONE del 16 maggio 2019 che modifica i regolamenti (UE) n. 321/2013, (UE) n. 1299/2014, (UE) n. 1301/2014, (UE) n. 1302/2014, (UE) n. 1303/2014 e (UE) 2016/919 della Commissione e la decisione di esecuzione 2011/665/UE della Commissione per quanto riguarda l'allineamento alla direttiva (UE) 2016/797 del Parlamento europeo e del Consiglio e l'attuazione di obiettivi specifici stabiliti nella decisione delegata (UE) 2017/1471 della Commissione.

## 4 CARATTERISTICHE DEI MATERIALI

### 4.1 CALCESTRUZZO

#### 4.1.1 Magrone di fondazione C12/15

Peso Specifico	$\gamma =$	25 kN/m <sup>3</sup>
Resistenza Cubica Caratteristica a compressione	$R_{ck} =$	15 MPa
Resistenza Cilindrica Caratteristica a compressione	$f_{ck} =$	12 MPa
Resistenza Cilindrica Media a compressione	$f_{cm} = f_{ck} + 8 =$	20 MPa
Modulo Elastico	$E = 22000 \cdot [f_{cm}/10]^{0.3} =$	27085 MPa

#### 4.1.2 Struttura in c.a. C32/40

Peso Specifico	$\gamma =$	25 kN/m <sup>3</sup>
Resistenza Cubica Caratteristica a compressione	$R_{ck} =$	40 MPa
Resistenza Cilindrica Caratteristica a compressione	$f_{ck} =$	32 MPa
Resistenza Cilindrica Media a compressione	$f_{cm} = f_{ck} + 8 =$	40 MPa
Modulo Elastico	$E = 22000 \cdot [f_{cm}/10]^{0.3} =$	35220 MPa
Coefficiente parziale di sicurezza allo SLU	$\gamma_C =$	1.5
Resistenza Cilindrica media a trazione	$f_{ctm} = 0,3 \cdot (f_{ck})^{2/3} =$	3.51 MPa
Resistenza Cilindrica Caratteristica a trazione	$f_{ctk} = 0,7 \cdot f_{ctm} =$	2.46 MPa
Resistenza di Calcolo a trazione	$f_{ctd} = f_{ctk} / \gamma_C =$	1.64 MPa
Resistenza media a trazione per flessione	$f_{ctm} = 1,2 \cdot f_{ctm} =$	4.21 MPa
Resistenza Cilindrica caratteristica a trazione	$f_{ctk} = 0,7 \cdot f_{ctm} =$	2.95 MPa
Classe di esposizione:		XC4

### 4.2 ACCIAIO PER C.A. TIPO B450C

Peso Specifico	$\gamma =$	78.5 kN/m <sup>3</sup>
Modulo Elastico	$E =$	206000 MPa
Resistenza caratteristica allo snervamento	$f_{yk} =$	450 MPa
Resistenza caratteristica a rottura	$f_{tk} =$	540 MPa
Coefficiente di sicurezza allo SLU	$\gamma_S =$	1,15
Resistenza di calcolo allo SLU	$f_{yd} = f_{yk} / \gamma_S =$	391,3 MPa

## 5 MODELLO GEOTECNICO DI RIFERIMENTO

In accordo con le analisi geognostiche effettuate nell'area oggetto di intervento, di seguito si riportano i parametri geotecnici di progetto utilizzati per i terreni interessati:

Unità	Descrizione	Prof. m pc	$\gamma$ kN/mc	$\phi'$ °	$c'$ kPa	cu kPa	E MPa
-	-	-	-	-	-	-	-
2	Sabbia limosa ghiaiosa con rari ciottoli	0-3	19,5	34	0	-	35
3	Limo ghiaioso	3-6	19	28	0	40	8
2	Sabbia limosa ghiaiosa con rari ciottoli	6-10	19,5	34	0	-	35

Dai dati di progetto, risulta che l'estradosso dello scatolare si trova a quota di circa -4.5m dal piano campagna. Si considera immerso nell'unità geologica **3** per i 2m superiori e nella unità **2** per la restante parte.

Dalle indagini geotecniche è stata desunta una quota di falda posta circa a profondità minima di 4.5 metri da p.c. e, pertanto, risulta interferente con l'opera.

Ai fini della definizione della categoria sismica del sottosuolo, nei pressi dell'opera è stata eseguita, a cura della società Socotec, una prova MASW, dalla quale è stata estrapolata una velocità  $V_{S,30} = 427\text{m/s}$ . Il terreno di fondazione rientra quindi in categoria stratigrafica B.

Prova	$V_s(\text{eq})$	Suolo
MASW 17	427	B

Nel software di calcolo, per simulare il comportamento del terreno di fondazione e di rinfiamento, vengono inserite delle molle alla Winkler non reagenti a trazione. Il terreno di base è stato modellato come un mezzo elastico omogeneo a cui si è assegnata un'apposita costante di sottofondo.

In base ai dati geotecnici riportati, si calcola il modulo di reazione verticale del terreno tramite la formulazione di Vesic:

$$K = \frac{0.6SE}{1-\nu^2} \sqrt[3]{\frac{Eb^4}{(EJ)_{fond}}}$$

Essendo:

E = modulo elastico del terreno

$\nu$  = coefficiente di poisson del terreno

$b$  = larghezza della fondazione

$(EJ)_{fond}$  = modulo elastico e momento di inerzia della fondazione

E_terr	35	MPa
$\nu$	0.25	-
h_fond	0.8	m
b_fond	1	m
Jfond	0.042667	m <sup>4</sup>
fck	32	MPa
E_fond	33345.76	MPa
K	17820.57	kN/m <sup>3</sup>

Si assume un valore del modulo di reazione verticale del terreno  $K_w = 18000 \text{ kN/m}^3$ , in base al quale ricavano i valori delle singole molle.

## 6 CODICE DI CALCOLO

Il dimensionamento dell'opera è stato ottenuto mediante modellazione ad elementi finiti monodimensionali tipo “*beam*” tramite il programma di calcolo Midas Civil.

Le analisi condotte all'interno del modello agli elementi finiti sono volte a determinare lo stato di sollecitazione del manufatto durante tutta la sua esistenza.

Le unità di misura adottate sono le seguenti:

- lunghezze: m
- forze: kN
- masse: kN massa
- temperature: gradi Celsius °
- angoli: gradi sessadecimali.

## 7 MODELLO DI CALCOLO

DATI GEOMETRICI			
Grandezza	Simbolo	Valore	U.M.
Larghezza totale	$L_{tot}$	9.60	m
Larghezza utile	$L_{int}$	8.00	m
Larghezza di calcolo	$L$	8.80	m
Spessore soletta superiore	$S_s$	0.80	m
Spessore piedritti	$S_p$	0.80	m
Spessore fondazione	$S_f$	0.80	m
Altezza totale	$H_{tot}$	6.10	m
Altezza libera	$H_{int}$	4.50	m
Altezza di calcolo	$H$	5.10	m
Spessore rinterro superiore	$H_r$	4.60	m

Le analisi per il calcolo delle sollecitazioni agenti sono state condotte su una porzione di struttura di lunghezza unitaria.

Il modello di calcolo attraverso il quale è schematizzata la struttura è quello di telaio piano chiuso che poggia su un letto di molle alla Winkler.

Nella modellazione vengono impiegati elementi finiti di tipo trave a 6 GL, che ovviamente nell'analisi 2D condotta (telaio piano) si riducono a 3. Ai suddetti elementi sono assegnate le caratteristiche inerziali della struttura reale derivanti dalle proprietà dei materiali e dalla geometria della sezione.

La geometria del modello ricalca la linea baricentrica degli elementi costituenti l'opera (modello in asse), pertanto alle intersezioni delle aste viene applicato un offset rigido che tiene conto delle dimensioni effettive delle sezioni degli elementi.

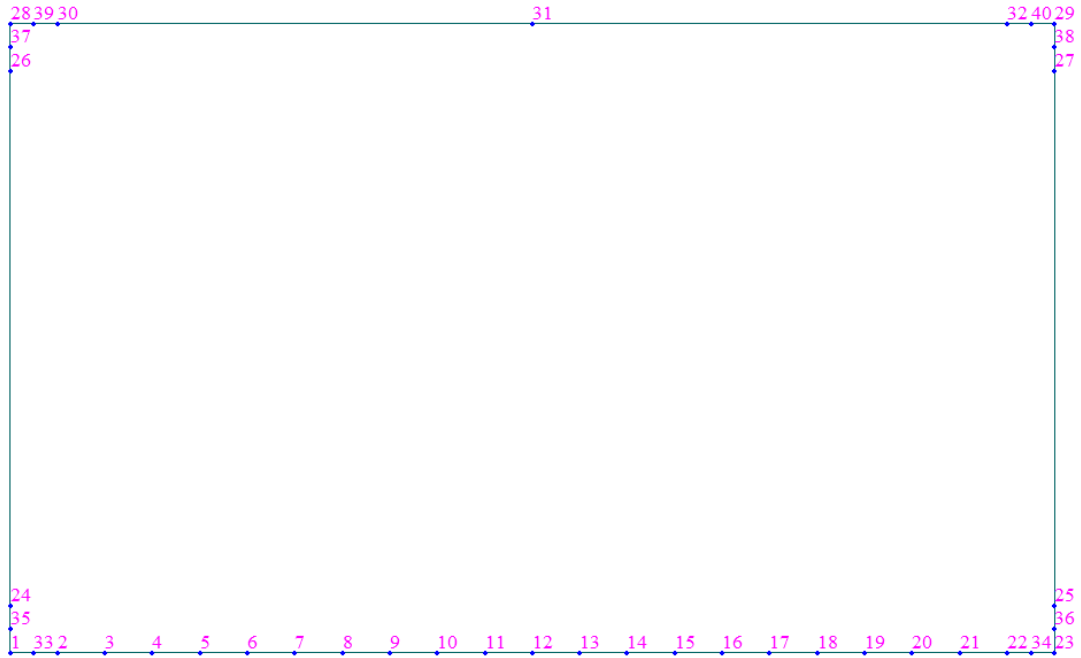


Figura 5: Numerazione dei nodi nel modello strutturale

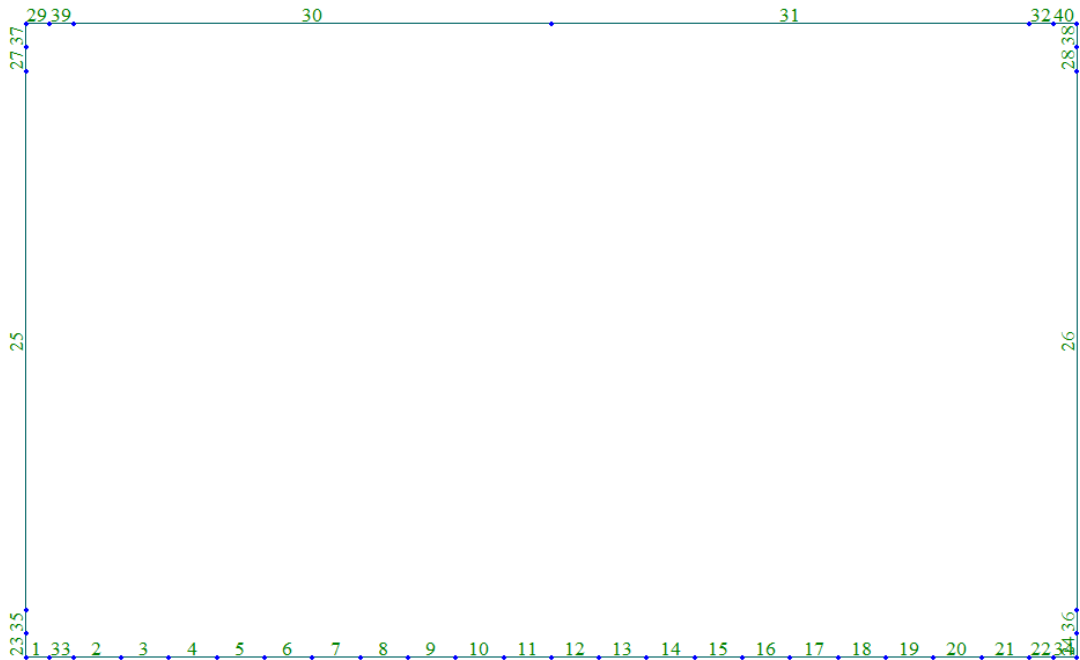


Figura 6: Numerazione dei frame nel modello strutturale

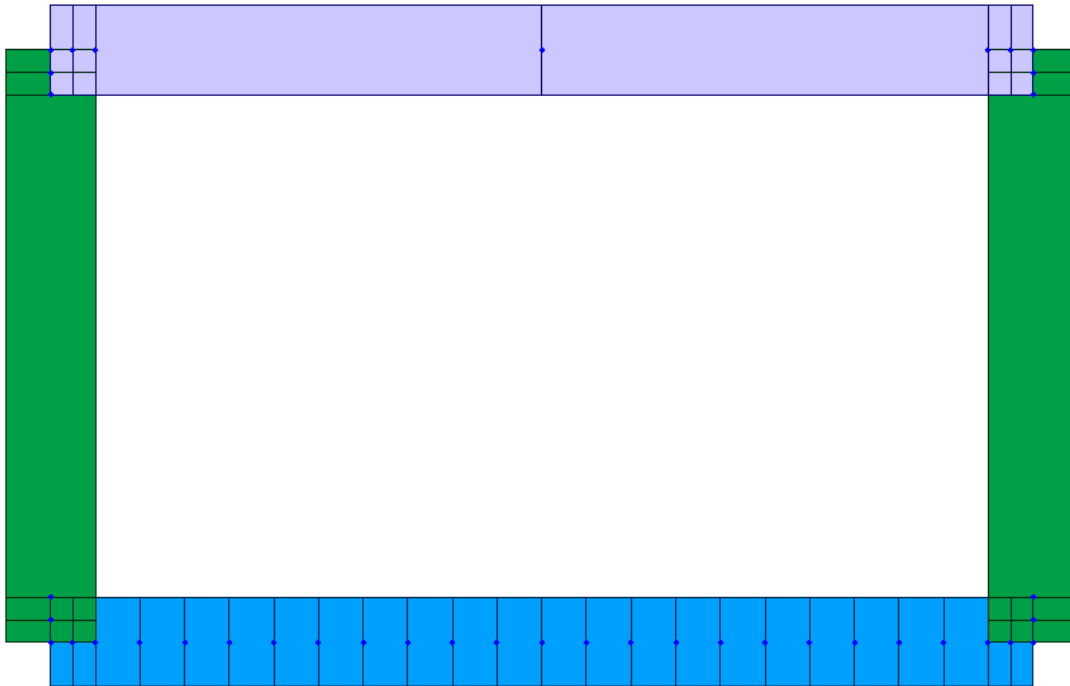


Figura 7: Vista del modello strutturale con spessore degli elementi

## 7.1 MODELLAZIONE DELL'INTERAZIONE SUOLO-STRUTTURA

Si assume un valore del modulo di reazione verticale del terreno  $K_s = 18000 \text{ kN/m}^3$ , in base al quale ricavano i valori delle singole molle.

La soletta inferiore viene suddivisa in 22 segmenti di pari lunghezza, ossia 23 nodi (numerazione da 1 a 23) ai quali sono assegnate le seguenti molle verticali. Considerata la profondità unitaria del modello ( $B=1,0\text{m}$ ), si ha:

Molla centrale

$$K_{12} = K_s \cdot (S_p/2 + L_{int} + S_p/2) / 22 = 7200 \text{ kN/m}$$

I valori delle molle di spigolo si ottengono con la seguente formulazione:

$$K_1 = K_{23} = 2 \cdot K_s \cdot [(S_p/2 + L_{int} + S_p/2) / 22 / 2 + (S_p/2)] = 21600 \text{ kN/m}$$

ed infine in valori delle molle nei nodi 2÷22 (eccetto il nodo 12) come da letteratura si assumono:

$$K_{2-22} = 1.5 \cdot K_{12} = 10800 \text{ kN/m}$$



## 8 ANALISI DEI CARICHI

Il dimensionamento delle strutture viene effettuato sulla base delle azioni elementari riportate nei successivi paragrafi.

### 8.1 PESO PROPRIO

Il peso proprio degli elementi strutturali viene tenuto in conto direttamente dai software di calcolo di riferimento una volta definite le geometrie ed il materiale ( $\gamma_{dis} = 25 \text{ kN/m}^3$ ).

### 8.2 SPINTE DEL TERRENO E DELL'ACQUA

Nel caso in esame a monte della parete è presente la falda a partire da 4.5m dal piano di campagna. Come descritto in precedenza, l'estradosso dell'opera si trova a circa -4.5m dal p.c., quindi la falda si considera a quota +0.1m dall'estradosso e la struttura è completamente interferente con la falda.

Il diagramma delle pressioni sulla parete risulta modificato a causa della sottospinta che l'acqua esercita sul terreno. Il peso di volume del terreno al di sopra della linea di falda non subisce variazioni. Viceversa, al di sotto del livello di falda va considerato il peso di volume di galleggiamento:

$$\gamma_a = \gamma_{sat} - \gamma_w$$

dove  $\gamma_{sat}$  è il peso di volume saturo del terreno e  $\gamma_w = 10 \text{ kN/m}^3$  è il peso di volume dell'acqua. Quindi il diagramma delle pressioni al di sotto della linea di falda ha una pendenza minore. Al diagramma così ottenuto va sommato il diagramma triangolare legato alla pressione idrostatica esercitata dall'acqua.

Le caratteristiche assunte per il terreno, ponendo  $z=0$  all'estradosso dello scatolare, sono le seguenti:

	Z	$\gamma$ [kN/m <sup>3</sup> ]	Falda	$\varphi'$ [°]	$K_0 = 1 - \sin\varphi$
Ug3	0 ÷ -2.0	9	Sì	28	0.53
Ug2	-2.0 ÷ -6.1	9.5	Sì	34	0.44

Sopra l'estradosso dello scatolare si considera un rilevato stradale di spessore 4.5m e di peso specifico  $\gamma = 20 \text{ kN/m}^3$ . Perciò le spinte del terreno sulla parete verticale sono le seguenti:

Cond. STR

$p_{z=0} =$	47.7	kN/m	Pressione estradosso soletta superiore
$p_{z=-0.4m} =$	49.6	kN/m	Pressione in asse soletta superiore
$p_{z=-2m} =$	57.2	kN/m	Pressione alla profondità dell'Ug 2
$p_{z=-5.7m} =$	75.9	kN/m	Pressione in asse soletta inferiore
$P_{z=-6.1} =$	77.9	kN/m	Pressione intradosso soletta inferiore

La parte di spinta del terreno esercitata su metà spessore della soletta superiore e quello agente su metà spessore della soletta inferiore è applicata come carico concentrato nei nodi di estremità del piedritto.

Carico concentrato sui nodi 28,1 e 29,23

Nodi sup.	$1/2 * (p_{z=0} + p_{z=-0.4}) * S_f/2$	19.5	kN	Spinta semispessore soletta superiore
Nodi inf.	$1/2 * (p_{z=-5.7} + p_{z=-6.1}) * S_f/2$	30.8	kN	Spinta semispessore soletta inferiore

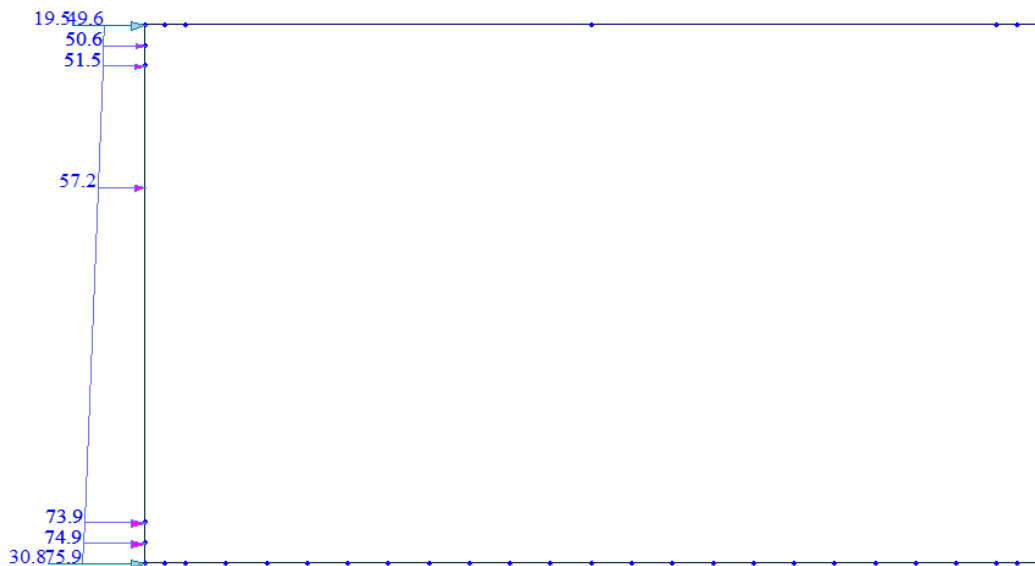


Figura 8: Spinte del terreno

Le spinte dell'acqua (quota falda +0.1m da estradosso superiore) sulle pareti verticali e sul fondo sono le seguenti:

Cond. SAq			
$p_{z=0} =$	1.0	kN/m	Pressione estradosso soletta superiore
$p_{z=-0.4m} =$	5.0	kN/m	Pressione in asse soletta superiore
$p_{z=-2m} =$	21.0	kN/m	Pressione alla profondità dell'Ug 2
$p_{z=-5.7m} =$	58.0	kN/m	Pressione in asse soletta inferiore
$P_{z=-6.1} =$	62.0	kN/m	Pressione intradosso soletta inferiore

La parte di spinta idrostatica esercitata su metà spessore della soletta inferiore e del piedritto è applicata come carico concentrato nei nodi di estremità del piedritto.

Carico concentrato sui nodi 1 e 23				
Nodi sup.	$1/2 * (p_{z=0} + p_{z=-0.4}) * S_f/2$	1.2	kN	Spinta semispessore soletta superiore
Nodi inf.	$1/2 * (p_{z=-5.7} + p_{z=-6.1}) * S_f/2$	24.0	kN	Spinta semispessore soletta inferiore
	$p_{z=-6.1} * S_f/2$	24.8	kN	Sottospinta semispessore piedritto

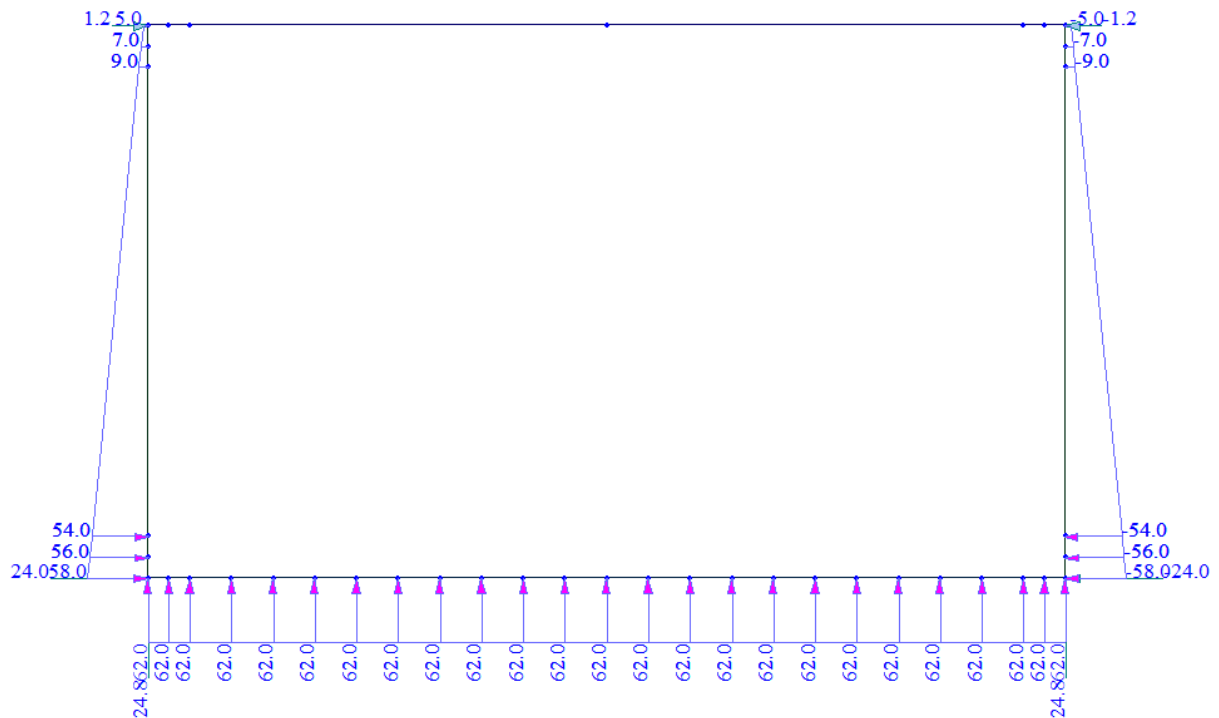


Figura 9: Spinta idrostatica

### 8.3 CARICHI PERMANENTI NON STRUTTURALI

#### 8.3.1 Ricoprimento

Sul solettone superiore si considera uno spessore di ricoprimento  $H_r=4.6\text{m}$  con peso di unità di volume  $\gamma_r = 20\text{kN/m}^3$ . Il carico uniformemente distribuito verticale agente sulla soletta superiore corrisponde a  $g_2 = 92\text{kN/m}$  ed in corrispondenza dei nodi 28 e 29, la parte di carico del ballast verticale esercitata su 1/2 spessore dei piedritti è pari a  $36.8\text{kN}$ .

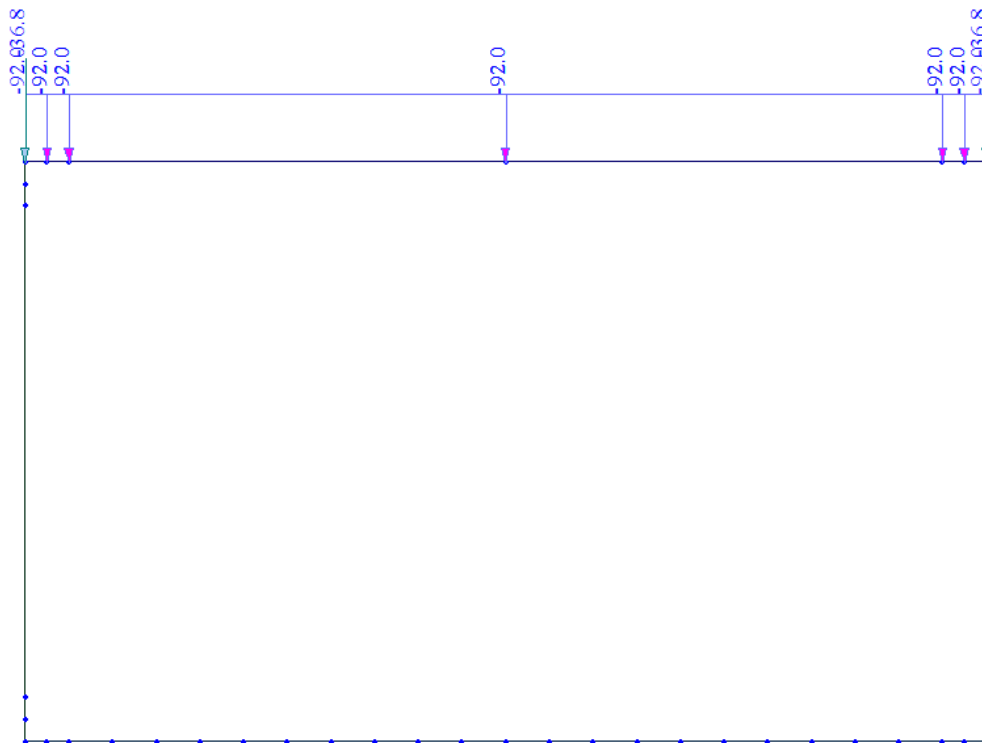


Figura 10: Carichi sulla soletta superiore

### 8.4 CARICHI VARIABILI DA TRAFFICO STRADALE

Nell'ambito dello scatolare stradale, si è fatto riferimento al D.M. 17/01/2018 (§5.1).

#### 8.4.1 Carichi stradali

Dato il considerevole spessore di ricoprimento, si considera un carico accidentale da traffico su rilevato pari a  $20\text{kN/m}^2$ , uniformemente distribuito su tutta la larghezza della carreggiata.

Si considera che i sovraccarichi si distribuiscano trasversalmente attraverso il ricoprimento con a 45° all'interno del CLS e del ricoprimento.

Diffusione del carico in senso trasversale		
$L_d = L_c + [H_r + S_s/2] * 2$	16.5	m

Dove:  $L_c = 6.5\text{m}$  indica la larghezza totale della carreggiata

$H_r = 4.6\text{m}$

$S_s = 0.8\text{m}$ .

Pertanto, il carico ripartito risulta:

Carico ripartito prodotto dal carico distribuito		
$q_{vk} = (6.5 \cdot 20) / L_d$	7.9	$\text{kN/m}^2$

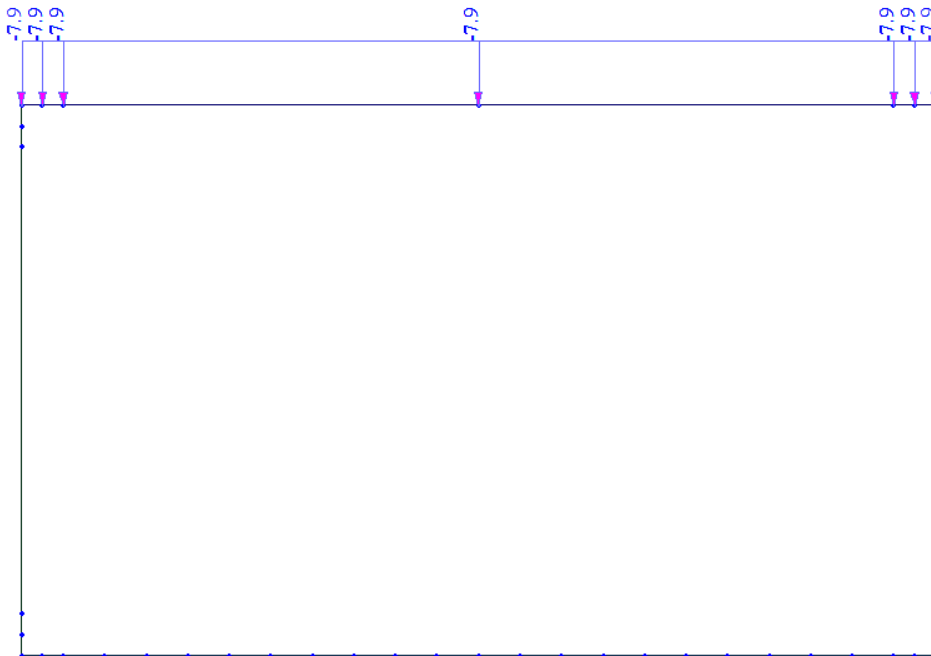


Figura 11: Carichi da traffico solo sulla soletta

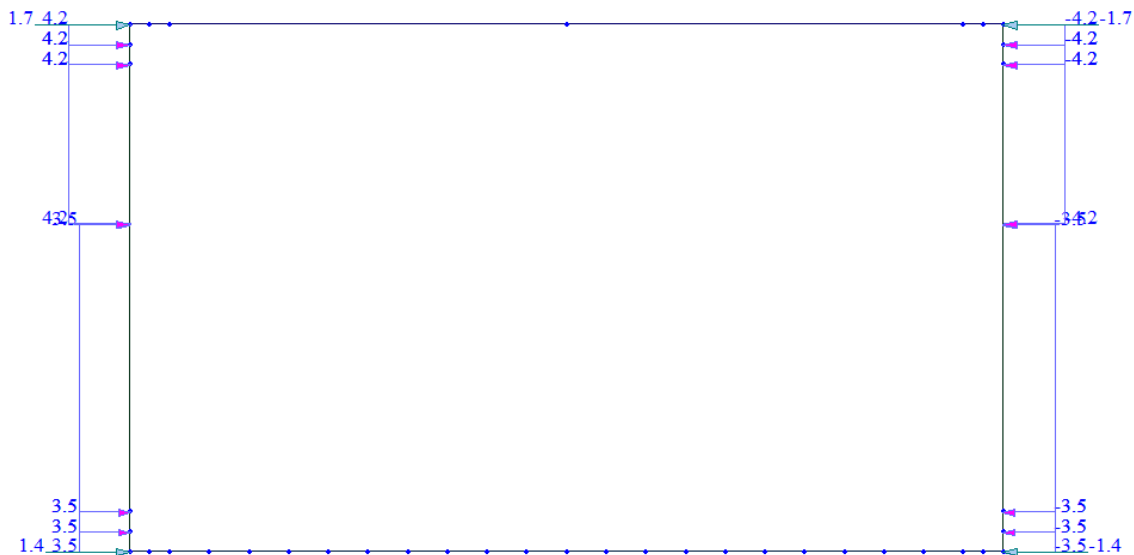


Figura 12: Carichi da traffico solo sui piedritti

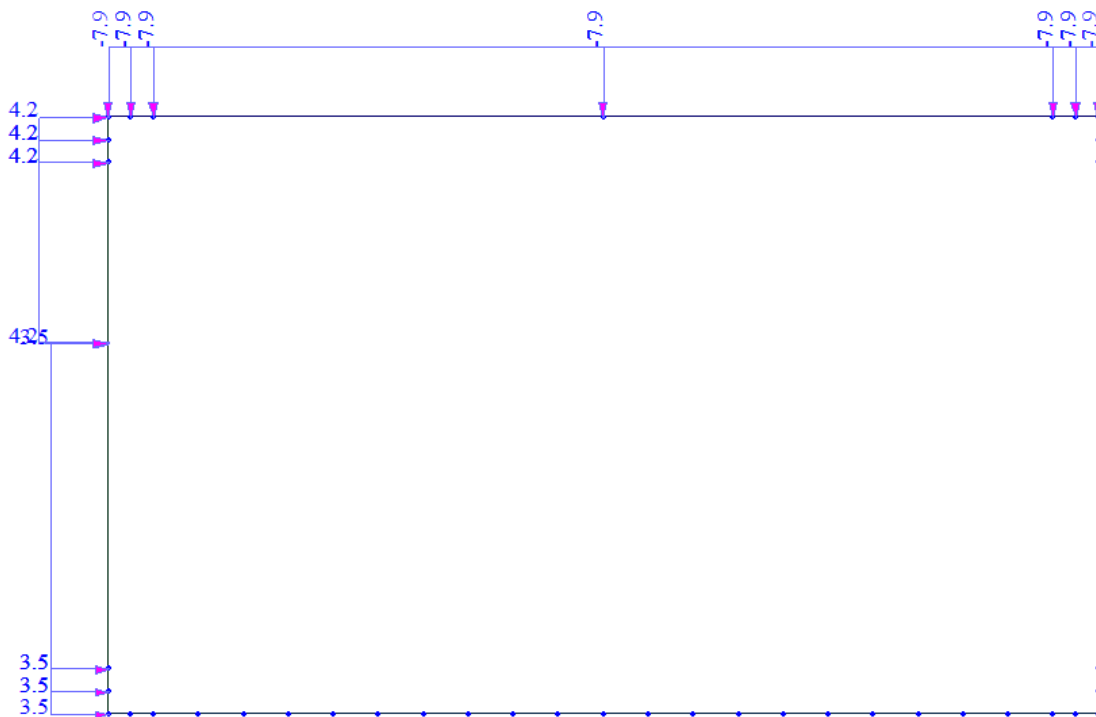


Figura 13: Carichi da traffico su soletta ed un piedritto

Oltre al carico distribuito sugli elementi, si è considerato il carico concentrato ai nodi di estremità dovuto agli spessori non modellati.

#### 8.4.2 Frenamento e accelerazione

Le sollecitazioni di frenamento e accelerazione sono valutate secondo la formula seguente

$$180 \text{ kN} \leq q_3 = 0,6 (2Q_{1k}) + 0,10q_{1k} \cdot w_1 \cdot L = 386 \text{ kN} \leq 900 \text{ kN}$$

Il valore dell'azione distribuita applicata al modello ( $q_{d,3}$ ) sono ottenuti dalla seguente formula:

$$q_{d,3} = q_3 / (L \cdot L_d) = 2.4 \text{ kN/m}$$

#### 8.5 AZIONI TERMICHE

La variazione termica uniforme applicata alla soletta di copertura è pari a  $\Delta T = \pm 15^\circ\text{C}$ .

Il gradiente termico applicato alla soletta di copertura è pari a  $\Delta T = \pm 5^\circ\text{C}$ .

#### 8.6 RITIRO

Gli effetti del ritiro vanno valutati a “lungo termine” attraverso il calcolo dei coefficienti di ritiro finale  $\epsilon_{cs}(t, t_0)$  e di viscosità  $\phi(t, t_0)$ , come definiti in D.M.17-01-2018. I fenomeni di ritiro vengono considerati agenti solo sulla soletta di copertura ed applicati nel modello come una variazione termica uniforme equivalente agli effetti del ritiro.

Tale variazione di temperatura ( $\Delta T_{\text{ritiro}}$ ) è stata calcolata nelle seguenti ipotesi:

Umidità media RH: 80%

In accordo con paragrafo 11.2.10.6 del D.M.17-01-2018 si ha:

$$\epsilon_{c0} = -0.24\text{‰};$$

$$h_0 = 1600 \text{ mm};$$

$$\epsilon_{cd,\infty} = -0.24 \cdot k_h = -0.24 \times 0.70 = -0.168\text{‰}.$$

il valore medio del ritiro autogeno è invece calcolato con la formula 11.2.10 del D. M. 17-01-2018:

$$\epsilon_{ca} = 0.000055;$$

Per cui la deformazione totale per ritiro vale:

$$\epsilon_{cs} = \epsilon_{cd} + \epsilon_{ca} = 0.000168 + 0.000055 = 0.000223.$$

Il coefficiente di dilatazione termica  $\alpha = 0.000012$ , per cui:

$$\Delta T = \epsilon_{cs} / \alpha = 18.6^\circ\text{C}$$

## 8.7 AZIONI SISMICHE

Nell'analisi pseudo-statica l'azione sismica è rappresentata da una forza statica equivalente pari al prodotto delle forze di gravità per un opportuno coefficiente sismico  $k$ .

Le forze sismiche sono pertanto le seguenti:

$$F_h = k_h \cdot W ; \quad \text{forza sismica orizzontale}$$

$$F_v = k_v \cdot W ; \quad \text{forza sismica verticale}$$

I valori dei coefficienti sismici orizzontale  $k_h$  e verticale  $k_v$  possono essere valutati mediante le espressioni:

$$k_h = \beta_m \cdot \frac{a_{\max}}{g} ; \quad \text{coeff. sismico orizzontale}$$

$$k_v = \pm 0,5k_h ; \quad \text{coeff. sismico verticale}$$

Dove:

$$a_{\max} = S_s \cdot S_T \cdot a_g$$

$S_s$  = coeff. amplificazione stratigrafica

$S_T$  = coeff. di amplificazione topografica

Nel presente progetto è stata verificata la combinazione di carico sismica con riferimento allo stato limite ultimo di salvaguardia della vita (SLV).

### 8.7.1 Pericolosità sismica

Per la caratterizzazione sismica del sito si è utilizzata la zonazione di cui al DM 17/01/2018, introducendo le coordinate geografiche di latitudine e longitudine proprie del sito di costruzione.



Ricerca per coordinate

LONGITUDINE

LATITUDINE

---

Ricerca per comune

REGIONE

PROVINCIA

COMUNE

---

**Elaborazioni grafiche**

Grafici spettri di risposta

Variabilità dei parametri

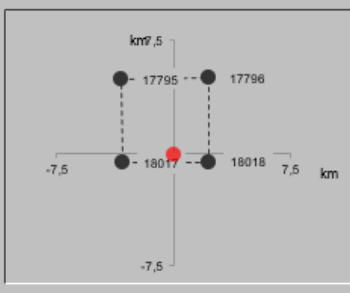
---

**Elaborazioni numeriche**

Tabella parametri

---

**Nodi del reticolo intorno al sito**




**Reticolo di riferimento**

Controllo sul reticolo

- Sito esterno al reticolo
- Interpolazione su 3 nodi
- Interpolazione corretta

Interpolazione



La "Ricerca per comune" utilizza le ... coordinate ISTAT del comune per identificare il sito. Si sottolinea che ... all'interno del territorio comunale le azioni sismiche possono essere significativamente diverse da quelle così individuate e si consiglia, quindi, a "Ricerca per coordinate".

---

INTRO
FASE 1
FASE 2
FASE 3

L'azione sismica è stata individuata in accordo con le normative vigenti sulla base dei seguenti parametri:

- Vita nominale dell'opera       $V_N = 75$  anni
- Classe d'uso dell'opera III       $C_U = 1.5$

### FASE 2. SCELTA DELLA STRATEGIA DI PROGETTAZIONE

Vita nominale della costruzione (in anni) -  $V_N$   info

Coefficiente d'uso della costruzione -  $c_U$   info

Valori di progetto

Periodo di riferimento per la costruzione (in anni) -  $V_R$   info

Periodi di ritorno per la definizione dell'azione sismica (in anni) -  $T_R$  info

Stati limite di esercizio - SLE

SLO - $P_{VR} = 81\%$	<input type="text" value="68"/>
SLD - $P_{VR} = 63\%$	<input type="text" value="113"/>

Stati limite ultimi - SLU

SLV - $P_{VR} = 10\%$	<input type="text" value="1068"/>
SLC - $P_{VR} = 5\%$	<input type="text" value="2193"/>

Elaborazioni

- Grafici parametri azione
- Grafici spettri di risposta
- Tabella parametri azione

Strategia di progettazione



LEGENDA GRAFICO

- Strategia per costruzioni ordinarie
- Strategia scelta

L'azione sismica di progetto viene calcolata con riferimento allo SLV, per il quale si calcola un periodo di ritorno dell'azione sismica di progetto pari a 712 anni. In funzione del periodo di ritorno dell'azione sismica, sono definiti i parametri di base dell'azione sismica:

- $a_g$  accelerazione orizzontale massima del terreno su suolo di categoria A, espressa come frazione dell'accelerazione di gravità;
- $F_0$  valore massimo del fattore di amplificazione dello spettro in accelerazione orizzontale;
- $T_c^*$  periodo di inizio del tratto a velocità costante dello spettro in accelerazione orizzontale;

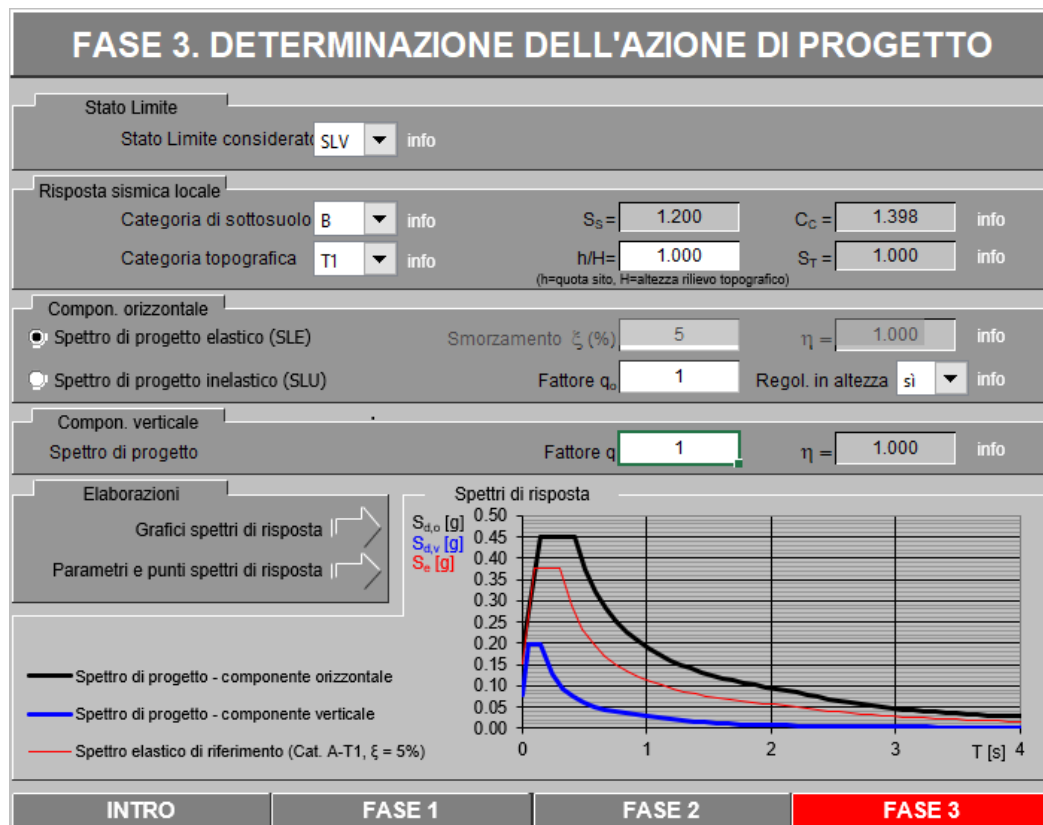
SLATO LIMITE	$T_R$ [anni]	$a_g$ [g]	$F_0$ [-]	$T_c^*$ [s]
SLO	68	0.037	2.542	0.212
SLD	113	0.050	2.525	0.243
SLV	1068	0.152	2.472	0.301
SLC	2193	0.203	2.495	0.315

In funzione della categoria del sottosuolo e della categoria topografica, si valutano le azioni sismiche di base per il sito in esame. In particolare, sono definite:

- Categoria di sottosuolo            B
- Categoria topografica            T1

Da cui si evincono i seguenti valori del coefficiente stratigrafico e topografico

- Coefficiente stratigrafico         $S_S = 1.20$
- Coefficiente topografico         $S_T = 1.00$



Come anzidetto, il calcolo viene eseguito con il metodo pseudostatico. In queste condizioni l'azione sismica è rappresentata da una forza statica equivalente pari al prodotto delle forze di gravità per un opportuno coefficiente sismico. I valori dei coefficienti sismici orizzontali  $k_h$  e verticale  $k_v$  possono essere valutati mediante le espressioni:

$$k_h = \beta_m \frac{a_{\max}}{g} \quad k_v = \pm 0.50 \cdot k_h$$

dove :

$a_{\max} = S_s \cdot S_T \cdot a_g$  accelerazione orizzontale massima attesa al sito;

$g$  = accelerazione di gravità;

Coefficienti sismici agli SLV			
$S = S_s \times S_T$	=	1.20	
$a_{\max}$	=	0.152	g
$\beta_m$	=	1.00	Struttura che non subisce spostamenti
$K_h$	=	0.182	coeff. sismico orizzontale
$K_v$	=	0.091	coeff. sismico verticale

Gli effetti dell'azione sismica saranno valutati tenendo conto delle masse associate ai seguenti carichi gravitazionali:

$$G_1 + G_2 + \psi_{2j} Q_{kj}$$

Dove si assumerà per i carichi dovuti al transito dei convogli ferroviari  $\psi_{2j} = 0,2$  così come definito in Tabella 5.2.V del MdP RFI 2021.

$G_1$  = massa associata al peso proprio;

$G_2$  = massa associata al carico permanente;

$Q_k$  = carico ferroviario.

### 8.7.2 Sovrappinta sismica del terreno

In base alla teoria di Wood la risultante dell'incremento di spinta sismico su una parete di altezza  $H$  viene determinato con la seguente espressione:

$$\Delta S_E = (a_{\max}/g) \cdot \gamma \cdot H^2$$

La risultante viene applicata ad un'altezza pari ad  $H/2$  e considerata agente su uno solo dei piedritti dell'opera.

Pertanto, allo SLV, l'incremento di spinta del terrapieno sulla parete risulta:

$$q_E = (\gamma_a + \gamma'_t) \cdot H_t \cdot k_h = 21.6 \text{ kN/m}^2$$

Con:

$$\gamma_w = 10 \text{ kN/m}^3$$

$$\gamma'_t = 9.5 \text{ kN/m}^3$$

$$H_t = 6.1 \text{ m} \quad \text{altezza totale della struttura}$$

Inoltre, vengono aggiunte, come carichi concentrati nei nodi 28 e 1 le seguenti forze, derivanti dalla parte di spinta agente su metà spessore della soletta:

Nodi sup. (SISX) sul nodo 28		
$q_E \cdot S_s / 2$	8.7	kN

Nodi inf (SISX) sul nodo 1		
$q_E \cdot S_i / 2$	8.7	kN



Figura 14: Sovrappinta sismica del terreno

### 8.7.3 Forze inerziali dovute ai carichi permanenti sulla soletta superiore

Mentre le forze sismiche inerziali dovute al peso proprio strutturale sono applicate sotto forma di accelerazione  $k_h$  e  $k_v$  in direzione orizzontale e verticale, l'azione sismica dovuta all'inerzia delle masse presenti sulla soletta superiore è rappresentata da un insieme di forze, date dal prodotto delle suddette accelerazioni per le masse stesse, di cui la componente verticale è considerata agente verso l'alto o verso il basso, in modo da produrre gli effetti più sfavorevoli.

Si ha dunque:

$$F_{h,r} = g_2 \cdot L_{tot} \cdot k_h / L = 18.3 \text{ kN/m}$$

$$F_{v,r} = g_2 \cdot L_{tot} \cdot k_v / L = 9.1 \text{ kN/m}$$

Inoltre, tra le masse sismiche si considerano le azioni dovute al carico stradale con coefficiente pari a 0.20:

$$F_{h,tr} = 0.2 \cdot Q_{vk} \cdot L_{tot} \cdot k_h / L = 0.8 \text{ kN/m}$$

$$F_{v,tr} = 0.2 \cdot Q_{vk} \cdot L_{tot} \cdot k_v / L = 0.4 \text{ kN/m}$$

In totale si ottiene:

$$F_h = F_{h,r} + F_{h,tr} = 19.1 \text{ kN/m}$$

$$F_v = F_{v,r} + F_{v,tr} = 9.5 \text{ kN/m}$$

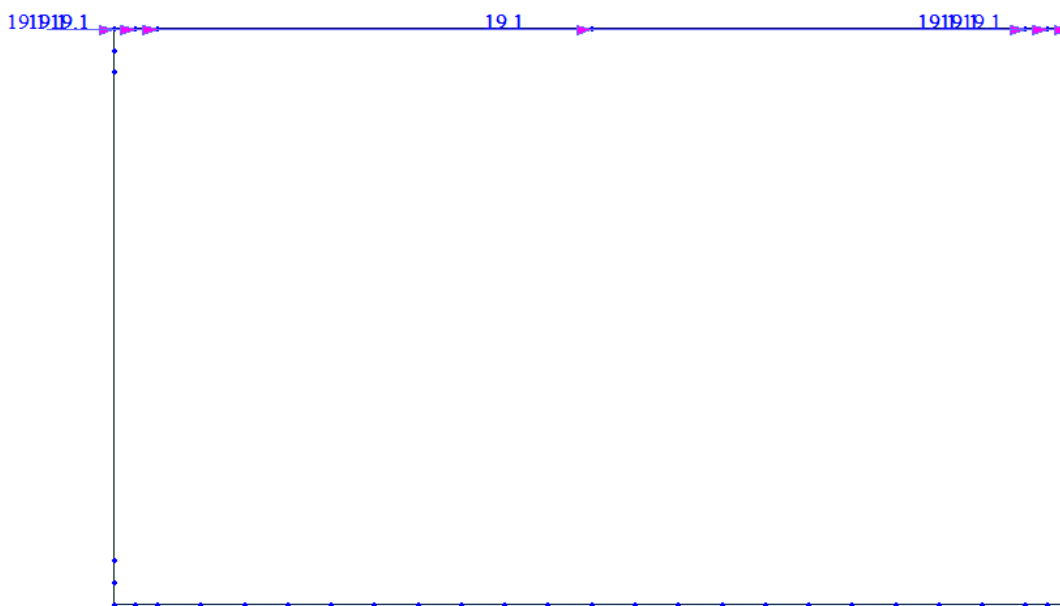


Figura 15: Forza inerziale orizzontale

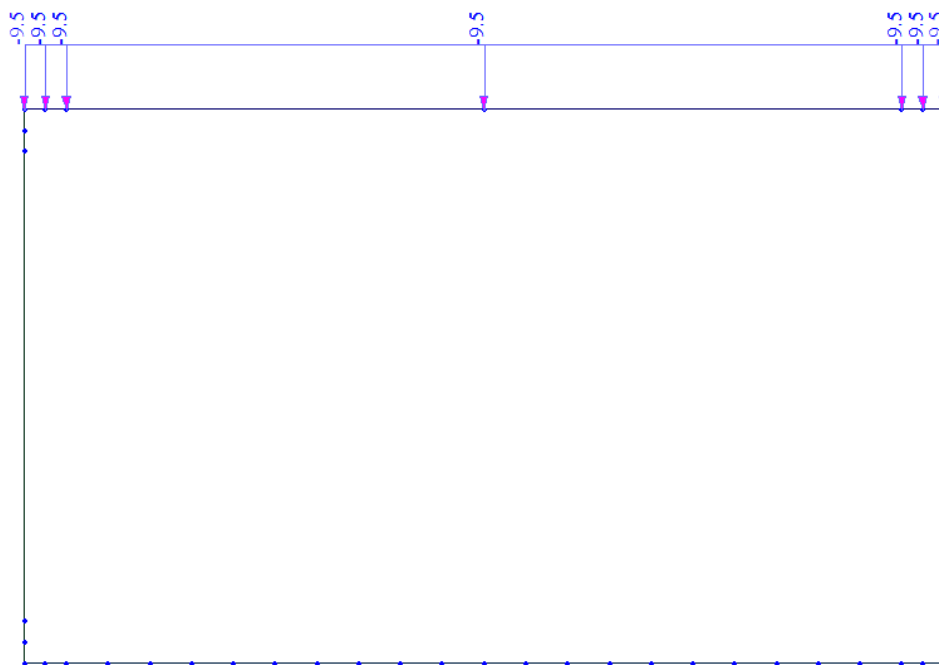


Figura 16: Forza inerziale verticale

## 9 COMBINAZIONI DI CARICO

La verifica della sicurezza nei riguardi degli stati limite ultimi di resistenza è stata effettuata con il “metodo dei coefficienti parziali” di sicurezza espresso dalla equazione formale:

$$R_d \geq E_d$$

dove:

$R_d$  è la resistenza di progetto, valutata in base ai valori di progetto della resistenza dei materiali e ai valori nominali delle grandezze geometriche interessate:

$$R_d = \frac{1}{\gamma_R} R \left[ \gamma_F F_k; \frac{X_k}{\gamma_M}; a_d \right];$$

Il coefficiente  $\gamma_R$  opera direttamente sulla resistenza del sistema. I coefficienti parziali di sicurezza,  $\gamma_{M,i}$  e  $\gamma_{F,j}$ , associati rispettivamente al materiale i-esimo e all'azione j-esima, tengono in conto la variabilità delle rispettive grandezze e le incertezze relative alle tolleranze geometriche e all'affidabilità del modello di calcolo.

$E_d$  è il valore di progetto dell'effetto delle azioni, valutato direttamente come  $E_d = E_k \cdot \gamma_E$  con  $\gamma_E = \gamma_F$ :

$$E_d = \gamma_E E \left[ F_k; \frac{X_k}{\gamma_M}; a_d \right];$$

La verifica della relazione  $R_d \geq E_d$  è stata effettuata impiegando diverse combinazioni di gruppi di coefficienti parziali (cfr tabelle sotto), rispettivamente definiti per le azioni (A1 e A2), per i parametri geotecnici (M1 e M2) e per le resistenze (R1, R2 e R3).

PARAMETRO	GRANDEZZA ALLA QUALE APPLICARE IL COEFFICIENTE PARZIALE	COEFFICIENTE PARZIALE	(M1)	(M2)
Tangente dell'angolo di resistenza al taglio	$\tan \phi'_k$	$\gamma_{\phi'}$	1,0	1,25
Coesione efficace	$c'_k$	$\gamma_{c'}$	1,0	1,25
Resistenza non drenata	$c_{uk}$	$\gamma_{cu}$	1,0	1,4
Peso dell'unità di volume	$\gamma$	$\gamma_r$	1,0	1,0

Tabella 1 – Coefficienti parziali per i parametri geotecnici dei terreni



**Tabella 6.4.I** - Coefficienti parziali  $\gamma_R$  per le verifiche agli stati limite ultimi di fondazioni superficiali.

VERIFICA	COEFFICIENTE PARZIALE (R1)	COEFFICIENTE PARZIALE (R2)	COEFFICIENTE PARZIALE (R3)
Capacità portante	$\gamma_R = 1,0$	$\gamma_R = 1,8$	$\gamma_R = 2,3$
Scorrimento	$\gamma_R = 1,0$	$\gamma_R = 1,1$	$\gamma_R = 1,1$

*Tabella 2 – Coefficienti parziali per le resistenze*

Nel caso specifico le verifiche tipo geotecniche (GEO), di equilibrio di corpo rigido (EQU) e strutturali (STR) sono state condotte sulla base dell'Approccio 2, che prevede la combinazione dei seguenti coefficienti:

A1+M1+R3

Per le verifiche agli stati limite si considerano le combinazioni di carico previste nel DM del 17/01/2018 al punto 2.5.3 (“Combinazioni delle azioni”) che descrivono le combinazioni in generale.

Ai fini delle verifiche degli stati limite si definiscono le seguenti combinazioni delle azioni.

Combinazione fondamentale impiegata per gli stati limite ultimi (SLU):

$$\gamma_{G1} \cdot G_1 + \gamma_2 \cdot G_2 + \gamma_{Q1} \cdot Q_{K1} + \gamma_{Q2} \cdot \psi_{02} \cdot Q_{K2} + \gamma_{Q3} \cdot \psi_{03} \cdot Q_{K3} + \dots$$

Combinazione caratteristica (rara) impiegata per gli stati limite di esercizio (SLE) irreversibili:

$$G_1 + G_2 + Q_{K1} + \psi_{02} \cdot Q_{K2} + \psi_{03} \cdot Q_{K3} + \dots$$

Combinazione frequente, impiegata per gli stati limite di esercizio (SLE) reversibili:

$$G_1 + G_2 + \psi_{11} \cdot Q_{K1} + \psi_{22} \cdot Q_{K2} + \gamma_{Q3} \cdot \psi_{23} \cdot Q_{K3} + \dots$$

Combinazione quasi permanente (SLE) impiegata per gli effetti a lungo termine:

$$G_1 + G_2 + \psi_{21} \cdot Q_{K1} + \psi_{22} \cdot Q_{K2} + \psi_{23} \cdot Q_{K3} + \dots$$

Combinazione sismica, impiegata per gli stati limite ultimi e di esercizio connessi all'azione sismica E:

$$E + G_1 + G_2 + \psi_{21} \cdot Q_{K1} + \psi_{22} \cdot Q_{K2} + \dots$$

Gli effetti dei carichi verticali, dovuti alla presenza del mezzo, vengono sempre combinati con le altre azioni derivanti dal traffico stradale, adottando i coefficienti di cui alla *Tabella 5.1.IV del DM 17/01/2018* di seguito riportata.

In particolare, per ogni gruppo viene individuata una azione dominante che verrà considerata per intero; per le altre azioni, vengono definiti diversi coefficienti di combinazione. Ogni gruppo massimizza una particolare condizione alla quale la struttura dovrà essere verificata.

Tab. 5.1.IV – Valori caratteristici delle azioni dovute al traffico

Gruppo di azioni	Carichi sulla superficie carrabile				Carichi su marciapiedi e piste ciclabili non sormontabili	
	Carichi verticali		Carichi orizzontali		Carichi verticali	
	Modello principale (schemi di carico 1, 2, 3, 4 e 6)	Veicoli speciali	Folla (Schema di carico 5)	Frenatura	Forza centrifuga	Carico uniformemente distribuito
1	Valore caratteristico					Schema di carico 5 con valore di combinazione 2,5kN/m <sup>2</sup>
2a	Valore frequente			Valore caratteristico		
2b	Valore frequente				Valore caratteristico	
3 (*)						Schema di carico 5 con valore caratteristico 5,0kN/m <sup>2</sup>
4 (**)			Schema di carico 5 con valore caratteristico 5,0kN/m <sup>2</sup>			Schema di carico 5 con valore caratteristico 5,0kN/m <sup>2</sup>
5 (***)	Da definirsi per il singolo progetto	Valore caratteristico o nominale				

(\*) Ponti pedonali  
(\*\*) Da considerare solo se richiesto dal particolare progetto (ad es. ponti in zona urbana)  
(\*\*\*) Da considerare solo se si considerano veicoli speciali

Nella tabella sopra riportata è indicato un coefficiente per gli effetti a sfavore di sicurezza e, tra parentesi, un coefficiente, minore del precedente, per gli effetti a favore di sicurezza.

I Gruppi definiscono le azioni che nelle diverse combinazioni sono generalmente definite come  $Q_{ki}$ .

I coefficienti di amplificazione dei carichi  $\gamma$  e i coefficienti di combinazione  $\psi$  sono riportati nelle tabelle seguenti.

**Tab. 5.1.V – Coefficienti parziali di sicurezza per le combinazioni di carico agli SLU**

		Coefficiente	EQU <sup>(1)</sup>	A1	A2
Azioni permanenti $g_1$ e $g_3$	favorevoli	$\gamma_{G1}$ e $\gamma_{G3}$	0,90	1,00	1,00
	sfavorevoli		1,10	1,35	1,00
Azioni permanenti non strutturali <sup>(2)</sup> $g_2$	favorevoli	$\gamma_{G2}$	0,00	0,00	0,00
	sfavorevoli		1,50	1,50	1,30
Azioni variabili da traffico	favorevoli	$\gamma_Q$	0,00	0,00	0,00
	sfavorevoli		1,35	1,35	1,15
Azioni variabili	favorevoli	$\gamma_{Qi}$	0,00	0,00	0,00
	sfavorevoli		1,50	1,50	1,30
Distorsioni e presollecitazioni di progetto	favorevoli	$\gamma_{\epsilon 1}$	0,90	1,00	1,00
	sfavorevoli		1,00 <sup>(3)</sup>	1,00 <sup>(4)</sup>	1,00
Ritiro e viscosità, Cedimenti vincolari	favorevoli	$\gamma_{\epsilon 2}, \gamma_{\epsilon 3}, \gamma_{\epsilon 4}$	0,00	0,00	0,00
	sfavorevoli		1,20	1,20	1,00

Tab. 5.1.VI - Coefficienti  $\psi$  per le azioni variabili per ponti stradali e pedonali

Azioni	Gruppo di azioni (Tab. 5.1.IV)	Coefficiente $\psi_0$ di combi- nazione	Coefficiente $\psi_1$ (valori frequentissimi)	Coefficiente $\psi_2$ (valori quasi permanenti)
Azioni da traffico (Tab. 5.1.IV)	Schema 1 (carichi tandem)	0,75	0,75	0,0
	Schemi 1, 5 e 6 (carichi distribuiti)	0,40	0,40	0,0
	Schemi 3 e 4 (carichi concentrati)	0,40	0,40	0,0
	Schema 2	0,0	0,75	0,0
	2	0,0	0,0	0,0
	3	0,0	0,0	0,0
	4 (folla)	--	0,75	0,0
	5	0,0	0,0	0,0
Vento	a ponte scarico SLU e SLE	0,6	0,2	0,0
	in esecuzione	0,8	0,0	0,0
	a ponte carico SLU e SLE	0,6	0,0	0,0
Neve	SLU e SLE	0,0	0,0	0,0
	in esecuzione	0,8	0,6	0,5
Temperatura	SLU e SLE	0,6	0,6	0,5

Nella combinazione sismica le azioni indotte dal traffico stradale sono combinate con un coefficiente  $\psi_2 = 0.2$  (punto 3.2.4 del DM 17/01/2018) coerentemente con l'aliquota di massa afferente ai carichi da traffico.

Le condizioni elementari e le combinazioni di carico sono elencate per esteso nelle tabelle seguenti.

COMB			G1	Saq	Sterre SX	Sterre DX	G2	Qacc_1	Qacc_2	Qacc_3	Acc/Fren	DT	GT	Rit	ST-Ex	Ex	Ez								
SLU 1	Active	Add	1.35	1.35	1	1	1.5	1.35	0	0	0	0.9	-0.9	0	0	0	0		AZIONE PRINCIPALE = TRAFFICO	EFFETTI TERMICI + RITIRO MASSIMIZZANO MOMENTO	SPINTA TERRE	EQUILIBRATA	NO FREN		
SLU 2	Active	Add	1.35	1.35	1	1	1.5	0	1.35	0	0	0.9	-0.9	0	0	0	0				NEGATIVO	SPINTA TERRE	EQUILIBRATA	NO FREN	
SLU 3	Active	Add	1.35	1.35	1	1	1.5	0	0	1.35	0	0.9	-0.9	0	0	0	0				NEGATIVO	SPINTA TERRE	EQUILIBRATA	NO FREN	
SLU 4	Active	Add	1.35	1.35	1	1	1.5	1.0125	0	0	1.35	0.9	-0.9	0	0	0	0								
SLU 5	Active	Add	1.35	1.35	1	1	1.5	0	1.0125	0	1.35	0.9	-0.9	0	0	0	0								
SLU 6	Active	Add	1.35	1.35	1	1	1.5	0	0	1.0125	1.35	0.9	-0.9	0	0	0	0								
SLU 7	Active	Add	1.35	1.35	1.5	1	1.5	1.35	0	0	0	0.9	-0.9	0	0	0	0								
SLU 8	Active	Add	1.35	1.35	1.5	1	1.5	0	1.35	0	0	0.9	-0.9	0	0	0	0								
SLU 9	Active	Add	1.35	1.35	1.5	1	1.5	0	0	1.35	0	0.9	-0.9	0	0	0	0								
SLU 10	Active	Add	1.35	1.35	1.5	1	1.5	1.0125	0	0	1.35	0.9	-0.9	0	0	0	0								
SLU 11	Active	Add	1.35	1.35	1.5	1	1.5	0	1.0125	0	1.35	0.9	-0.9	0	0	0	0								
SLU 12	Active	Add	1.35	1.35	1.5	1	1.5	0	0	1.0125	1.35	0.9	-0.9	0	0	0	0								
SLU 13	Active	Add	1.35	1.35	1.5	1.5	1.5	1.35	0	0	0	0.9	-0.9	0	0	0	0								
SLU 14	Active	Add	1.35	1.35	1.5	1.5	1.5	0	1.35	0	0	0.9	-0.9	0	0	0	0								
SLU 15	Active	Add	1.35	1.35	1.5	1.5	1.5	0	0	1.35	0	0.9	-0.9	0	0	0	0								
SLU 16	Active	Add	1.35	1.35	1.5	1.5	1.5	1.0125	0	0	1.35	0.9	-0.9	0	0	0	0								
SLU 17	Active	Add	1.35	1.35	1.5	1.5	1.5	0	1.0125	0	1.35	0.9	-0.9	0	0	0	0								
SLU 18	Active	Add	1.35	1.35	1.5	1.5	1.5	0	0	1.0125	1.35	0.9	-0.9	0	0	0	0								
SLU 19	Active	Add	1.35	1.35	1	1	1.5	1.35	0	0	0	-0.9	0.9	1.2	0	0	0								
SLU 20	Active	Add	1.35	1.35	1	1	1.5	0	1.35	0	0	-0.9	0.9	1.2	0	0	0								
SLU 21	Active	Add	1.35	1.35	1	1	1.5	0	0	1.35	0	-0.9	0.9	1.2	0	0	0								
SLU 22	Active	Add	1.35	1.35	1	1	1.5	1.0125	0	0	1.35	-0.9	0.9	1.2	0	0	0								
SLU 23	Active	Add	1.35	1.35	1	1	1.5	0	1.0125	0	1.35	-0.9	0.9	1.2	0	0	0								
SLU 24	Active	Add	1.35	1.35	1	1	1.5	0	0	1.0125	1.35	-0.9	0.9	1.2	0	0	0								
SLU 25	Active	Add	1.35	1.35	1.5	1	1.5	1.35	0	0	0	-0.9	0.9	1.2	0	0	0								
SLU 26	Active	Add	1.35	1.35	1.5	1	1.5	0	1.35	0	0	-0.9	0.9	1.2	0	0	0								
SLU 27	Active	Add	1.35	1.35	1.5	1	1.5	0	0	1.35	0	-0.9	0.9	1.2	0	0	0								
SLU 28	Active	Add	1.35	1.35	1.5	1	1.5	1.0125	0	0	1.35	-0.9	0.9	1.2	0	0	0								
SLU 29	Active	Add	1.35	1.35	1.5	1	1.5	0	1.0125	0	1.35	-0.9	0.9	1.2	0	0	0								
SLU 30	Active	Add	1.35	1.35	1.5	1	1.5	0	0	1.0125	1.35	-0.9	0.9	1.2	0	0	0								
SLU 31	Active	Add	1.35	1.35	1.5	1.5	1.5	1.35	0	0	0	-0.9	0.9	1.2	0	0	0								
SLU 32	Active	Add	1.35	1.35	1.5	1.5	1.5	0	1.35	0	0	-0.9	0.9	1.2	0	0	0								
SLU 33	Active	Add	1.35	1.35	1.5	1.5	1.5	0	0	1.35	0	-0.9	0.9	1.2	0	0	0								
SLU 34	Active	Add	1.35	1.35	1.5	1.5	1.5	1.0125	0	0	1.35	-0.9	0.9	1.2	0	0	0								
SLU 35	Active	Add	1.35	1.35	1.5	1.5	1.5	0	1.0125	0	1.35	-0.9	0.9	1.2	0	0	0								
SLU 36	Active	Add	1.35	1.35	1.5	1.5	1.5	0	0	1.0125	1.35	-0.9	0.9	1.2	0	0	0								
SLU 37	Active	Add	1.35	1.35	1	1	1.5	1.0125	0	0	0	1.5	-1.5	0	0	0	0								
SLU 38	Active	Add	1.35	1.35	1	1	1.5	0	1.0125	0	0	1.5	-1.5	0	0	0	0								
SLU 39	Active	Add	1.35	1.35	1	1	1.5	0	0	1.0125	0	1.5	-1.5	0	0	0	0								
SLU 40	Active	Add	1.35	1.35	1	1	1.5	0.759375	0	0	1.0125	1.5	-1.5	0	0	0	0								
SLU 41	Active	Add	1.35	1.35	1	1	1.5	0	0.759375	0	1.0125	1.5	-1.5	0	0	0	0								
SLU 42	Active	Add	1.35	1.35	1	1	1.5	0	0	0.759375	1.0125	1.5	-1.5	0	0	0	0								
SLU 43	Active	Add	1.35	1.35	1.5	1	1.5	1.0125	0	0	0	1.5	-1.5	0	0	0	0								
SLU 44	Active	Add	1.35	1.35	1.5	1	1.5	0	1.0125	0	0	1.5	-1.5	0	0	0	0								
SLU 45	Active	Add	1.35	1.35	1.5	1	1.5	0	0	1.0125	0	1.5	-1.5	0	0	0	0								
SLU 46	Active	Add	1.35	1.35	1.5	1	1.5	0.759375	0	0	1.0125	1.5	-1.5	0	0	0	0								
SLU 47	Active	Add	1.35	1.35	1.5	1	1.5	0	0.759375	0	1.0125	1.5	-1.5	0	0	0	0								
SLU 48	Active	Add	1.35	1.35	1.5	1	1.5	0	0	0.759375	1.0125	1.5	-1.5	0	0	0	0								
SLU 49	Active	Add	1.35	1.35	1.5	1.5	1.5	1.0125	0	0	0	1.5	-1.5	0	0	0	0								
SLU 50	Active	Add	1.35	1.35	1.5	1.5	1.5	0	1.0125	0	0	1.5	-1.5	0	0	0	0								
SLU 51	Active	Add	1.35	1.35	1.5	1.5	1.5	0	0	1.0125	0	1.5	-1.5	0	0	0	0								
SLU 52	Active	Add	1.35	1.35	1.5	1.5	1.5	0.759375	0	0	1.0125	1.5	-1.5	0	0	0	0								
SLU 53	Active	Add	1.35	1.35	1.5	1.5	1.5	0	0.759375	0	1.0125	1.5	-1.5	0	0	0	0								
SLU 54	Active	Add	1.35	1.35	1.5	1.5	1.5	0	0	0.759375	1.0125	1.5	-1.5	0	0	0	0								
SLU 55	Active	Add	1.35	1.35	1	1	1.5	1.0125	0	0	0	-1.5	1.5	1.2	0	0	0								
SLU 56	Active	Add	1.35	1.35	1	1	1.5	0	1.0125	0	0	-1.5	1.5	1.2	0	0	0								
SLU 57	Active	Add	1.35	1.35	1	1	1.5	0	0	1.0125	0	-1.5	1.5	1.2	0	0	0								
SLU 58	Active	Add	1.35	1.35	1	1	1.5	0.759375	0	0	1.0125	-1.5	1.5	1.2	0	0	0								
SLU 59	Active	Add	1.35	1.35	1	1	1.5	0	0.759375	0	1.0125	-1.5	1.5	1.2	0	0	0								
SLU 60	Active	Add	1.35	1.35	1	1	1.5	0	0	0.759375	1.0125	-1.5	1.5	1.2	0	0	0								
SLU 61	Active	Add	1.35	1.35	1.5	1	1.5	1.0125	0	0	0	-1.5	1.5	1.2	0	0	0								
SLU 62	Active	Add	1.35	1.35	1.5	1	1.5	0	1.0125	0	0	-1.5	1.5	1.2	0	0	0								
SLU 63	Active	Add	1.35	1.35	1.5	1	1.5	0	0	1.0125	0	-1.5	1.5	1.2	0	0	0								
SLU 64	Active	Add	1.35	1.35	1.5	1	1.5	0.759375	0	0	1.0125	-1.5	1.5	1.2	0	0	0								
SLU 65	Active	Add	1.35	1.35	1.5	1	1.5	0	0.759375	0	1.0125	-1.5	1.5	1.2	0	0	0								
SLU 66	Active	Add	1.35	1.35	1.5	1	1.5	0	0	0.759375	1.0125	-1.5	1.5	1.2	0	0	0								
SLU 67	Active	Add	1.35	1.35	1.5	1.5	1.5	1.0125	0	0	0	-1.5	1.5	1.2	0	0	0								
SLU 68	Active	Add	1.35	1.35	1.5	1.5	1.5	0	1.0125	0	0	-1.5	1.5	1.2	0	0	0								
SLU 69	Active	Add	1.35	1.35	1.5	1.5	1.5	0	0	1.0125	0	-1.5	1.5	1.2	0	0	0								
SLU 70	Active	Add	1.35	1.35	1.5	1.5	1.5	0.759375	0	0	1.0125	-1.5	1.5	1.2	0	0	0								
SLU 71	Active	Add	1.35	1.35	1.5	1.5	1.5	0	0.759375	0	0	1.0125	2.5	-2.5	1.2	0	0	0							
SLU 72	Active	Add	1.35	1.35	1.5	1.5	1.5	0	0	0.759375	1.0125	2.5	-2.5	1.2	0	0	0								

RADDOPPIO DELLA LINEA GENOVA – VENTIMIGLIA  
TRATTA FINALE LIGURE – ANDORA  
PROGETTO DEFINITIVO

IN25 – Sistemazione idraulica Rio Castellaro  
Relazione di calcolo scatolare stradale

COMMESSA LOTTO CODIFICA DOCUMENTO REV. FOGLIO  
L371 00 D 26 CL IN 2500 002 A 38 di 84

COMB			G1	Saq	Sterre SX	Sterre DX	G2	Qacc_1	Qacc_2	Qacc_3	Acc/Fren	DT	GT	Rit	ST-Ex	Ex	Ez				
SLV 1	Active	Add	1	1	1	0	1	0.2	0	0	0	0.5	-0.5	0	1	1	0.3	COMBINAZIONI SISMICHE - SISMA Z+	TERMICHE + RITIRO MASSIMIZZANO M+	NO FREN	NO FREN
SLV 2	Active	Add	1	1	1	0	1	0	0.2	0	0	0.5	-0.5	0	1	1	0.3				
SLV 3	Active	Add	1	1	1	0	1	0	0	0.2	0	0.5	-0.5	0	1	1	0.3				
SLV 4	Active	Add	1	1	1	0	1	0.2	0	0	0	0.5	-0.5	0	0.3	0.3	1				
SLV 5	Active	Add	1	1	1	0	1	0	0.2	0	0	0.5	-0.5	0	0.3	0.3	1				
SLV 6	Active	Add	1	1	1	0	1	0	0	0.2	0	0.5	-0.5	0	0.3	0.3	1				
SLV 7	Active	Add	1	1	1	0	1	0.2	0	0	0	0.5	-0.5	1	1	1	0.3				
SLV 8	Active	Add	1	1	1	0	1	0	0.2	0	0	0.5	-0.5	1	1	1	0.3				
SLV 9	Active	Add	1	1	1	0	1	0	0	0.2	0	0.5	-0.5	1	1	1	0.3				
SLV 10	Active	Add	1	1	1	0	1	0.2	0	0	0	0.5	-0.5	1	0.3	0.3	1				
SLV 11	Active	Add	1	1	1	0	1	0	0.2	0	0	0.5	-0.5	1	0.3	0.3	1				
SLV 12	Active	Add	1	1	1	0	1	0	0	0.2	0	0.5	-0.5	1	0.3	0.3	1				
SLV 13	Active	Add	1	1	1	0	1	0.2	0	0	0	0.5	-0.5	0	1	1	-0.3				
SLV 14	Active	Add	1	1	1	0	1	0	0.2	0	0	0.5	-0.5	0	1	1	-0.3				
SLV 15	Active	Add	1	1	1	0	1	0	0	0.2	0	0.5	-0.5	0	1	1	-0.3				
SLV 16	Active	Add	1	1	1	0	1	0.2	0	0	0	0.5	-0.5	0	0.3	0.3	-1				
SLV 17	Active	Add	1	1	1	0	1	0	0.2	0	0	0.5	-0.5	0	0.3	0.3	-1				
SLV 18	Active	Add	1	1	1	0	1	0	0	0.2	0	0.5	-0.5	0	0.3	0.3	-1				
SLV 19	Active	Add	1	1	1	0	1	0.2	0	0	0	0.5	-0.5	1	1	1	-0.3				
SLV 20	Active	Add	1	1	1	0	1	0	0.2	0	0	0.5	-0.5	1	1	1	-0.3				
SLV 21	Active	Add	1	1	1	0	1	0	0	0.2	0	0.5	-0.5	1	1	1	-0.3				
SLV 22	Active	Add	1	1	1	0	1	0.2	0	0	0	0.5	-0.5	1	0.3	0.3	-1				
SLV 23	Active	Add	1	1	1	0	1	0	0.2	0	0	0.5	-0.5	1	0.3	0.3	-1				
SLV 24	Active	Add	1	1	1	0	1	0	0	0.2	0	0.5	-0.5	1	0.3	0.3	-1				
SLE R1	Active	Add	1	1	1	1	1	1	0	0	0	0.6	-0.6	0	0	0	0	AZIONI PRINCIPALI	TERMICHE + RITIRO MASSIMIZZANO M+	NO FREN	NO FREN
SLE R2	Active	Add	1	1	1	1	1	0	1	0	0	0.6	-0.6	0	0	0	0				
SLE R3	Active	Add	1	1	1	1	1	0	0	1	0	0.6	-0.6	0	0	0	0				
SLE R4	Active	Add	1	1	1	1	1	0.75	0	0	1	0.6	-0.6	0	0	0	0				
SLE R5	Active	Add	1	1	1	1	1	0	0.75	0	1	0.6	-0.6	0	0	0	0				
SLE R6	Active	Add	1	1	1	1	1	0	0	0.75	1	0.6	-0.6	0	0	0	0				
SLE R7	Active	Add	1	1	1	1	1	1	0	0	0	-0.6	0.6	1	0	0	0				
SLE R8	Active	Add	1	1	1	1	1	0	1	0	0	-0.6	0.6	1	0	0	0				
SLE R9	Active	Add	1	1	1	1	1	0	0	1	0	-0.6	0.6	1	0	0	0				
SLE R10	Active	Add	1	1	1	1	1	0.75	0	0	1	-0.6	0.6	1	0	0	0				
SLE R11	Active	Add	1	1	1	1	1	0	0.75	0	1	-0.6	0.6	1	0	0	0				
SLE R12	Active	Add	1	1	1	1	1	0	0	0.75	1	-0.6	0.6	1	0	0	0				
SLE R13	Active	Add	1	1	1	1	1	0.75	0	0	0	1	-1	0	0	0	0				
SLE R14	Active	Add	1	1	1	1	1	0	0.75	0	0	1	-1	0	0	0	0				
SLE R15	Active	Add	1	1	1	1	1	0	0	0.75	0	1	-1	0	0	0	0				
SLE R19	Active	Add	1	1	1	1	1	0.75	0	0	0	1	-1	1	0	0	0				
SLE R20	Active	Add	1	1	1	1	1	0	0.75	0	0	1	-1	1	0	0	0				
SLE R21	Active	Add	1	1	1	1	1	0	0	0.75	0	1	-1	1	0	0	0				
SLE QP 1	Active	Add	1	1	1	1	1	0	0	0	0	0.5	-0.5	0	0	0	0	AZIONI PRINCIPALI	TERMICHE + RITIRO MASSIMIZZANO M+	NO FREN	NO FREN
SLE QP 2	Active	Add	1	1	1	1	1	0	0	0	0	-0.5	0.5	1	0	0	0				

## 10 CRITERI GENERALI PER LE VERIFICHE STRUTTURALI

I criteri generali di verifica utilizzati per la valutazione delle capacità resistenti delle sezioni, per la condizione SLU, e per le massime tensioni nei materiali nonché per il controllo della fessurazione, relativamente agli SLE, sono quelli definiti al p.to 4.1.2 del DM 17.01.18.

Le sezioni verificate sono le seguenti:

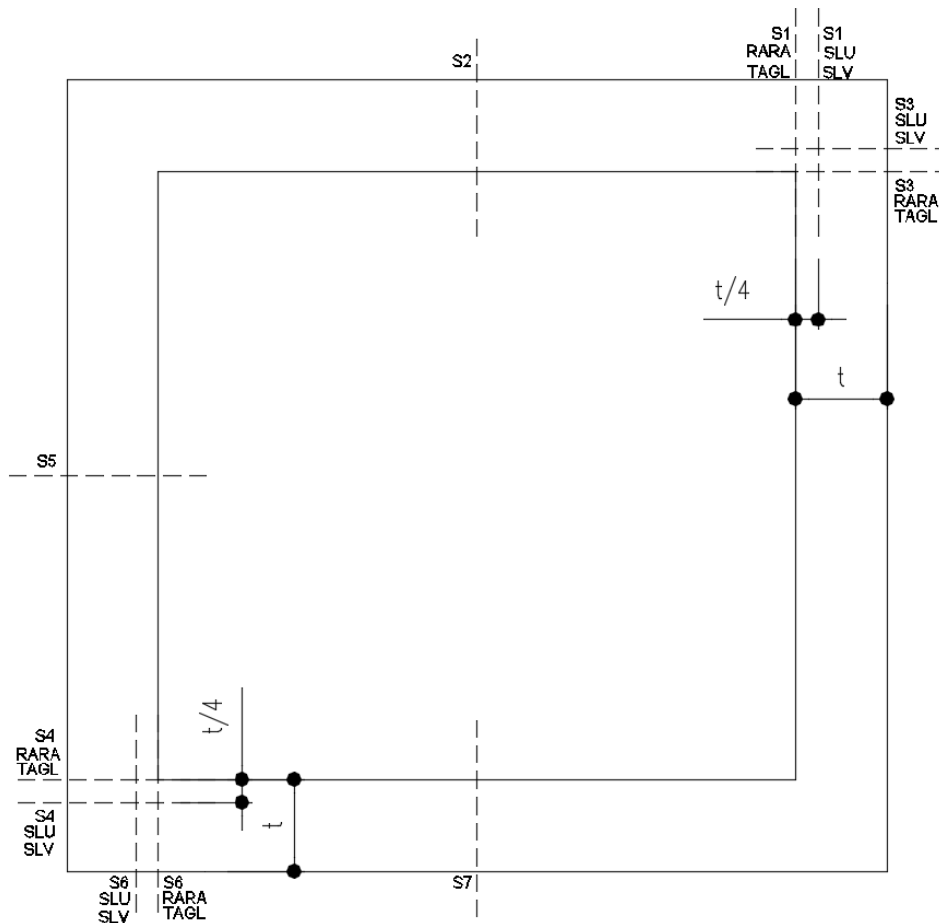
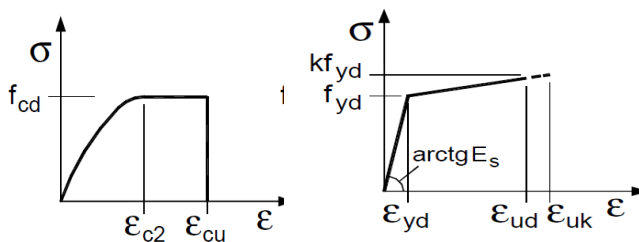


Figura 17: Sezioni di verifica

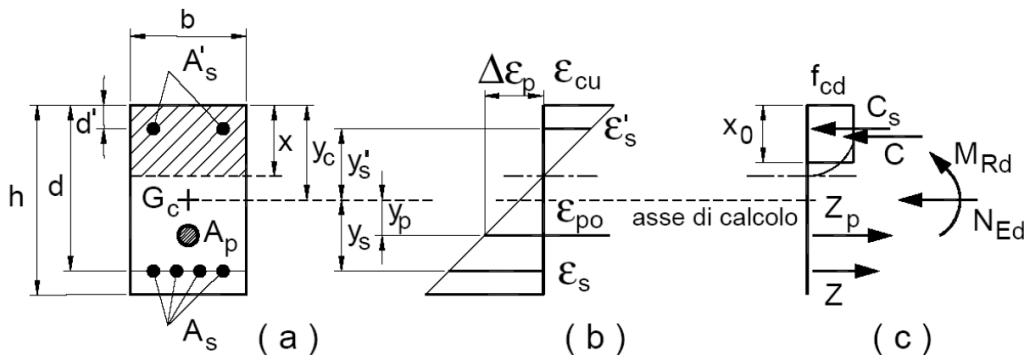
## 10.1 VERIFICHE ALLO SLU

### 10.1.1 Pressoflessione

La determinazione della capacità resistente a flessione/pressoflessione della generica sezione viene effettuata con i criteri di cui al punto 4.1.2.1.2.4 delle NTC18, secondo quanto riportato schematicamente nelle figure seguito, tenendo conto dei valori delle resistenze e deformazioni di calcolo riportate al paragrafo dedicato alle caratteristiche dei materiali:



Legami costitutivi Calcestruzzo ed Acciaio -



Schema di riferimento per la valutazione della capacità resistente a pressoflessione generica sezione -

La verifica consisterà nel controllare il soddisfacimento della seguente condizione:

$$M_{Rd} = M_{Rd}(N_{Ed}) \geq M_{Ed}$$

dove

$M_{Rd}$  è il valore di calcolo del momento resistente corrispondente a  $N_{Ed}$ ;

$N_{Ed}$  è il valore di calcolo della componente assiale (sforzo normale) dell'azione;

$M_{Ed}$  è il valore di calcolo della componente flettente dell'azione.



### 10.1.2 Taglio

Per la verifica di resistenza allo SLU con riferimento alle sollecitazioni taglianti deve risultare:

$$V_{Rd} \geq V_{Ed}$$

Il taglio  $V_{Ed}$  è pari ai massimi valori del taglio sollecitante derivante dall'analisi per i vari elementi strutturali. Per tutti gli elementi strutturali il massimo taglio si riscontra in corrispondenza della sezione di attacco tra l'elemento stesso e quello ad esso ortogonale.

[NTC – 4.1.2.1.3.1] La resistenza a taglio in assenza di armatura specifica risulta pari a:

$$V_{Rd} = \left\{ 0.18 \cdot k \cdot \frac{(100 \cdot \rho_l \cdot f_{ck})^{1/3}}{\gamma_c} + 0.15 \sigma_{cp} \right\} \cdot b_w \cdot d \geq (v_{min} + 0.15 \sigma_{cp}) \cdot b_w \cdot d$$

dove:

- $v_{min} = 0.035 \cdot k^{3/2} \cdot f_{ck}^{1/2}$ ;
- $k = 1 + (200/d)^{1/2} \leq 2$ ;
- $\rho_l = A_{sl}/(b_w \cdot d) \leq 0.02$ ;
- $\sigma_{cp} = N_{Ed}/A_c \leq 0.02 f_{cd}$ ;
- $d$  è l'altezza utile della sezione (in mm);
- $b_w$  è la larghezza minima della sezione (in mm).

[NTC – 4.1.2.1.3.2] In presenza di armatura resistente a taglio, il taglio resistente  $V_{Rd}$  è il minimo tra la resistenza a taglio trazione  $V_{Rsd}$  e la resistenza a taglio compressione  $V_{Rcd}$ .

$$V_{Rsd} = 0.9 \cdot d \cdot \frac{A_{sw}}{s} \cdot f_{yd} (\text{ctg } \alpha + \text{ctg } \theta) \sin \alpha$$

$$V_{Rcd} = 0.9 \cdot d \cdot b_w \cdot f'_{cd} (\text{ctg } \alpha + \text{ctg } \theta) / (1 + \text{ctg}^2 \theta)$$

in cui:

- $d$  è l'altezza utile della sezione (in mm);
- $b_w$  è la larghezza minima della sezione (in mm).
- $A_{sw}$  è l'area dell'armatura trasversale;
- $s$  è l'interasse tra due armature trasversali consecutive;
- $f'_{cd}$  è la resistenza a compressione ridotta del calcestruzzo d'anima, pari a  $0.5 f_{cd}$ ;
- $\alpha$  è l'inclinazione dell'armatura resistente a taglio rispetto all'asse dell'elemento;

- $\theta$  è l'inclinazione della biella di calcestruzzo compressa.

## 10.2 VERIFICHE AGLI SLE

La verifica nei confronti degli Stati limite di esercizio, consiste nel controllare, con riferimento alle sollecitazioni di calcolo corrispondenti alle Combinazioni di Esercizio, il livello tensionale nei materiali e l'ampiezza delle fessure attese, secondo quanto di seguito specificato.

### 10.2.1 Verifiche alle tensioni

La verifica delle tensioni in esercizio consiste nel controllare il rispetto dei limiti tensionali previsti per il calcestruzzo e per l'acciaio per ciascuna delle combinazioni di carico caratteristiche "Rara" e "Quasi Permanente"; i valori tensionali nei materiali sono valutati secondo le note teorie di analisi delle sezioni in c.a. in campo elastico e con calcestruzzo "non reagente" adottando come limiti di riferimento, trattandosi nel caso in specie di opere Ferroviarie, quelli indicati nel MdP RFI.

#### Strutture in c.a.

##### Tensioni di compressione del calcestruzzo

Devono essere rispettati i seguenti limiti per le tensioni di compressione nel calcestruzzo:

- per combinazione di carico caratteristica (rara):  $0,55 f_{ck}$ ;
- per combinazioni di carico quasi permanente:  $0,40 f_{ck}$ ;
- per spessori minori di 5 cm, le tensioni normali limite di esercizio sono ridotte del 30%.

##### Tensioni di trazione nell'acciaio

Per le armature ordinarie, la massima tensione di trazione sotto la combinazione di carico caratteristica (rara) non deve superare  $0,75 f_{yk}$ .

### 10.2.2 Verifiche a fessurazione

La verifica a fessurazione consiste nel controllo dell'ampiezza massima delle fessure per le combinazioni di carico di esercizio i cui valori limite sono stabiliti, nell'ambito del progetto di opere ferroviarie, nel MdPRFI.

In particolare l'apertura convenzionale delle fessure  $\delta_f$  dovrà rispettare i seguenti limiti:

- $\delta_f \leq w_1 = 0.2 \text{ mm}$  per tutte le strutture in condizioni ambientali aggressive o molto aggressive (così come identificate dal DM 17.1.), per tutte le strutture a permanente contatto con il terreno e per le zone non ispezionabili di tutte le strutture;
- $\delta_f \leq w_2 = 0.3 \text{ mm}$  per strutture in condizioni ambientali ordinarie.

**Tabella 4.1.III** – *Descrizione delle condizioni ambientali*

CONDIZIONI AMBIENTALI	CLASSE DI ESPOSIZIONE
Ordinarie	X0, XC1, XC2, XC3, XF1
Aggressive	XC4, XD1, XS1, XA1, XA2, XF2, XF3
Molto aggressive	XD2, XD3, XS2, XS3, XA3, XF4

In definitiva, nel caso in esame, con riferimento alle indicazioni della tabella di cui in precedenza, si adotta il limite  $w_1=0.20 \text{ mm}$  sia per le parti in elevazione che per quelle in fondazione, in quanto in entrambi i casi trattasi di strutture a permanente contatto col terreno.

## 11 RISULTATI DELLE ANALISI E VERIFICHE DELLO SCATOLARE

### 11.1 INVILUPPO DELLE SOLLECITAZIONI

Di seguito si riportano i risultati dell'analisi effettuata mediante l'ausilio del programma di calcolo in termini di involuppo delle sollecitazioni.

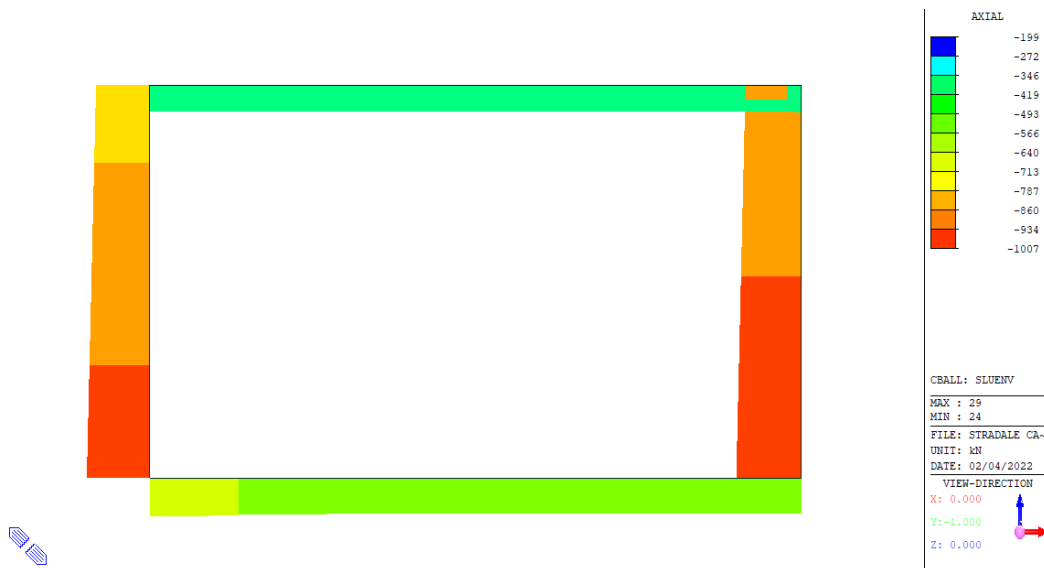


Figura 18 – Inviluppo Sforzo Normale SLU

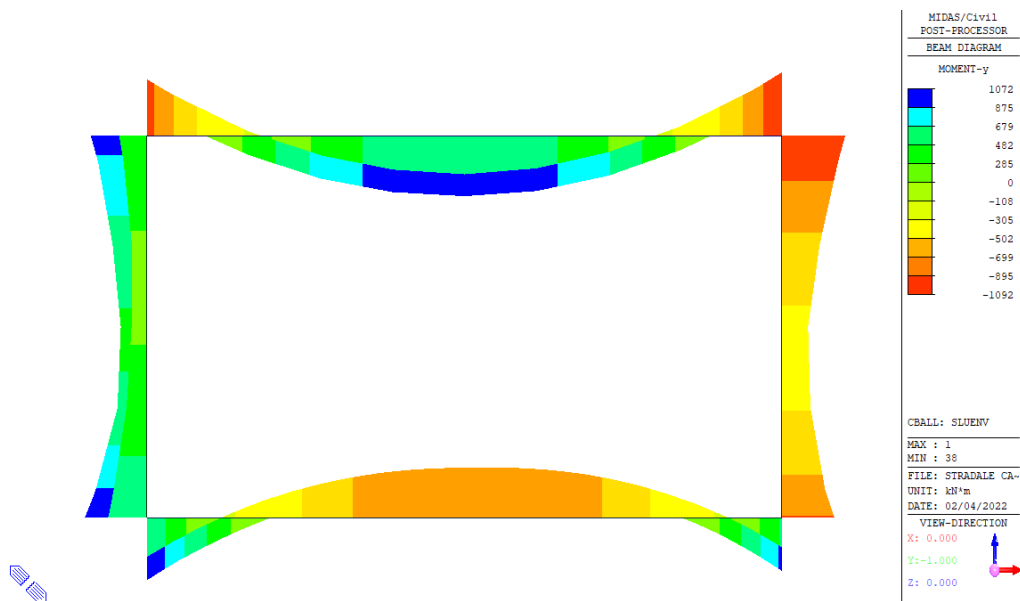


Figura 19 – Inviluppo Momento Flettente SLU

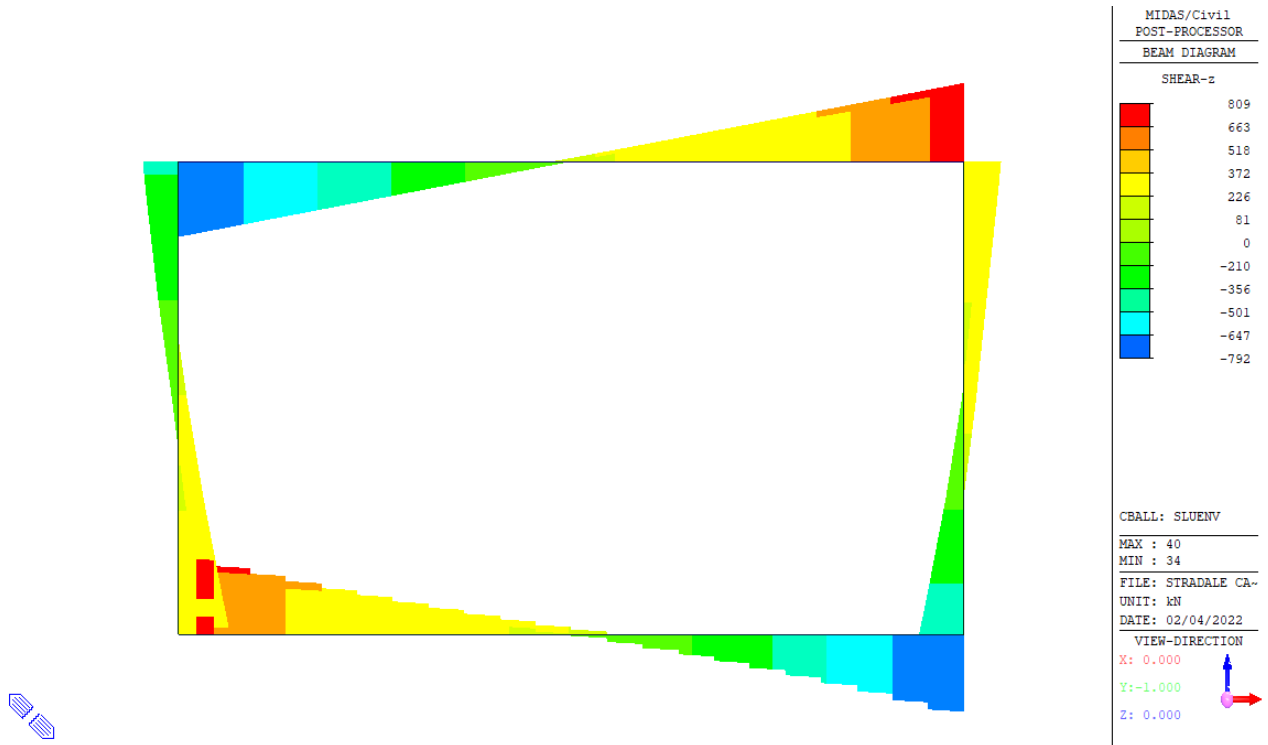


Figura 20 – Involuppo Taglio SLU

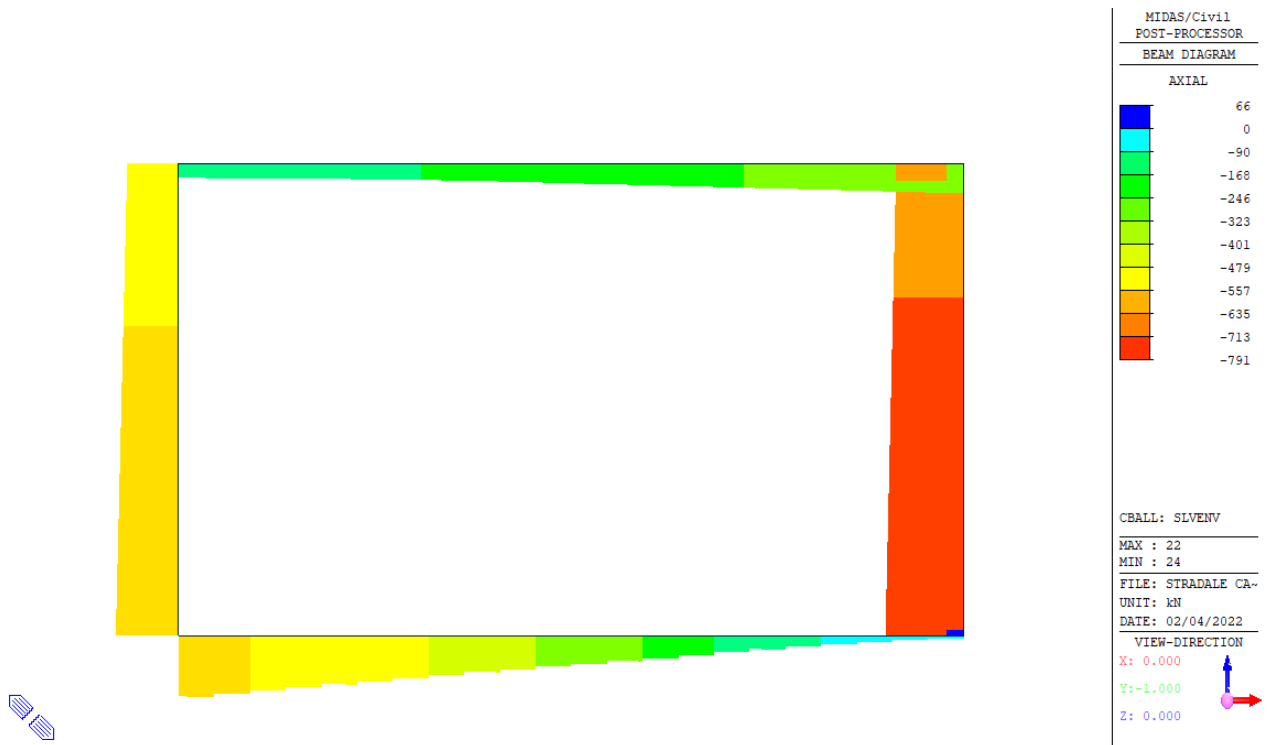


Figura 21 – Involuppo Sforzo Normale SLV

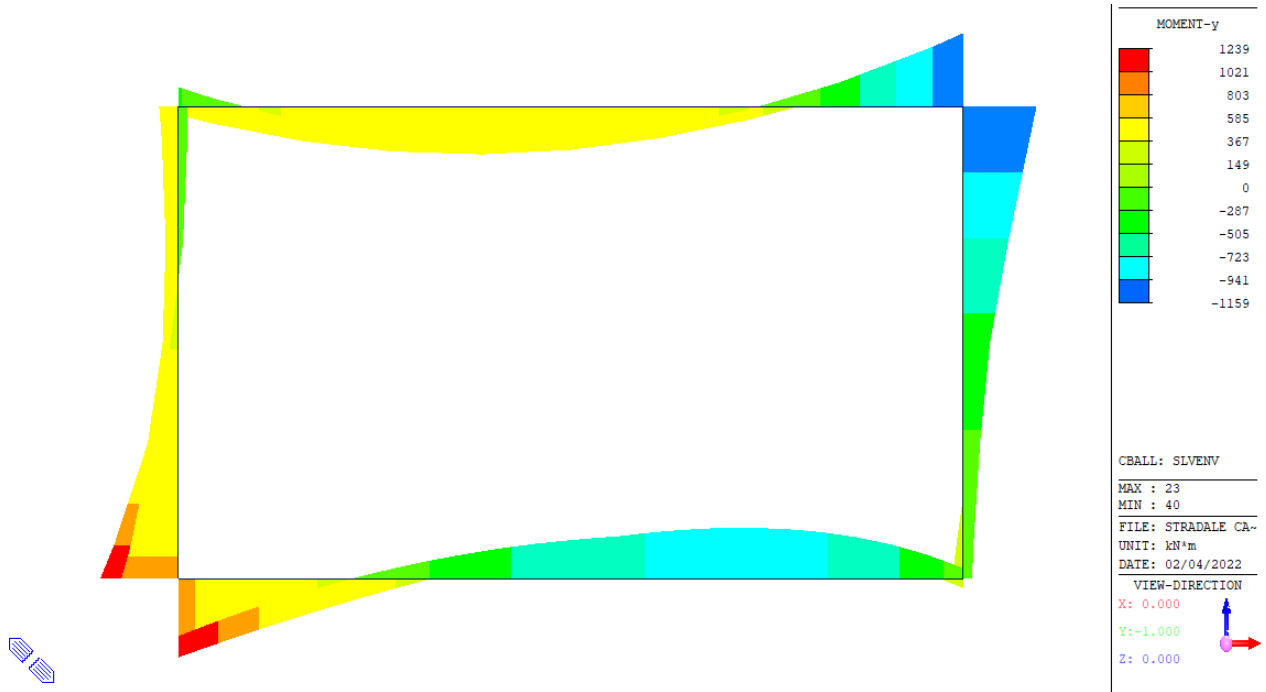


Figura 22 – Involupto Momento Flettente SLV

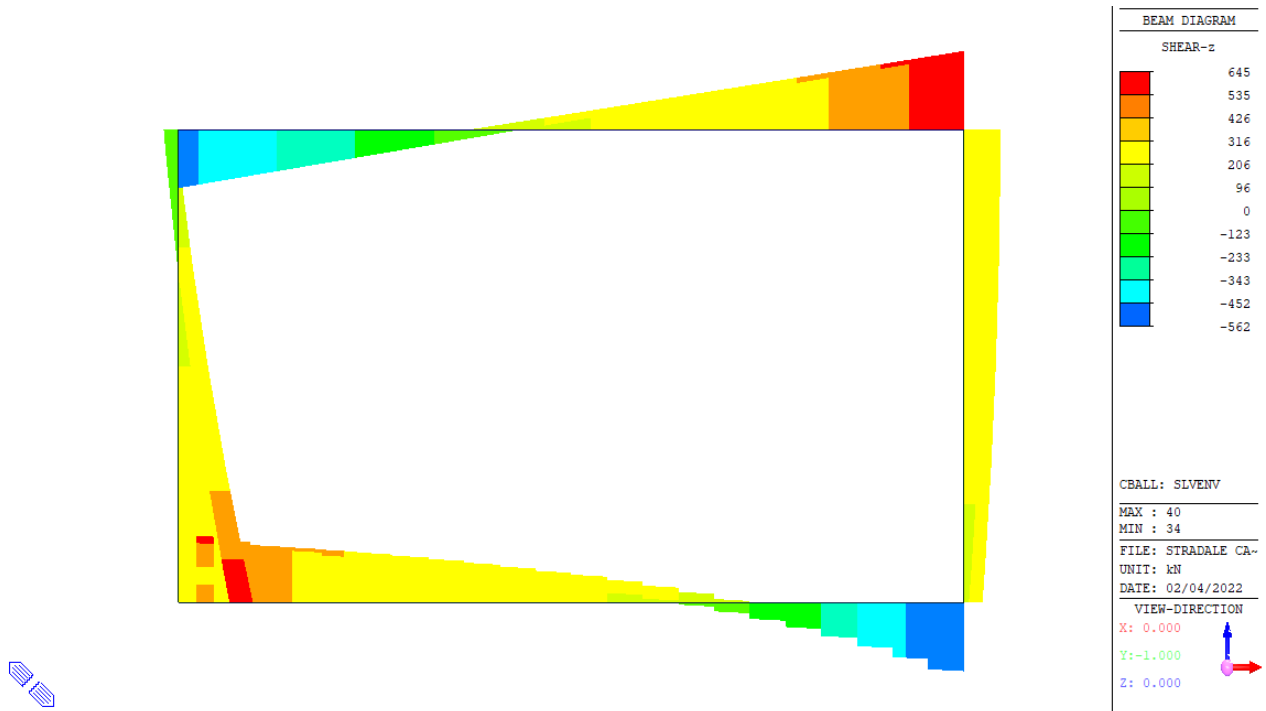


Figura 23 – Involupto Taglio SLV

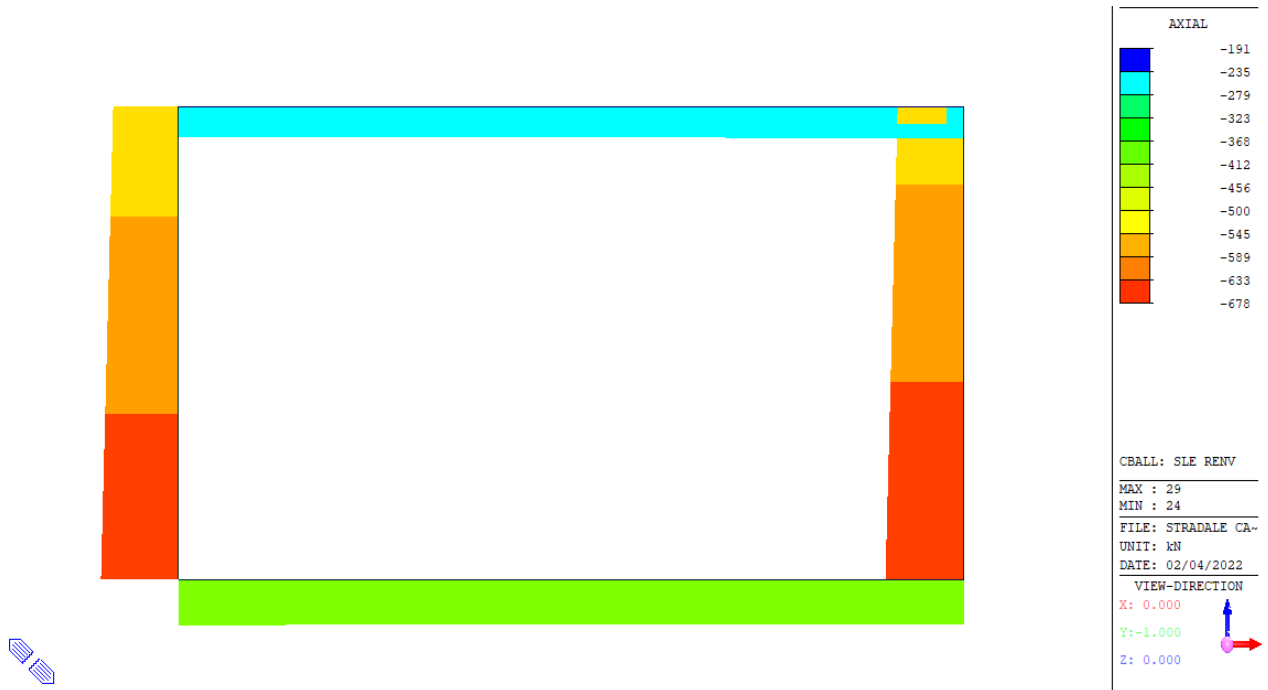


Figura 24 – Involuppo Sforzo Normale SLE-R

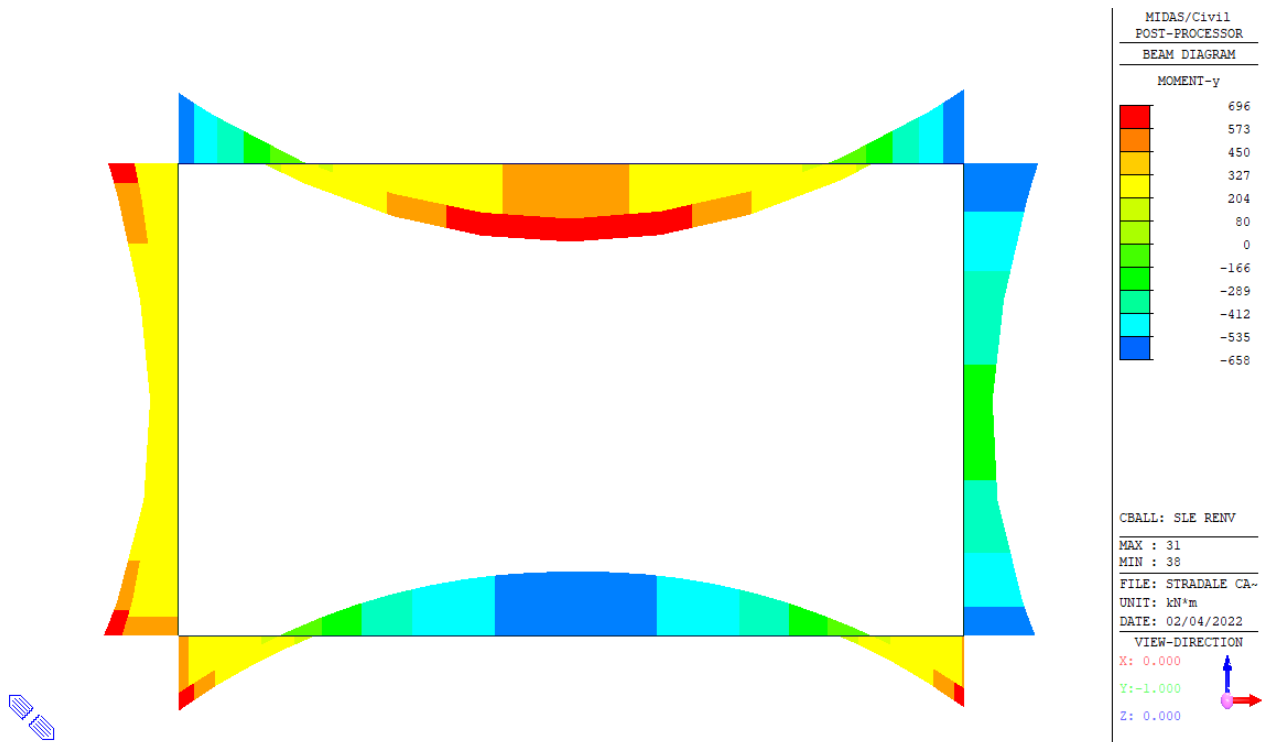


Figura 25 – Involuppo Momento Flettente SLE-R

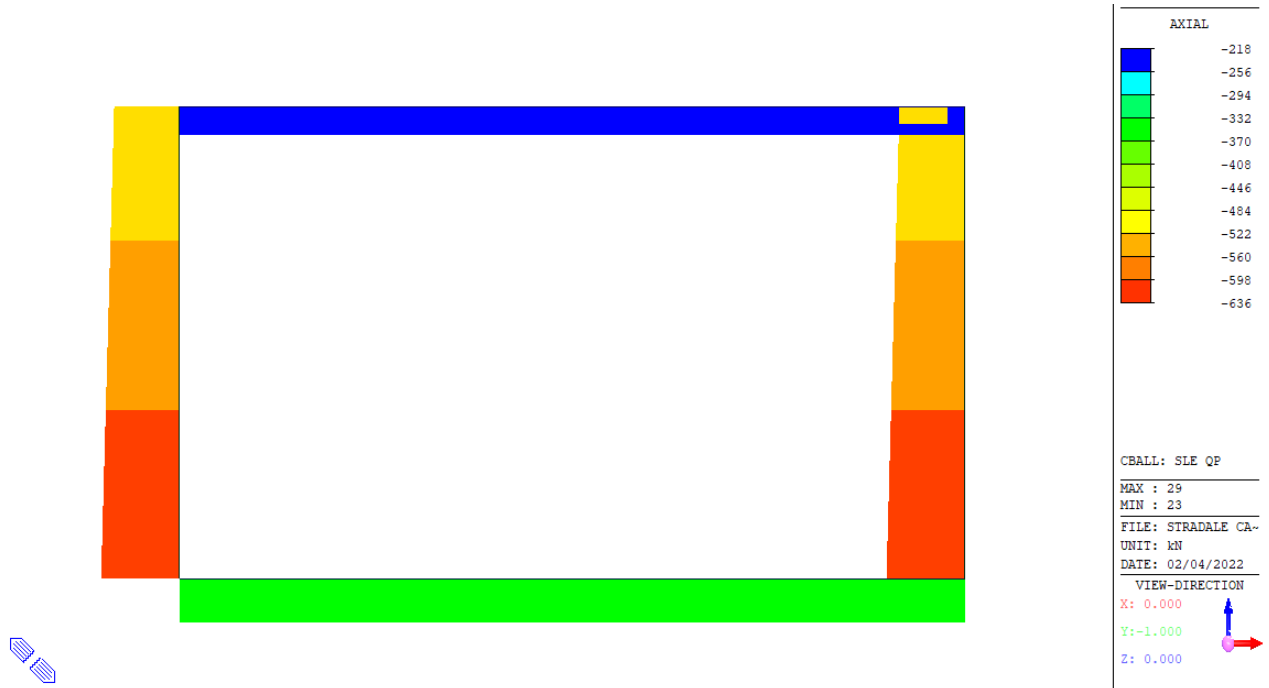


Figura 26 – Involuppo Sforzo Normale SLE-QP

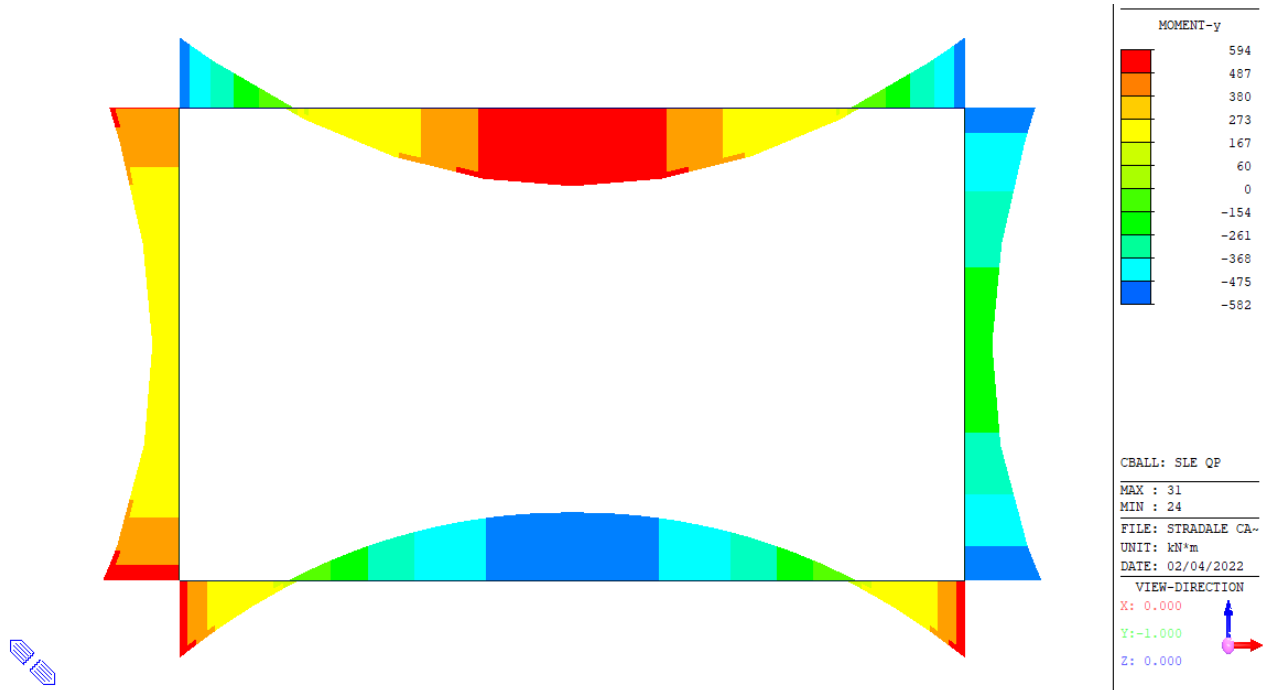


Figura 27 – Involuppo Momento Flettente SLE-QP



## 11.2 Riassunto delle sollecitazioni di progetto

S1	N	M	V	S2	N	M	V
	(kN)	(kNm)	(kN)		(kN)	(kNm)	(kN)
SLU	-199	-820	-706	SLU	-214	1042	35
	-214	-936	738		SLV	-155	686
SLV	-58	-212	-430	SLE R		-201	696
	-202	-1032	598		SLE QP	-218	594
SLE R	-192	-423		S4		N	M
	-201	-454			(kN)	(kNm)	(kN)
SLE QP	-218	-344		SLU	-884	-971	456
					SLV	-919	-821
S3	N	M	V	SLE R		-519	-1120
	(kN)	(kNm)	(kN)		SLE R	-760	-152
SLU	-751	-899	-333	SLE QP		-618	-542
	-787	-1023	347		S6	-628	-517
SLV	-418	-283	-96	SLU		-628	-471
	-653	-1099	300		SLV	-338	916
SLE R	-528	-535		SLE R		-299	752
	-538	-562			SLE QP	-435	1139
SLE QP	-538	-451		S7		65	-275
					(kN)	(kNm)	(kN)
S5	N	M	V	SLU	-337	-862	56
	(kN)	(kNm)	(kN)		SLV	-221	-614
SLU	-817	-450	85	SLE R		-320	-570
	-853	-452	127		SLE QP	-339	-517
SLV	-468	-250	241				
	-706	-422	262				
SLE R	-573	-253					
	-583	-254					
SLE QP	-583	-206					
S7	N	M	V				
	(kN)	(kNm)	(kN)				
SLU	-337	-862	56				
SLV	-221	-614	231				
SLE R	-320	-570					
SLE QP	-339	-517					

### 11.3 ARMATURE DI PROGETTO

Nella tabella seguente si riportano le armature di progetto previste per le sezioni di calcolo in questione:

Elemento	Armatura a flessione	Armatura a taglio
PIEDRITTI	Armatura base 1Ø26/20 ext. + 1Ø24/20 int. Aggiuntiva all'incastro 1Ø26/20 ext.	spilli 3Ø12/20
FONDAZIONE	Armatura base 1Ø26/20 inf. + 1Ø24/20 sup. Aggiuntiva all'incastro 1Ø26/20 inf. Aggiuntiva in mezzeria 1Ø24/20 sup.	spilli 3Ø10/20
COPERTURA	Armatura base 1+1Ø26/20 Aggiuntiva all'incastro 1Ø26/20 sup. Aggiuntiva in mezzeria 1Ø26/20 inf.	spilli 3Ø10/20

L'armatura a taglio indicata in tabella si estende per 2.5m a partire dal filo interno. Nelle zone rimanenti delle solette e nei piedritti, invece, pur non essendo necessaria armatura specifica a taglio ai fini delle verifiche strutturali, si prevede comunque la disposizione di spilli 3Ø12/40cm.

## 11.4 VERIFICHE

### 11.4.1 Verifiche a pressoflessione e taglio

Il software RC-sec esegue le verifiche strutturali allo stato limite ultimo e di esercizio secondo i criteri esposti al §10. Ai fini delle verifiche si è fatto riferimento ad un copriferro netto di 45mm. Si riportano di seguito i tabulati di calcolo per tutte le sezioni indicate al §10, considerando, ove necessario, entrambi i lati dello scatolare.

#### 11.4.1.1 Sezione S1

#### CARATTERISTICHE DI RESISTENZA DEI MATERIALI IMPIEGATI

CALCESTRUZZO -	Classe:	C32/40	
	Resistenza compress. di progetto fcd:	18.80	MPa
	Resistenza compress. ridotta fcd':	9.40	MPa
	Deform. unitaria max resistenza ec2:	0.0020	
	Deformazione unitaria ultima ecu:	0.0035	
	Diagramma tensioni-deformaz.:	Parabola-Rettangolo	
	Modulo Elastico Normale Ec:	33642.8	MPa
	Resis. media a trazione fctm:	3.10	MPa
	Coeff.Omogen. S.L.E.:	15.00	
	Sc limite S.L.E. comb. Rare:	19.9	MPa
	Sc limite S.L.E. comb. Frequenti:	19.9	MPa
	Ap.Fessure limite S.L.E. comb. Frequenti:	0.200	mm
	Sc limite S.L.E. comb. Q.Permanenti:	14.9	MPa
Ap.Fess.limite S.L.E. comb. Q.Perm.:	0.200	mm	
ACCIAIO -	Tipo:	B450C	
	Resist. caratt. a snervamento fyk:	450.0	MPa
	Resist. caratt. a rottura ftk:	450.0	MPa
	Resist. a snerv. di progetto fyd:	391.3	MPa
	Resist. ultima di progetto ftd:	391.3	MPa
	Deform. ultima di progetto Epu:	0.068	
	Modulo Elastico Ef:	200000.0	MPa
	Diagramma tensioni-deformaz.:	Bilineare finito	
	Coeff. Aderenza istant. $\beta_1*\beta_2$ :	1.00	
	Coeff. Aderenza differito $\beta_1*\beta_2$ :	0.50	
Comb.Rare - Sf Limite:	360.0	MPa	

#### CARATTERISTICHE GEOMETRICHE ED ARMATURE SEZIONE

Base:	100.0	cm
Altezza:	80.0	cm
Barre inferiori:	5Ø26	(26.5 cm <sup>2</sup> )
Barre superiori:	10Ø26	(53.1 cm <sup>2</sup> )
Coprif.Inf.(dal baric. barre):	6.7	cm
Coprif.Sup.(dal baric. barre):	6.7	cm
Coprif.Lat. (dal baric.barre):	6.7	cm

#### CALCOLO DI RESISTENZA - SFORZI PER OGNI COMBINAZIONE ASSEGNATA

IN25 – Sistemazione idraulica Rio Castellaro Relazione di calcolo scatolare stradale	COMMESSA L371	LOTTO 00	CODIFICA D 26 CL	DOCUMENTO IN 2500 002	REV. A	FOGLIO 52 di 84
---	------------------	-------------	---------------------	--------------------------	-----------	--------------------

N Sforzo normale [kN] applicato nel baricentro (posit. se di compress.)  
Mx Momento flettente [kNm] intorno all'asse x baric. della sezione  
con verso positivo se tale da comprimere il lembo sup. della sezione  
VY Taglio [kN] in direzione parallela all'asse Y del riferim. generale  
MT Momento torcente [kN m]

N°Comb.	N	Mx	Vy	MT
1	199.00	-820.00	706.00	0.00
2	214.00	-936.00	738.00	0.00
3	58.00	-212.00	430.00	0.00
4	202.00	-1032.00	598.00	0.00

#### COMB. RARE (S.L.E.) - SFORZI PER OGNI COMBINAZIONE ASSEGNATA

N Sforzo normale [kN] applicato nel baricentro (positivo se di compress.)  
Mx Coppia [kNm] applicata all'asse x baricentrico (tra parentesi il Momento di fessurazione)  
con verso positivo se tale da comprimere il lembo superiore della sezione

N°Comb.	N	Mx
1	192.00	-423.00
2	201.00	-454.00

#### COMB. FREQUENTI (S.L.E.) - SFORZI PER OGNI COMBINAZIONE ASSEGNATA

N Sforzo normale [kN] applicato nel baricentro (positivo se di compress.)  
Mx Coppia [kNm] applicata all'asse x baricentrico (tra parentesi il Momento di fessurazione)  
con verso positivo se tale da comprimere il lembo superiore della sezione

N°Comb.	N	Mx
1	192.00	-423.00 (-479.04)
2	201.00	-454.00 (-478.22)

#### COMB. QUASI PERMANENTI (S.L.E.) - SFORZI PER OGNI COMBINAZIONE ASSEGNATA

N Sforzo normale [kN] applicato nel baricentro (positivo se di compress.)  
Mx Coppia [kNm] applicata all'asse x baricentrico (tra parentesi il Momento di fessurazione)  
con verso positivo se tale da comprimere il lembo superiore della sezione

N°Comb.	N	Mx
1	218.00	-344.00 (-492.56)

#### RISULTATI DEL CALCOLO

##### Sezione verificata per tutte le combinazioni assegnate

Copriferro netto minimo barre longitudinali: 5.4 cm  
Interferro netto minimo barre longitudinali: 7.0 cm  
Copriferro netto minimo staffe: 4.2 cm

#### VERIFICHE DI RESISTENZA IN PRESSO-TENSO FLESSIONE ALLO STATO LIMITE SOSTANZIALMENTE ELASTICO

Ver S = combinazione verificata / N = combin. non verificata  
N Sforzo normale baricentrico assegnato [kN] (positivo se di compressione)  
Mx Momento flettente assegnato [kNm] riferito all'asse x baricentrico  
N Ult Sforzo normale alla massima resistenza [kN] nella sezione (positivo se di compress.)  
Mx re Momento resistente sostanzialmente elastico [kNm] riferito all'asse x baricentrico

IN25 – Sistemazione idraulica Rio Castellaro Relazione di calcolo scatolare stradale	COMMESSA L371	LOTTO 00	CODIFICA D 26 CL	DOCUMENTO IN 2500 002	REV. A	FOGLIO 53 di 84
---	------------------	-------------	---------------------	--------------------------	-----------	--------------------

Mis.Sic.	Misura sicurezza = rapporto vettoriale tra (N re, Mx re) e (N, Mx) Verifica positiva se tale rapporto risulta $\geq 1.000$
Yn	Ordinata [cm] dell'asse neutro alla massima resistenza nel sistema di rif. X, Y, O sez.
x/d	Rapp. di duttilità (travi e solette) [§ 4.1.2.1.2.1 NTC]; deve essere $< 0.45$
C.Rid.	Coeff. di riduz. momenti in travi continue [formula (4.1.1)NTC]
As Tesa	Area armature long. trave [cm <sup>2</sup> ] in zona tesa. (tra parentesi l'area minima di normativa)

N°Comb	Ver	N	Mx	N re	Mx re	Mis.Sic.	Yn	x/d	C.Rid.	As Tesa
1	S	199.00	-820.00			1.721	24.5	0.33	0.86	53.1 (13.1)
2	S	214.00	-936.00			1.513	24.6	0.34	0.86	53.1 (13.1)
3	S	58.00	-212.00			6.454	23.8	0.32	0.85	53.1 (13.1)
4	S	202.00	-1032.00			1.370	24.5	0.33	0.86	53.1 (13.1)

### DEFORMAZIONI UNITARIE ALLO STATO LIMITE SOSTANZIALMENTE ELASTICO

ec max	Deform. unit. massima del calcestruzzo a compressione
Yc max	Ordinata in cm della fibra corrisp. a ec max (sistema rif. X, Y, O sez.)
es min	Deform. unit. minima nell'acciaio (negativa se di trazione)
Ys min	Ordinata in cm della barra corrisp. a es min (sistema rif. X, Y, O sez.)
es max	Deform. unit. massima nell'acciaio (positiva se di compressione)
Ys max	Ordinata in cm della barra corrisp. a es max (sistema rif. X, Y, O sez.)

N°Comb	ec max	Yc max	es min	Ys min	es max	Ys max
1	0.00098	0.0	0.00072	6.7	-0.00196	73.3
2	0.00099	0.0	0.00072	6.7	-0.00196	73.3
3	0.00094	0.0	0.00068	6.7	-0.00196	73.3
4	0.00098	0.0	0.00072	6.7	-0.00196	73.3

### ARMATURE A TAGLIO E/O TORSIONE DI INVILUPPO PER LE COMBINAZIONI ASSEGNATE

Diametro staffe/legature:	12	mm	
Passo staffe:	20.0	cm	[Passo massimo di normativa = 22.6 cm]
N.Bracci staffe:	3		
Area staffe/m :	17.0	cm <sup>2</sup> /m	[Area Staffe Minima NTC = 15.0 cm <sup>2</sup> /m]

### VERIFICHE A TAGLIO

Ver	S = comb.verificata a taglio-tors./ N = comb. non verificata
Ved	Taglio agente [kN] uguale al taglio Vy di comb. (sollecit. retta)
Vrd	Taglio resistente [kN] in assenza di staffe [formula (4.1.23)NTC]
Vcd	Taglio compressione resistente [kN] lato calcestruzzo [formula (4.1.28)NTC]
Vwd	Taglio trazione resistente [kN] assorbito dalle staffe [formula (4.1.27)NTC]
bw d	Larghezza minima [cm] sezione misurata parallelam. all'asse neutro   Altezza utile sezione
Ctg	Cotangente dell'angolo di inclinazione dei puntoni di calcestruzzo
Acw	Coefficiente maggiorativo della resistenza a taglio per compressione
Ast	Area staffe/metro strettamente necessaria per taglio e torsione [cm <sup>2</sup> /m]

N°Comb	Ver	Ved	Vrd	Vcd	Vwd	bw d	Ctg	Acw	ASt
1	S	706.00	413.86	2166.64	1094.81	100.0  73.3	2.500	1.013	10.9
2	S	738.00	415.92	2168.77	1094.81	100.0  73.3	2.500	1.014	11.4
3	S	430.00	394.48	2146.59	1094.81	100.0  73.3	2.500	1.004	6.7
4	S	598.00	414.27	2167.07	1094.81	100.0  73.3	2.500	1.013	9.3

### COMBINAZIONI RARE IN ESERCIZIO - VERIFICA MASSIME TENSIONI NORMALI

IN25 – Sistemazione idraulica Rio Castellaro Relazione di calcolo scatolare stradale	COMMESSA L371	LOTTO 00	CODIFICA D 26 CL	DOCUMENTO IN 2500 002	REV. A	FOGLIO 54 di 84
---	------------------	-------------	---------------------	--------------------------	-----------	--------------------

Ver	S = combinazione verificata / N = combin. non verificata
Sc max	Massima tensione di compress.(+) nel conglom. in fase fessurata [MPa]
Yc max	Ordinata in cm della fibra corrisp. a Sc max (sistema rif. X,Y,O)
Sc min	Minima tensione di compress.(+) nel conglom. in fase fessurata [MPa]
Yc min	Ordinata in cm della fibra corrisp. a Sc min (sistema rif. X,Y,O)
Ss min	Minima tensione di trazione (-) nell'acciaio [MPa]
Ys min	Ordinata in cm della barra corrisp. a Ss min (sistema rif. X,Y,O)
Dw Eff.	Spessore di calcestruzzo [cm] in zona tesa considerata aderente alle barre
Ac eff.	Area di congl. [cm <sup>2</sup> ] in zona tesa aderente alle barre (verifica fess.)
As eff.	Area Barre tese di acciaio [cm <sup>2</sup> ] ricadente nell'area efficace(verifica fess.)
D barre	Distanza in cm tra le barre tese efficaci. (D barre = 0 indica spaziatura superiore a 5(c+Ø/2) e nel calcolo di fess. si usa la (C4.1.11)NTC/(7.14)EC2)

N°Comb	Ver	Sc max	Yc max	Sc min	Yc min	Ss min	Ys min	Dw Eff.	Ac Eff.	As Eff.	D barre
1	S	4.43	0.0	0.00	28.2	-106.3	6.7	16.8	1675	53.1	9.6
2	S	4.75	0.0	0.00	28.1	-114.5	6.7	16.8	1675	53.1	9.6

#### COMBINAZIONI RARE IN ESERCIZIO - VERIFICA APERTURA FESSURE (NTC/EC2)

Ver	Esito verifica
e1	Minima deformazione unitaria (trazione: segno -) nel calcestruzzo in sez. fessurata
e2	Massima deformazione unitaria (compress.: segno +) nel calcestruzzo in sez. fessurata
K2	= 0.5 per flessione; =(e1 + e2)/(2*e2)in trazione eccentrica per la (7.13)EC2 e la (C4.1.11)NTC
Kt	fattore di durata del carico di cui alla (7.9) dell'EC2
e sm	Deformazione media acciaio tra le fessure al netto di quella del cls. Tra parentesi il valore minimo = 0.6 Ss/Es
srm	Distanza massima in mm tra le fessure
wk	Apertura delle fessure in mm fornito dalla (7.8)EC2 e dalla (C4.1.7)NTC. Tra parentesi è indicato il valore limite.
M fess.	Momento di prima fessurazione [kNm]

N°Comb	Ver	e1	e2	K2	Kt	e sm	srm	wk	M Fess.
1	S	-0.00061	0.00033	0.50	0.60	0.000319 (0.000319)	323	0.103 (990.00)	-479.04
2	S	-0.00066	0.00036	0.50	0.60	0.000343 (0.000343)	323	0.111 (990.00)	-478.22

#### COMBINAZIONI FREQUENTI IN ESERCIZIO - VERIFICA MASSIME TENSIONI NORMALI

N°Comb	Ver	Sc max	Yc max	Sc min	Yc min	Ss min	Ys min	Dw Eff.	Ac Eff.	As Eff.	D barre
1	S	4.43	0.0	0.00	28.2	-106.3	6.7	16.8	1675	53.1	9.6
2	S	4.75	0.0	0.00	28.1	-114.5	6.7	16.8	1675	53.1	9.6

#### COMBINAZIONI FREQUENTI IN ESERCIZIO - VERIFICA APERTURA FESSURE (NTC/EC2)

N°Comb	Ver	e1	e2	K2	Kt	e sm	srm	wk	M Fess.
1	S	-0.00061	0.00033	0.50	0.60	0.000319 (0.000319)	323	0.103 (0.20)	-479.04
2	S	-0.00066	0.00036	0.50	0.60	0.000343 (0.000343)	323	0.111 (0.20)	-478.22

#### COMBINAZIONI QUASI PERMANENTI IN ESERCIZIO - VERIFICA MASSIME TENSIONI NORMALI

N°Comb	Ver	Sc max	Yc max	Sc min	Yc min	Ss min	Ys min	Dw Eff.	Ac Eff.	As Eff.	D barre
1	S	3.66	0.0	0.00	29.5	-81.5	6.7	16.8	1675	53.1	9.6

#### COMBINAZIONI QUASI PERMANENTI IN ESERCIZIO - VERIFICA APERTURA FESSURE (NTC/EC2)

N°Comb	Ver	e1	e2	K2	Kt	e sm	srm	wk	M Fess.
1	S	-0.00047	0.00027	0.50	0.40	0.000245 (0.000245)	323	0.079 (0.20)	-492.56

### 11.4.1.2 Sezione S2

#### CARATTERISTICHE DI RESISTENZA DEI MATERIALI IMPIEGATI

CALCESTRUZZO -	Classe:	C32/40
	Resistenza compress. di progetto fcd:	18.80 MPa
	Deform. unitaria max resistenza ec2:	0.0020
	Deformazione unitaria ultima ecu:	0.0035
	Diagramma tensioni-deformaz.:	Parabola-Rettangolo
	Modulo Elastico Normale Ec:	33642.8 MPa
	Resis. media a trazione fctm:	3.10 MPa
	Coeff.Omogen. S.L.E.:	15.00
	Sc limite S.L.E. comb. Rare:	19.9 MPa
	Sc limite S.L.E. comb. Frequenti:	19.9 MPa
	Ap.Fessure limite S.L.E. comb. Frequenti:	0.200 mm
	Sc limite S.L.E. comb. Q.Permanenti:	14.9 MPa
	Ap.Fess.limite S.L.E. comb. Q.Perm.:	0.200 mm

ACCIAIO -	Tipo:	B450C
	Resist. caratt. a snervamento fyk:	450.0 MPa
	Resist. caratt. a rottura ftk:	450.0 MPa
	Resist. a snerv. di progetto fyd:	391.3 MPa
	Resist. ultima di progetto ftd:	391.3 MPa
	Deform. ultima di progetto Epu:	0.068
	Modulo Elastico Ef:	200000.0 MPa
	Diagramma tensioni-deformaz.:	Bilineare finito
	Coeff. Aderenza istant. $\beta_1*\beta_2$ :	1.00
	Coeff. Aderenza differito $\beta_1*\beta_2$ :	0.50
	Comb.Rare - Sf Limite:	360.0 MPa

#### CARATTERISTICHE GEOMETRICHE ED ARMATURE SEZIONE

Base:	100.0	cm
Altezza:	80.0	cm
Barre inferiori:	10Ø26	(53.1 cm <sup>2</sup> )
Barre superiori:	5Ø26	(26.5 cm <sup>2</sup> )
Coprif.Inf.(dal baric. barre):	6.7	cm
Coprif.Sup.(dal baric. barre):	6.7	cm
Coprif.Lat. (dal baric.barre):	6.7	cm

#### CALCOLO DI RESISTENZA - SFORZI PER OGNI COMBINAZIONE ASSEGNATA

N	Sforzo normale [kN] applicato nel baricentro (posit. se di compress.)			
Mx	Momento flettente [kNm] intorno all'asse x baric. della sezione con verso positivo se tale da comprimere il lembo sup. della sezione			
VY	Taglio [kN] in direzione parallela all'asse Y del riferim. generale			
MT	Momento torcente [kN m]			
N°Comb.	N	Mx	Vy	MT
1	214.00	1042.00	35.00	0.00
2	155.00	686.00	131.00	0.00

#### COMB. RARE (S.L.E.) - SFORZI PER OGNI COMBINAZIONE ASSEGNATA

N	Sforzo normale [kN] applicato nel baricentro (positivo se di compress.)
Mx	Coppia [kNm] applicata all'asse x baricentrico (tra parentesi il Momento di fessurazione) con verso positivo se tale da comprimere il lembo superiore della sezione

IN25 – Sistemazione idraulica Rio Castellaro Relazione di calcolo scatolare stradale	COMMESSA L371	LOTTO 00	CODIFICA D 26 CL	DOCUMENTO IN 2500 002	REV. A	FOGLIO 56 di 84
---	------------------	-------------	---------------------	--------------------------	-----------	--------------------

N°Comb.	N	Mx
1	201.00	696.00

#### COMB. FREQUENTI (S.L.E.) - SFORZI PER OGNI COMBINAZIONE ASSEGNATA

N Sforzo normale [kN] applicato nel baricentro (positivo se di compress.)  
Mx Coppia [kNm] applicata all'asse x baricentrico (tra parentesi il Momento di fessurazione) con verso positivo se tale da comprimere il lembo superiore della sezione

N°Comb.	N	Mx
1	201.00	696.00 (467.26)

#### COMB. QUASI PERMANENTI (S.L.E.) - SFORZI PER OGNI COMBINAZIONE ASSEGNATA

N Sforzo normale [kN] applicato nel baricentro (positivo se di compress.)  
Mx Coppia [kNm] applicata all'asse x baricentrico (tra parentesi il Momento di fessurazione) con verso positivo se tale da comprimere il lembo superiore della sezione

N°Comb.	N	Mx
1	218.00	594.00 (472.77)

#### RISULTATI DEL CALCOLO

##### Sezione verificata per tutte le combinazioni assegnate

Copriferro netto minimo barre longitudinali: 5.4 cm  
Interferro netto minimo barre longitudinali: 7.0 cm  
Copriferro netto minimo staffe: 5.4 cm

#### VERIFICHE DI RESISTENZA IN PRESSO-TENSO FLESSIONE ALLO STATO LIMITE SOSTANZIALMENTE ELASTICO

Ver S = combinazione verificata / N = combin. non verificata  
N Sforzo normale baricentrico assegnato [kN] (positivo se di compressione)  
Mx Momento flettente assegnato [kNm] riferito all'asse x baricentrico  
N Ult Sforzo normale alla massima resistenza [kN] nella sezione (positivo se di compress.)  
Mx re Momento resistente sostanzialmente elastico [kNm] riferito all'asse x baricentrico  
Mis.Sic. Misura sicurezza = rapporto vettoriale tra (N re, Mx re) e (N, Mx)  
Verifica positiva se tale rapporto risulta  $\geq 1.000$   
Yn Ordinata [cm] dell'asse neutro alla massima resistenza nel sistema di rif. X,Y,O sez.  
x/d Rapp. di duttilità (travi e solette) [§ 4.1.2.1.2.1 NTC]; deve essere  $< 0.45$   
C.Rid. Coeff. di riduz. momenti in travi continue [formula (4.1.1)NTC]  
As Tesa Area armature long. trave [cm<sup>2</sup>] in zona tesa. (tra parentesi l'area minima di normativa)

N°Comb	Ver	N	Mx	N re	Mx re	Mis.Sic.	Yn	x/d	C.Rid.	As Tesa
1	S	214.00	1042.00			1.360	55.4	0.34	0.86	53.1 (13.1)
2	S	155.00	686.00			2.039	55.7	0.33	0.85	53.1 (13.1)

#### DEFORMAZIONI UNITARIE ALLO STATO LIMITE SOSTANZIALMENTE ELASTICO

ec max Deform. unit. massima del calcestruzzo a compressione  
Yc max Ordinata in cm della fibra corrisp. a ec max (sistema rif. X,Y,O sez.)  
es min Deform. unit. minima nell'acciaio (negativa se di trazione)  
Ys min Ordinata in cm della barra corrisp. a es min (sistema rif. X,Y,O sez.)  
es max Deform. unit. massima nell'acciaio (positiva se di compressione)



IN25 – Sistemazione idraulica Rio Castellaro Relazione di calcolo scatolare stradale	COMMESSA L371	LOTTO 00	CODIFICA D 26 CL	DOCUMENTO IN 2500 002	REV. A	FOGLIO 57 di 84
---	------------------	-------------	---------------------	--------------------------	-----------	--------------------

Ys max	Ordinata in cm della barra corrisp. a es max (sistema rif. X,Y,O sez.)					
N°Comb	ec max	Yc max	es min	Ys min	es max	Ys max
1	0.00099	80.0	0.00072	73.3	-0.00196	6.7
2	0.00097	80.0	0.00070	73.3	-0.00196	6.7

#### VERIFICHE A TAGLIO SENZA ARMATURE TRASVERSALI (§ 4.1.2.1.3.1 NTC)

Ver	S = comb.verificata a taglio/ N = comb. non verificata
Ved	Taglio agente [daN] uguale al taglio Vy di comb. (sollecit. retta)
Vwct	Taglio trazione resistente [kN] in assenza di staffe [formula (4.1.23)NTC]
d	Altezza utile sezione [cm]
bw	Larghezza minima sezione [cm]
Ro	Rapporto geometrico di armatura longitudinale [ $<0.02$ ]
Scp	Tensione media di compressione nella sezione [MPa]

N°Comb	Ver	Ved	Vwct	d	bw	Ro	Scp
1	S	35.00	415.92	73.3	100.0	0.0072	0.03
2	S	131.00	407.81	73.3	100.0	0.0072	0.02

#### COMBINAZIONI RARE IN ESERCIZIO - VERIFICA MASSIME TENSIONI NORMALI

Ver	S = combinazione verificata / N = combin. non verificata
Sc max	Massima tensione di compress.(+) nel conglom. in fase fessurata [MPa]
Yc max	Ordinata in cm della fibra corrisp. a Sc max (sistema rif. X,Y,O)
Sc min	Minima tensione di compress.(+) nel conglom. in fase fessurata [MPa]
Yc min	Ordinata in cm della fibra corrisp. a Sc min (sistema rif. X,Y,O)
Ss min	Minima tensione di trazione (-) nell'acciaio [MPa]
Ys min	Ordinata in cm della barra corrisp. a Ss min (sistema rif. X,Y,O)
Dw Eff.	Spessore di calcestruzzo [cm] in zona tesa considerata aderente alle barre
Ac eff.	Area di congl. [cm <sup>2</sup> ] in zona tesa aderente alle barre (verifica fess.)
As eff.	Area Barre tese di acciaio [cm <sup>2</sup> ] ricadente nell'area efficace(verifica fess.)
D barre	Distanza in cm tra le barre tese efficaci. (D barre = 0 indica spaziatura superiore a $5(c+\varnothing/2)$ e nel calcolo di fess. si usa la (C4.1.11)NTC/(7.14)EC2)

N°Comb	Ver	Sc max	Yc max	Sc min	Yc min	Ss min	Ys min	Dw Eff.	Ac Eff.	As Eff.	D barre
1	S	7.15	80.0	0.00	53.0	-184.2	73.3	16.8	1675	53.1	9.6

#### COMBINAZIONI RARE IN ESERCIZIO - VERIFICA APERTURA FESSURE (NTC/EC2)

Ver	Esito verifica
e1	Minima deformazione unitaria (trazione: segno -) nel calcestruzzo in sez. fessurata
e2	Massima deformazione unitaria (compressione: segno +) nel calcestruzzo in sez. fessurata
K2	= 0.5 per flessione; $= (e1 + e2)/(2 * e2)$ in trazione eccentrica per la (7.13)EC2 e la (C4.1.11)NTC
Kt	fattore di durata del carico di cui alla (7.9) dell'EC2
e sm	Deformazione media acciaio tra le fessure al netto di quella del cls. Tra parentesi il valore minimo = 0.6 Ss/Es
srm	Distanza massima in mm tra le fessure
wk	Apertura delle fessure in mm fornito dalla (7.8)EC2 e dalla (C4.1.7)NTC. Tra parentesi è indicato il valore limite.
M fess.	Momento di prima fessurazione [kNm]

N°Comb	Ver	e1	e2	K2	Kt	e sm	srm	wk	M Fess.
1	S	-0.00105	0.00054	0.50	0.60	0.000572 (0.000552)	323 0.185 (990.00)		467.26

#### COMBINAZIONI FREQUENTI IN ESERCIZIO - VERIFICA MASSIME TENSIONI NORMALI

N°Comb	Ver	Sc max	Yc max	Sc min	Yc min	Ss min	Ys min	Dw Eff.	Ac Eff.	As Eff.	D barre
--------	-----	--------	--------	--------	--------	--------	--------	---------	---------	---------	---------

IN25 – Sistemazione idraulica Rio Castellaro Relazione di calcolo scatolare stradale	COMMESSA L371	LOTTO 00	CODIFICA D 26 CL	DOCUMENTO IN 2500 002	REV. A	FOGLIO 58 di 84
---	------------------	-------------	---------------------	--------------------------	-----------	--------------------

1 S 7.15 80.0 0.00 53.0 -184.2 73.3 16.8 1675 53.1 9.6

**COMBINAZIONI FREQUENTI IN ESERCIZIO - VERIFICA APERTURA FESSURE (NTC/EC2)**

N°Comb	Ver	e1	e2	K2	Kt	e sm	srm	wk	M Fess.
1	S	-0.00105	0.00054	0.50	0.60	0.000572 (0.000552)	323	0.185 (0.20)	467.26

**COMBINAZIONI QUASI PERMANENTI IN ESERCIZIO - VERIFICA MASSIME TENSIONI NORMALI**

N°Comb	Ver	Sc max	Yc max	Sc min	Yc min	Ss min	Ys min	Dw Eff.	Ac Eff.	As Eff.	D barre
1	S	6.15	80.0	0.00	52.5	-153.4	73.3	16.8	1675	53.1	9.6

**COMBINAZIONI QUASI PERMANENTI IN ESERCIZIO - VERIFICA APERTURA FESSURE (NTC/EC2)**

N°Comb	Ver	e1	e2	K2	Kt	e sm	srm	wk	M Fess.
1	S	-0.00088	0.00046	0.50	0.40	0.000535 (0.000460)	323	0.173 (0.20)	472.77

### 11.4.1.3 Sezione S3

**CARATTERISTICHE DI RESISTENZA DEI MATERIALI IMPIEGATI**

**CALCESTRUZZO -** Classe: C32/40  
 Resistenza compress. di progetto fcd: 18.80 MPa  
 Resistenza compress. ridotta fcd': 9.40 MPa  
 Deform. unitaria max resistenza ec2: 0.0020  
 Deformazione unitaria ultima ecu: 0.0035  
 Diagramma tensioni-deformaz.: Parabola-Rettangolo  
 Modulo Elastico Normale Ec: 33642.8 MPa  
 Resis. media a trazione fctm: 3.10 MPa  
 Coeff.Omogen. S.L.E.: 15.00  
 Sc limite S.L.E. comb. Rare: 19.9 MPa  
 Sc limite S.L.E. comb. Frequenti: 19.9 MPa  
 Ap.Fessure limite S.L.E. comb. Frequenti: 0.200 mm  
 Sc limite S.L.E. comb. Q.Permanenti: 14.9 MPa  
 Ap.Fess.limite S.L.E. comb. Q.Perm.: 0.200 mm

**ACCIAIO -** Tipo: B450C  
 Resist. caratt. a snervamento fyk: 450.0 MPa  
 Resist. caratt. a rottura ftk: 450.0 MPa  
 Resist. a snerv. di progetto fyd: 391.3 MPa  
 Resist. ultima di progetto ftd: 391.3 MPa  
 Deform. ultima di progetto Epu: 0.068  
 Modulo Elastico Ef: 200000.0 MPa  
 Diagramma tensioni-deformaz.: Bilineare finito  
 Coeff. Aderenza istant.  $\beta_1 \cdot \beta_2$ : 1.00  
 Coeff. Aderenza differito  $\beta_1 \cdot \beta_2$ : 0.50  
 Comb.Rare - Sf Limite: 360.0 MPa

### CARATTERISTICHE GEOMETRICHE ED ARMATURE SEZIONE

Base:	100.0	cm
Altezza:	80.0	cm
Barre inferiori:	5Ø24	(22.6 cm <sup>2</sup> )
Barre superiori:	10Ø26	(53.1 cm <sup>2</sup> )
Coprif.Inf.(dal baric. barre):	6.7	cm
Coprif.Sup.(dal baric. barre):	6.7	cm
Coprif.Lat. (dal baric.barre):	6.7	cm

### CALCOLO DI RESISTENZA - SFORZI PER OGNI COMBINAZIONE ASSEGNATA

N	Sforzo normale [kN] applicato nel baricentro (posit. se di compress.)
Mx	Momento flettente [kNm] intorno all'asse x baric. della sezione con verso positivo se tale da comprimere il lembo sup. della sezione
VY	Taglio [kN] in direzione parallela all'asse Y del riferim. generale
MT	Momento torcente [kN m]

N°Comb.	N	Mx	Vy	MT
1	751.00	-899.00	333.00	0.00
2	787.00	-1023.00	347.00	0.00
3	418.00	-283.00	96.00	0.00
4	653.00	-1099.00	300.00	0.00

### COMB. RARE (S.L.E.) - SFORZI PER OGNI COMBINAZIONE ASSEGNATA

N	Sforzo normale [kN] applicato nel baricentro (positivo se di compress.)
Mx	Coppia [kNm] applicata all'asse x baricentrico (tra parentesi il Momento di fessurazione) con verso positivo se tale da comprimere il lembo superiore della sezione

N°Comb.	N	Mx
1	528.00	-535.00
2	538.00	-562.00

### COMB. FREQUENTI (S.L.E.) - SFORZI PER OGNI COMBINAZIONE ASSEGNATA

N	Sforzo normale [kN] applicato nel baricentro (positivo se di compress.)
Mx	Coppia [kNm] applicata all'asse x baricentrico (tra parentesi il Momento di fessurazione) con verso positivo se tale da comprimere il lembo superiore della sezione

N°Comb.	N	Mx
1	528.00	-535.00 (-516.39)
2	538.00	-562.00 (-513.90)

### COMB. QUASI PERMANENTI (S.L.E.) - SFORZI PER OGNI COMBINAZIONE ASSEGNATA

N	Sforzo normale [kN] applicato nel baricentro (positivo se di compress.)
Mx	Coppia [kNm] applicata all'asse x baricentrico (tra parentesi il Momento di fessurazione) con verso positivo se tale da comprimere il lembo superiore della sezione

N°Comb.	N	Mx
1	538.00	-451.00 (-534.33)

### RISULTATI DEL CALCOLO



RADDOPPIO DELLA LINEA GENOVA – VENTIMIGLIA  
TRATTA FINALE LIGURE – ANDORA  
PROGETTO DEFINITIVO

IN25 – Sistemazione idraulica Rio Castellaro Relazione di calcolo scatolare stradale	COMMESSA L371	LOTTO 00	CODIFICA D 26 CL	DOCUMENTO IN 2500 002	REV. A	FOGLIO 60 di 84
---	------------------	-------------	---------------------	--------------------------	-----------	--------------------

Copriferro netto minimo barre longitudinali: 5.4 cm  
Interferro netto minimo barre longitudinali: 7.0 cm  
Copriferro netto minimo staffe: 4.2 cm

**VERIFICHE DI RESISTENZA IN PRESSO-TENSO FLESSIONE ALLO STATO LIMITE SOSTANZIALMENTE ELASTICO**

Ver S = combinazione verificata / N = combin. non verificata  
N Sforzo normale baricentrico assegnato [kN] (positivo se di compressione)  
Mx Momento flettente assegnato [kNm] riferito all'asse x baricentrico  
N Ult Sforzo normale alla massima resistenza [kN] nella sezione (positivo se di compress.)  
Mx re Momento resistente sostanzialmente elastico [kNm] riferito all'asse x baricentrico  
Mis.Sic. Misura sicurezza = rapporto vettoriale tra (N re,Mx re) e (N,Mx)  
Verifica positiva se tale rapporto risulta  $\geq 1.000$   
Yn Ordinata [cm] dell'asse neutro alla massima resistenza nel sistema di rif. X,Y,O sez.  
x/d Rapp. di duttilità (travi e solette)[§ 4.1.2.1.2.1 NTC]: deve essere  $< 0.45$   
C.Rid. Coeff. di riduz. momenti in travi continue [formula (4.1.1)NTC]  
As Tesa Area armature long. trave [cm<sup>2</sup>] in zona tesa. (tra parentesi l'area minima di normativa)

N°Comb	Ver	N	Mx	N re	Mx re	Mis.Sic.	Yn	x/d	C.Rid.	As Tesa
1	S	751.00	-899.00			1.723	27.4	0.37	0.91	53.1 (13.1) 12)
2	S	787.00	-1023.00			1.526	27.6	0.38	0.91	53.1 (13.1) 12)
3	S	418.00	-283.00			5.067	25.9	0.35	0.88	53.1 (13.1) 12)
4	S	653.00	-1099.00			1.391	27.0	0.37	0.90	53.1 (13.1) 12)

**DEFORMAZIONI UNITARIE ALLO STATO LIMITE SOSTANZIALMENTE ELASTICO**

ec max Deform. unit. massima del calcestruzzo a compressione  
Yc max Ordinata in cm della fibra corrisp. a ec max (sistema rif. X,Y,O sez.)  
es min Deform. unit. minima nell'acciaio (negativa se di trazione)  
Ys min Ordinata in cm della barra corrisp. a es min (sistema rif. X,Y,O sez.)  
es max Deform. unit. massima nell'acciaio (positiva se di compressione)  
Ys max Ordinata in cm della barra corrisp. a es max (sistema rif. X,Y,O sez.)

N°Comb	ec max	Yc max	es min	Ys min	es max	Ys max
1	0.00117	0.0	0.00088	6.7	-0.00196	73.3
2	0.00118	0.0	0.00089	6.7	-0.00196	73.3
3	0.00107	0.0	0.00079	6.7	-0.00196	73.3
4	0.00114	0.0	0.00086	6.7	-0.00196	73.3

**ARMATURE A TAGLIO E/O TORSIONE DI INVILUPPO PER LE COMBINAZIONI ASSEGNATE**

Diametro staffe/legature: 12 mm  
Passo staffe: 20.0 cm [Passo massimo di normativa = 22.6 cm]  
N.Bracci staffe: 3  
Area staffe/m : 17.0 cm<sup>2</sup>/m [Area Staffe Minima NTC = 15.0 cm<sup>2</sup>/m]

**VERIFICHE A TAGLIO**

Ver S = comb.verificata a taglio-tors./ N = comb. non verificata  
Ved Taglio agente [kN] uguale al taglio Vy di comb. (sollecit. retta)  
Vrd Taglio resistente [kN] in assenza di staffe [formula (4.1.23)NTC]  
Vcd Taglio compressione resistente [kN] lato calcestruzzo [formula (4.1.28)NTC]  
Vwd Taglio trazione resistente [kN] assorbito dalle staffe [formula (4.1.27)NTC]  
bw/d Larghezza minima [cm] sezione misurata parallelam. all'asse neutro | Altezza utile sezione  
Ctg Cotangente dell'angolo di inclinazione dei puntoni di calcestruzzo  
Acw Coefficiente maggiorativo della resistenza a taglio per compressione  
Ast Area staffe/metro strettamente necessaria per taglio e torsione [cm<sup>2</sup>/m]



RADDOPPIO DELLA LINEA GENOVA – VENTIMIGLIA  
TRATTA FINALE LIGURE – ANDORA  
PROGETTO DEFINITIVO

IN25 – Sistemazione idraulica Rio Castellaro Relazione di calcolo scatolare stradale	COMMESSA L371	LOTTO 00	CODIFICA D 26 CL	DOCUMENTO IN 2500 002	REV. A	FOGLIO 61 di 84
---	------------------	-------------	---------------------	--------------------------	-----------	--------------------

N°Comb	Ver	Vcd	Vrd	Vcd	Vwd	bw d	Ctg	Acw	ASt
1	S	333.00	489.72	2245.12	1094.81	100.0 73.3	2.500	1.050	5.2
2	S	347.00	494.67	2250.24	1094.81	100.0 73.3	2.500	1.052	5.4
3	S	96.00	443.96	2197.78	1094.81	100.0 73.3	2.500	1.028	1.5
4	S	300.00	476.25	2231.19	1094.81	100.0 73.3	2.500	1.043	4.6

**COMBINAZIONI RARE IN ESERCIZIO - VERIFICA MASSIME TENSIONI NORMALI**

Ver	S = combinazione verificata / N = combin. non verificata
Sc max	Massima tensione di compress.(+) nel conglom. in fase fessurata [MPa]
Yc max	Ordinata in cm della fibra corrisp. a Sc max (sistema rif. X,Y,O)
Sc min	Minima tensione di compress.(+) nel conglom. in fase fessurata [MPa]
Yc min	Ordinata in cm della fibra corrisp. a Sc min (sistema rif. X,Y,O)
Ss min	Minima tensione di trazione (-) nell'acciaio [MPa]
Ys min	Ordinata in cm della barra corrisp. a Ss min (sistema rif. X,Y,O)
Dw Eff.	Spessore di calcestruzzo [cm] in zona tesa considerata aderente alle barre
Ac eff.	Area di congl. [cm <sup>2</sup> ] in zona tesa aderente alle barre (verifica fess.)
As eff.	Area Barre tese di acciaio [cm <sup>2</sup> ] ricadente nell'area efficace(verifica fess.)
D barre	Distanza in cm tra le barre tese efficaci. (D barre = 0 indica spaziatura superiore a 5(c+Ø/2) e nel calcolo di fess. si usa la (C4.1.11)NTC/(7.14)EC2)

N°Comb	Ver	Sc max	Yc max	Sc min	Yc min	Ss min	Ys min	Dw Eff.	Ac Eff.	As Eff.	D barre
1	S	5.97	0.0	0.00	32.5	-112.8	6.7	15.9	1586	53.1	9.6
2	S	6.26	0.0	0.00	32.2	-119.7	6.7	15.9	1594	53.1	9.6

**COMBINAZIONI RARE IN ESERCIZIO - VERIFICA APERTURA FESSURE (NTC/EC2)**

Ver	Esito verifica
e1	Minima deformazione unitaria (trazione: segno -) nel calcestruzzo in sez. fessurata
e2	Massima deformazione unitaria (compress.: segno +) nel calcestruzzo in sez. fessurata
K2	= 0.5 per flessione; =(e1 + e2)/(2*e2)in trazione eccentrica per la (7.13)EC2 e la (C4.1.11)NTC
Kt	fattore di durata del carico di cui alla (7.9) dell'EC2
e sm	Deformazione media acciaio tra le fessure al netto di quella del cls. Tra parentesi il valore minimo = 0.6 Ss/Es
srm	Distanza massima in mm tra le fessure
wk	Apertura delle fessure in mm fornito dalla (7.8)EC2 e dalla (C4.1.7)NTC. Tra parentesi è indicato il valore limite.
M fess.	Momento di prima fessurazione [kNm]

N°Comb	Ver	e1	e2	K2	Kt	e sm	srm	wk	M Fess.
1	S	-0.00066	0.00045	0.50	0.60	0.000338 (0.000338)	316	0.107 (990.00)	-516.39
2	S	-0.00070	0.00047	0.50	0.60	0.000359 (0.000359)	316	0.114 (990.00)	-513.90

**COMBINAZIONI FREQUENTI IN ESERCIZIO - VERIFICA MASSIME TENSIONI NORMALI**

N°Comb	Ver	Sc max	Yc max	Sc min	Yc min	Ss min	Ys min	Dw Eff.	Ac Eff.	As Eff.	D barre
1	S	5.97	0.0	0.00	32.5	-112.8	6.7	15.9	1586	53.1	9.6
2	S	6.26	0.0	0.00	32.2	-119.7	6.7	15.9	1594	53.1	9.6

**COMBINAZIONI FREQUENTI IN ESERCIZIO - VERIFICA APERTURA FESSURE (NTC/EC2)**

N°Comb	Ver	e1	e2	K2	Kt	e sm	srm	wk	M Fess.
1	S	-0.00066	0.00045	0.50	0.60	0.000338 (0.000338)	316	0.107 (0.20)	-516.39
2	S	-0.00070	0.00047	0.50	0.60	0.000359 (0.000359)	316	0.114 (0.20)	-513.90

**COMBINAZIONI QUASI PERMANENTI IN ESERCIZIO - VERIFICA MASSIME TENSIONI NORMALI**

N°Comb	Ver	Sc max	Yc max	Sc min	Yc min	Ss min	Ys min	Dw Eff.	Ac Eff.	As Eff.	D barre
--------	-----	--------	--------	--------	--------	--------	--------	---------	---------	---------	---------

IN25 – Sistemazione idraulica Rio Castellaro Relazione di calcolo scatolare stradale	COMMESSA L371	LOTTO 00	CODIFICA D 26 CL	DOCUMENTO IN 2500 002	REV. A	FOGLIO 62 di 84
---	------------------	-------------	---------------------	--------------------------	-----------	--------------------

1 S 5.10 0.0 0.00 34.1 -88.3 6.7 15.3 1532 53.1 9.6

#### COMBINAZIONI QUASI PERMANENTI IN ESERCIZIO - VERIFICA APERTURA FESSURE (NTC/EC2)

N°Comb	Ver	e1	e2	K2	Kt	e sm	srm	wk	M Fess.
1	S	-0.00052	0.00038	0.50	0.40	0.000265 (0.000265)	311	0.082 (0.20)	-534.33

### 11.4.1.4 Sezione S4

#### CARATTERISTICHE DI RESISTENZA DEI MATERIALI IMPIEGATI

CALCESTRUZZO -	Classe:	C32/40
	Resistenza compress. di progetto fcd:	18.80 MPa
	Resistenza compress. ridotta fcd':	9.40 MPa
	Deform. unitaria max resistenza ec2:	0.0020
	Deformazione unitaria ultima ecu:	0.0035
	Diagramma tensioni-deformaz.:	Parabola-Rettangolo
	Modulo Elastico Normale Ec:	33642.8 MPa
	Resis. media a trazione fctm:	3.10 MPa
	Coeff.Omogen. S.L.E.:	15.00
	Sc limite S.L.E. comb. Rare:	19.9 MPa
	Sc limite S.L.E. comb. Frequenti:	19.9 MPa
	Ap.Fessure limite S.L.E. comb. Frequenti:	0.200 mm
	Sc limite S.L.E. comb. Q.Permanenti:	14.9 MPa
	Ap.Fess.limite S.L.E. comb. Q.Perm.:	0.200 mm

ACCIAIO -	Tipo:	B450C
	Resist. caratt. a snervamento fyk:	450.0 MPa
	Resist. caratt. a rottura ftk:	450.0 MPa
	Resist. a snerv. di progetto fyd:	391.3 MPa
	Resist. ultima di progetto ftd:	391.3 MPa
	Deform. ultima di progetto Epu:	0.068
	Modulo Elastico Ef:	200000.0 MPa
	Diagramma tensioni-deformaz.:	Bilineare finito
	Coeff. Aderenza istant. β1*β2:	1.00
	Coeff. Aderenza differito β1*β2:	0.50
	Comb.Rare - Sf Limite:	360.0 MPa

#### CARATTERISTICHE GEOMETRICHE ED ARMATURE SEZIONE

Base:	100.0	cm
Altezza:	80.0	cm
Barre inferiori:	5Ø24	(22.6 cm <sup>2</sup> )
Barre superiori:	10Ø26	(53.1 cm <sup>2</sup> )
Coprif.Inf.(dal baric. barre):	6.7	cm
Coprif.Sup.(dal baric. barre):	6.7	cm
Coprif.Lat. (dal baric.barre):	6.7	cm

#### CALCOLO DI RESISTENZA - SFORZI PER OGNI COMBINAZIONE ASSEGNATA

N Sforzo normale [kN] applicato nel baricentro (posit. se di compress.)

IN25 – Sistemazione idraulica Rio Castellaro Relazione di calcolo scatolare stradale	COMMESSA L371	LOTTO 00	CODIFICA D 26 CL	DOCUMENTO IN 2500 002	REV. A	FOGLIO 63 di 84
---	------------------	-------------	---------------------	--------------------------	-----------	--------------------

Mx Momento flettente [kNm] intorno all'asse x baric. della sezione  
con verso positivo se tale da comprimere il lembo sup. della sezione  
VY Taglio [kN] in direzione parallela all'asse Y del riferim. generale  
MT Momento torcente [kN m]

N°Comb.	N	Mx	Vy	MT
1	884.00	-971.00	456.00	0.00
2	919.00	-821.00	386.00	0.00
3	519.00	-1120.00	549.00	0.00
4	760.00	-152.00	174.00	0.00

#### COMB. RARE (S.L.E.) - SFORZI PER OGNI COMBINAZIONE ASSEGNATA

N Sforzo normale [kN] applicato nel baricentro (positivo se di compress.)  
Mx Coppia [kNm] applicata all'asse x baricentrico (tra parentesi il Momento di fessurazione)  
con verso positivo se tale da comprimere il lembo superiore della sezione

N°Comb.	N	Mx
1	618.00	-542.00
2	628.00	-517.00

#### COMB. FREQUENTI (S.L.E.) - SFORZI PER OGNI COMBINAZIONE ASSEGNATA

N Sforzo normale [kN] applicato nel baricentro (positivo se di compress.)  
Mx Coppia [kNm] applicata all'asse x baricentrico (tra parentesi il Momento di fessurazione)  
con verso positivo se tale da comprimere il lembo superiore della sezione

N°Comb.	N	Mx
1	618.00	-542.00 (-529.62)
2	628.00	-517.00 (-536.30)

#### COMB. QUASI PERMANENTI (S.L.E.) - SFORZI PER OGNI COMBINAZIONE ASSEGNATA

N Sforzo normale [kN] applicato nel baricentro (positivo se di compress.)  
Mx Coppia [kNm] applicata all'asse x baricentrico (tra parentesi il Momento di fessurazione)  
con verso positivo se tale da comprimere il lembo superiore della sezione

N°Comb.	N	Mx
1	628.00	-471.00 (-547.29)

#### RISULTATI DEL CALCOLO

Copriferro netto minimo barre longitudinali: 5.4 cm  
Interferro netto minimo barre longitudinali: 7.0 cm  
Copriferro netto minimo staffe: 4.2 cm

#### VERIFICHE DI RESISTENZA IN PRESSO-TENSO FLESSIONE ALLO STATO LIMITE SOSTANZIALMENTE ELASTICO

Ver S = combinazione verificata / N = combin. non verificata  
N Sforzo normale baricentrico assegnato [kN] (positivo se di compressione)  
Mx Momento flettente assegnato [kNm] riferito all'asse x baricentrico  
N Ult Sforzo normale alla massima resistenza [kN] nella sezione (positivo se di compress.)  
Mx re Momento resistente sostanzialmente elastico [kNm] riferito all'asse x baricentrico  
Mis.Sic. Misura sicurezza = rapporto vettoriale tra (N re, Mx re) e (N, Mx)  
Verifica positiva se tale rapporto risulta  $\geq 1.000$   
Yn Ordinata [cm] dell'asse neutro alla massima resistenza nel sistema di rif. X,Y,O sez.



RADDOPPIO DELLA LINEA GENOVA – VENTIMIGLIA  
TRATTA FINALE LIGURE – ANDORA  
PROGETTO DEFINITIVO

IN25 – Sistemazione idraulica Rio Castellaro Relazione di calcolo scatolare stradale	COMMESSA L371	LOTTO 00	CODIFICA D 26 CL	DOCUMENTO IN 2500 002	REV. A	FOGLIO 64 di 84
---	------------------	-------------	---------------------	--------------------------	-----------	--------------------

x/d Rapp. di duttilità (travi e solette)[§ 4.1.2.1.2.1 NTC]: deve essere < 0.45  
C.Rid. Coeff. di riduz. momenti in travi continue [formula (4.1.1)NTC]  
As Tesa Area armature long. trave [cm<sup>2</sup>] in zona tesa. (tra parentesi l'area minima di normativa)

N°Comb	Ver	N	Mx	N re	Mx re	Mis.Sic.	Yn	x/d	C.Rid.	As Tesa
1	S	884.00	-971.00			1.631	28.0	0.38	0.92	53.1 (13.1) 12)
2	S	919.00	-821.00			1.932	28.2	0.38	0.92	53.1 (13.1) 12)
3	S	519.00	-1120.00			1.335	26.4	0.36	0.89	53.1 (13.1) 12)
4	S	760.00	-152.00			9.362	27.5	0.37	0.91	53.1 (13.1) 12)

### DEFORMAZIONI UNITARIE ALLO STATO LIMITE SOSTANZIALMENTE ELASTICO

ec max Deform. unit. massima del calcestruzzo a compressione  
Yc max Ordinata in cm della fibra corrisp. a ec max (sistema rif. X,Y,O sez.)  
es min Deform. unit. minima nell'acciaio (negativa se di trazione)  
Ys min Ordinata in cm della barra corrisp. a es min (sistema rif. X,Y,O sez.)  
es max Deform. unit. massima nell'acciaio (positiva se di compressione)  
Ys max Ordinata in cm della barra corrisp. a es max (sistema rif. X,Y,O sez.)

N°Comb	ec max	Yc max	es min	Ys min	es max	Ys max
1	0.00121	0.0	0.00092	6.7	-0.00196	73.3
2	0.00122	0.0	0.00093	6.7	-0.00196	73.3
3	0.00110	0.0	0.00082	6.7	-0.00196	73.3
4	0.00117	0.0	0.00089	6.7	-0.00196	73.3

### ARMATURE A TAGLIO E/O TORSIONE DI INVILUPPO PER LE COMBINAZIONI ASSEGNATE

Diametro staffe/legature: 12 mm  
Passo staffe: 20.0 cm [Passo massimo di normativa = 22.6 cm]  
N.Bracci staffe: 3  
Area staffe/m : 17.0 cm<sup>2</sup>/m [Area Staffe Minima NTC = 15.0 cm<sup>2</sup>/m]

### VERIFICHE A TAGLIO

Ver S = comb.verificata a taglio-tors./ N = comb. non verificata  
Ved Taglio agente [kN] uguale al taglio Vy di comb. (sollecit. retta)  
Vrd Taglio resistente [kN] in assenza di staffe [formula (4.1.23)NTC]  
Vcd Taglio compressione resistente [kN] lato calcestruzzo [formula (4.1.28)NTC]  
Vwd Taglio trazione resistente [kN] assorbito dalle staffe [formula (4.1.27)NTC]  
bw|d Larghezza minima [cm] sezione misurata parallelam. all'asse neutro | Altezza utile sezione  
Ctg Cotangente dell'angolo di inclinazione dei puntoni di calcestruzzo  
Acw Coefficiente maggiorativo della resistenza a taglio per compressione  
Ast Area staffe/metro strettamente necessaria per taglio e torsione [cm<sup>2</sup>/m]

N°Comb	Ver	Ved	Vrd	Vcd	Vwd	bw d	Ctg	Acw	ASt
1	S	456.00	508.00	2264.03	1094.81	100.0  73.3	2.500	1.059	7.1
2	S	386.00	512.81	2269.01	1094.81	100.0  73.3	2.500	1.061	6.0
3	S	549.00	457.84	2212.14	1094.81	100.0  73.3	2.500	1.035	8.5
4	S	174.00	490.96	2246.40	1094.81	100.0  73.3	2.500	1.051	2.7

### COMBINAZIONI RARE IN ESERCIZIO - VERIFICA MASSIME TENSIONI NORMALI

Ver S = combinazione verificata / N = combin. non verificata  
Sc max Massima tensione di compress.(+) nel conglom. in fase fessurata ([MPa])  
Yc max Ordinata in cm della fibra corrisp. a Sc max (sistema rif. X,Y,O)  
Sc min Minima tensione di compress.(+) nel conglom. in fase fessurata ([MPa])





RADDOPPIO DELLA LINEA GENOVA – VENTIMIGLIA  
TRATTA FINALE LIGURE – ANDORA  
PROGETTO DEFINITIVO

IN25 – Sistemazione idraulica Rio Castellaro Relazione di calcolo scatolare stradale	COMMESSA L371	LOTTO 00	CODIFICA D 26 CL	DOCUMENTO IN 2500 002	REV. A	FOGLIO 65 di 84
---	------------------	-------------	---------------------	--------------------------	-----------	--------------------

Yc min	Ordinata in cm della fibra corrisp. a Sc min (sistema rif. X,Y,O)
Ss min	Minima tensione di trazione (-) nell'acciaio [MPa]
Ys min	Ordinata in cm della barra corrisp. a Ss min (sistema rif. X,Y,O)
Dw Eff.	Spessore di calcestruzzo [cm] in zona tesa considerata aderente alle barre
Ac eff.	Area di congl. [cm <sup>2</sup> ] in zona tesa aderente alle barre (verifica fess.)
As eff.	Area Barre tese di acciaio [cm <sup>2</sup> ] ricadente nell'area efficace(verifica fess.)
D barre	Distanza in cm tra le barre tese efficaci. (D barre = 0 indica spaziatura superiore a 5(c+Ø/2) e nel calcolo di fess. si usa la (C4.1.11)NTC/(7.14)EC2)

N°Comb	Ver	Sc max	Yc max	Sc min	Yc min	Ss min	Ys min	Dw Eff.	Ac Eff.	As Eff.	D barre
1	S	6.11	0.0	0.00	33.7	-108.2	6.7	15.5	1546	53.1	9.6
2	S	5.86	0.0	0.00	34.3	-100.4	6.7	15.3	1527	53.1	9.6

**COMBINAZIONI RARE IN ESERCIZIO - VERIFICA APERTURA FESSURE (NTC/EC2)**

Ver	Esito verifica
e1	Minima deformazione unitaria (trazione: segno -) nel calcestruzzo in sez. fessurata
e2	Massima deformazione unitaria (compress.: segno +) nel calcestruzzo in sez. fessurata
K2	= 0.5 per flessione; =(e1 + e2)/(2*e2)in trazione eccentrica per la (7.13)EC2 e la (C4.1.11)NTC
Kt	fattore di durata del carico di cui alla (7.9) dell'EC2
e sm	Deformazione media acciaio tra le fessure al netto di quella del cls. Tra parentesi il valore minimo = 0.6 Ss/Es
srm	Distanza massima in mm tra le fessure
wk	Apertura delle fessure in mm fornito dalla (7.8)EC2 e dalla (C4.1.7)NTC. Tra parentesi è indicato il valore limite.
M fess.	Momento di prima fessurazione [kNm]

N°Comb	Ver	e1	e2	K2	Kt	e sm	srm	wk	M Fess.
1	S	-0.00063	0.00046	0.50	0.60	0.000324 (0.000324)	312 0.101 (990.00)		-529.62
2	S	-0.00059	0.00044	0.50	0.60	0.000301 (0.000301)	311 0.094 (990.00)		-536.30

**COMBINAZIONI FREQUENTI IN ESERCIZIO - VERIFICA MASSIME TENSIONI NORMALI**

N°Comb	Ver	Sc max	Yc max	Sc min	Yc min	Ss min	Ys min	Dw Eff.	Ac Eff.	As Eff.	D barre
1	S	6.11	0.0	0.00	33.7	-108.2	6.7	15.5	1546	53.1	9.6
2	S	5.86	0.0	0.00	34.3	-100.4	6.7	15.3	1527	53.1	9.6

**COMBINAZIONI FREQUENTI IN ESERCIZIO - VERIFICA APERTURA FESSURE (NTC/EC2)**

N°Comb	Ver	e1	e2	K2	Kt	e sm	srm	wk	M Fess.
1	S	-0.00063	0.00046	0.50	0.60	0.000324 (0.000324)	312 0.101 (0.20)		-529.62
2	S	-0.00059	0.00044	0.50	0.60	0.000301 (0.000301)	311 0.094 (0.20)		-536.30

**COMBINAZIONI QUASI PERMANENTI IN ESERCIZIO - VERIFICA MASSIME TENSIONI NORMALI**

N°Comb	Ver	Sc max	Yc max	Sc min	Yc min	Ss min	Ys min	Dw Eff.	Ac Eff.	As Eff.	D barre
1	S	5.39	0.0	0.00	37.2	-87.3	6.7	14.9	1493	53.1	9.6

**COMBINAZIONI QUASI PERMANENTI IN ESERCIZIO - VERIFICA APERTURA FESSURE (NTC/EC2)**

N°Comb	Ver	e1	e2	K2	Kt	e sm	srm	wk	M Fess.
1	S	-0.00051	0.00040	0.50	0.40	0.000262 (0.000262)	308 0.081 (0.20)		-547.29

### 11.4.1.5 Sezione S5

#### CARATTERISTICHE DI RESISTENZA DEI MATERIALI IMPIEGATI

CALCESTRUZZO -	Classe:	C32/40
	Resistenza compress. di progetto fcd:	18.80 MPa
	Deform. unitaria max resistenza ec2:	0.0020
	Deformazione unitaria ultima ecu:	0.0035
	Diagramma tensioni-deformaz.:	Parabola-Rettangolo
	Modulo Elastico Normale Ec:	33642.8 MPa
	Resis. media a trazione fctm:	3.10 MPa
	Coeff.Omogen. S.L.E.:	15.00
	Sc limite S.L.E. comb. Rare:	19.9 MPa
	Sc limite S.L.E. comb. Frequenti:	19.9 MPa
	Ap.Fessure limite S.L.E. comb. Frequenti:	0.200 mm
	Sc limite S.L.E. comb. Q.Permanenti:	14.9 MPa
	Ap.Fess.limite S.L.E. comb. Q.Perm.:	0.200 mm

ACCIAIO -	Tipo:	B450C
	Resist. caratt. a snervamento fyk:	450.0 MPa
	Resist. caratt. a rottura ftk:	450.0 MPa
	Resist. a snerv. di progetto fyd:	391.3 MPa
	Resist. ultima di progetto ftd:	391.3 MPa
	Deform. ultima di progetto Epu:	0.068
	Modulo Elastico Ef:	200000.0 MPa
	Diagramma tensioni-deformaz.:	Bilineare finito
	Coeff. Aderenza istant. $\beta_1 * \beta_2$ :	1.00
	Coeff. Aderenza differito $\beta_1 * \beta_2$ :	0.50
	Comb.Rare - Sf Limite:	360.0 MPa

#### CARATTERISTICHE GEOMETRICHE ED ARMATURE SEZIONE

Base:	100.0	cm
Altezza:	80.0	cm
Barre inferiori:	5Ø24	(22.6 cm <sup>2</sup> )
Barre superiori:	5Ø26	(26.5 cm <sup>2</sup> )
Coprif.Inf.(dal baric. barre):	6.7	cm
Coprif.Sup.(dal baric. barre):	6.7	cm
Coprif.Lat. (dal baric.barre):	6.7	cm

#### CALCOLO DI RESISTENZA - SFORZI PER OGNI COMBINAZIONE ASSEGNATA

N	Sforzo normale [kN] applicato nel baricentro (posit. se di compress.)
Mx	Momento flettente [kNm] intorno all'asse x baric. della sezione con verso positivo se tale da comprimere il lembo sup. della sezione
VY	Taglio [kN] in direzione parallela all'asse Y del riferim. generale
MT	Momento torcente [kN m]

N°Comb.	N	Mx	Vy	MT
1	817.00	-450.00	85.00	0.00
2	853.00	-452.00	127.00	0.00
3	468.00	-250.00	241.00	0.00
4	706.00	-422.00	262.00	0.00

#### COMB. RARE (S.L.E.) - SFORZI PER OGNI COMBINAZIONE ASSEGNATA

N	Sforzo normale [kN] applicato nel baricentro (positivo se di compress.)
---	---



RADDOPPIO DELLA LINEA GENOVA – VENTIMIGLIA  
TRATTA FINALE LIGURE – ANDORA  
PROGETTO DEFINITIVO

IN25 – Sistemazione idraulica Rio Castellaro Relazione di calcolo scatolare stradale	COMMESSA L371	LOTTO 00	CODIFICA D 26 CL	DOCUMENTO IN 2500 002	REV. A	FOGLIO 67 di 84
---	------------------	-------------	---------------------	--------------------------	-----------	--------------------

Mx Coppia [kNm] applicata all'asse x baricentrico (tra parentesi il Momento di fessurazione)  
con verso positivo se tale da comprimere il lembo superiore della sezione

N°Comb.	N	Mx
1	573.00	-253.00
2	583.00	-254.00

**COMB. FREQUENTI (S.L.E.) - SFORZI PER OGNI COMBINAZIONE ASSEGNATA**

N Sforzo normale [kN] applicato nel baricentro (positivo se di compress.)  
Mx Coppia [kNm] applicata all'asse x baricentrico (tra parentesi il Momento di fessurazione)  
con verso positivo se tale da comprimere il lembo superiore della sezione

N°Comb.	N	Mx
1	573.00	-253.00 (-588.09)
2	583.00	-254.00 (-591.94)

**COMB. QUASI PERMANENTI (S.L.E.) - SFORZI PER OGNI COMBINAZIONE ASSEGNATA**

N Sforzo normale [kN] applicato nel baricentro (positivo se di compress.)  
Mx Coppia [kNm] applicata all'asse x baricentrico (tra parentesi il Momento di fessurazione)  
con verso positivo se tale da comprimere il lembo superiore della sezione

N°Comb.	N	Mx
1	583.00	-206.00 (-668.92)

**RISULTATI DEL CALCOLO**

**Sezione verificata per tutte le combinazioni assegnate**

Copriferro netto minimo barre longitudinali: 5.4 cm  
Interferro netto minimo barre longitudinali: 19.1 cm  
Copriferro netto minimo staffe: 5.4 cm

**VERIFICHE DI RESISTENZA IN PRESSO-TENSO FLESSIONE ALLO STATO LIMITE SOSTANZIALMENTE ELASTICO**

Ver S = combinazione verificata / N = combin. non verificata  
N Sforzo normale baricentrico assegnato [kN] (positivo se di compressione)  
Mx Momento flettente assegnato [kNm] riferito all'asse x baricentrico  
N Ult Sforzo normale alla massima resistenza [kN] nella sezione (positivo se di compress.)  
Mx re Momento resistente sostanzialmente elastico [kNm] riferito all'asse x baricentrico  
Mis.Sic. Misura sicurezza = rapporto vettoriale tra (N re, Mx re) e (N, Mx)  
Verifica positiva se tale rapporto risulta  $\geq 1.000$   
Yn Ordinata [cm] dell'asse neutro alla massima resistenza nel sistema di rif. X,Y,O sez.  
x/d Rapp. di duttilità (travi e solette) [§ 4.1.2.1.2.1 NTC]; deve essere  $< 0.45$   
C.Rid. Coeff. di riduz. momenti in travi continue [formula (4.1.1)NTC]  
As Tesa Area armature long. trave [cm<sup>2</sup>] in zona tesa. (tra parentesi l'area minima di normativa)

N°Comb	Ver	N	Mx	N re	Mx re	Mis.Sic.	Yn	x/d	C.Rid.	As Tesa
1	S	817.00	-450.00			2.096	22.6	0.31	0.82	26.5 (13.1)
2	S	853.00	-452.00			2.109	22.8	0.31	0.83	26.5 (13.1)
3	S	468.00	-250.00			3.358	20.5	0.28	0.79	26.5 (13.1)
4	S	706.00	-422.00			2.159	21.9	0.30	0.81	26.5 (13.1)

IN25 – Sistemazione idraulica Rio Castellaro Relazione di calcolo scatolare stradale	COMMESSA L371	LOTTO 00	CODIFICA D 26 CL	DOCUMENTO IN 2500 002	REV. A	FOGLIO 68 di 84
---	------------------	-------------	---------------------	--------------------------	-----------	--------------------

### DEFORMAZIONI UNITARIE ALLO STATO LIMITE SOSTANZIALMENTE ELASTICO

ec max	Deform. unit. massima del calcestruzzo a compressione
Yc max	Ordinata in cm della fibra corrisp. a ec max (sistema rif. X,Y,O sez.)
es min	Deform. unit. minima nell'acciaio (negativa se di trazione)
Ys min	Ordinata in cm della barra corrisp. a es min (sistema rif. X,Y,O sez.)
es max	Deform. unit. massima nell'acciaio (positiva se di compressione)
Ys max	Ordinata in cm della barra corrisp. a es max (sistema rif. X,Y,O sez.)

N°Comb	ec max	Yc max	es min	Ys min	es max	Ys max
1	0.00087	0.0	0.00061	6.7	-0.00196	73.3
2	0.00088	0.0	0.00062	6.7	-0.00196	73.3
3	0.00076	0.0	0.00051	6.7	-0.00196	73.3
4	0.00084	0.0	0.00058	6.7	-0.00196	73.3

### VERIFICHE A TAGLIO SENZA ARMATURE TRASVERSALI (§ 4.1.2.1.3.1 NTC)

Ver	S = comb.verificata a taglio/ N = comb. non verificata
Ved	Taglio agente [daN] uguale al taglio Vy di comb. (sollecit. retta)
Vwct	Taglio trazione resistente [kN] in assenza di staffe [formula (4.1.23)NTC]
d	Altezza utile sezione [cm]
bw	Larghezza minima sezione [cm]
Ro	Rapporto geometrico di armatura longitudinale [ $<0.02$ ]
Scp	Tensione media di compressione nella sezione [MPa]

N°Comb	Ver	Ved	Vwct	d	bw	Ro	Scp
1	S	85.00	419.06	73.3	100.0	0.0036	0.10
2	S	127.00	424.00	73.3	100.0	0.0036	0.11
3	S	241.00	371.09	73.3	100.0	0.0036	0.06
4	S	262.00	403.80	73.3	100.0	0.0036	0.09

### COMBINAZIONI RARE IN ESERCIZIO - VERIFICA MASSIME TENSIONI NORMALI

Ver	S = combinazione verificata / N = combin. non verificata
Sc max	Massima tensione di compress.(+) nel conglom. in fase fessurata [MPa]
Yc max	Ordinata in cm della fibra corrisp. a Sc max (sistema rif. X,Y,O)
Sc min	Minima tensione di compress.(+) nel conglom. in fase fessurata [MPa]
Yc min	Ordinata in cm della fibra corrisp. a Sc min (sistema rif. X,Y,O)
Ss min	Minima tensione di trazione (-) nell'acciaio [MPa]
Ys min	Ordinata in cm della barra corrisp. a Ss min (sistema rif. X,Y,O)
Dw Eff.	Spessore di calcestruzzo [cm] in zona tesa considerata aderente alle barre
Ac eff.	Area di congl. [cm <sup>2</sup> ] in zona tesa aderente alle barre (verifica fess.)
As eff.	Area Barre tese di acciaio [cm <sup>2</sup> ] ricadente nell'area efficace(verifica fess.)
D barre	Distanza in cm tra le barre tese efficaci. (D barre = 0 indica spaziatura superiore a $5(c+\emptyset/2)$ e nel calcolo di fess. si usa la (C4.1.11)NTC/(7.14)EC2)

N°Comb	Ver	Sc max	Yc max	Sc min	Yc min	Ss min	Ys min	Dw Eff.	Ac Eff.	As Eff.	D barre
1	S	3.45	0.0	0.00	36.2	-53.7	6.7	14.7	1468	26.5	21.7
2	S	3.46	0.0	0.00	36.5	-53.0	6.7	14.6	1457	26.5	21.7

### COMBINAZIONI RARE IN ESERCIZIO - VERIFICA APERTURA FESSURE (NTC/EC2)

Ver	Esito verifica
e1	Minima deformazione unitaria (trazione: segno -) nel calcestruzzo in sez. fessurata
e2	Massima deformazione unitaria (compress.: segno +) nel calcestruzzo in sez. fessurata
K2	= 0.5 per flessione; $=(e1 + e2)/(2*e2)$ in trazione eccentrica per la (7.13)EC2 e la (C4.1.11)NTC



RADDOPPIO DELLA LINEA GENOVA – VENTIMIGLIA  
TRATTA FINALE LIGURE – ANDORA  
PROGETTO DEFINITIVO

IN25 – Sistemazione idraulica Rio Castellaro Relazione di calcolo scatolare stradale	COMMESSA L371	LOTTO 00	CODIFICA D 26 CL	DOCUMENTO IN 2500 002	REV. A	FOGLIO 69 di 84
---	------------------	-------------	---------------------	--------------------------	-----------	--------------------

Kt                    fattore di durata del carico di cui alla (7.9) dell'EC2  
e sm                Deformazione media acciaio tra le fessure al netto di quella del cls. Tra parentesi il valore minimo = 0.6 Ss/Es  
srm                 Distanza massima in mm tra le fessure  
wk                 Apertura delle fessure in mm fornito dalla (7.8)EC2 e dalla (C4.1.7)NTC. Tra parentesi è indicato il valore limite.  
M fess.            Momento di prima fessurazione [kNm]

N°Comb	Ver	e1	e2	K2	Kt	e sm	srm	wk	M Fess.
1	S	-0.00032	0.00026	0.50	0.60	0.000161 (0.000161)	428 0.069 (990.00)		-588.09
2	S	-0.00031	0.00026	0.50	0.60	0.000159 (0.000159)	426 0.068 (990.00)		-591.94

**COMBINAZIONI FREQUENTI IN ESERCIZIO - VERIFICA MASSIME TENSIONI NORMALI**

N°Comb	Ver	Sc max	Yc max	Sc min	Yc min	Ss min	Ys min	Dw Eff.	Ac Eff.	As Eff.	D barre
1	S	3.45	0.0	0.00	36.2	-53.7	6.7	14.7	1468	26.5	21.7
2	S	3.46	0.0	0.00	36.5	-53.0	6.7	14.6	1457	26.5	21.7

**COMBINAZIONI FREQUENTI IN ESERCIZIO - VERIFICA APERTURA FESSURE (NTC/EC2)**

N°Comb	Ver	e1	e2	K2	Kt	e sm	srm	wk	M Fess.
1	S	-0.00032	0.00026	0.50	0.60	0.000161 (0.000161)	428 0.069 (0.20)		-588.09
2	S	-0.00031	0.00026	0.50	0.60	0.000159 (0.000159)	426 0.068 (0.20)		-591.94

**COMBINAZIONI QUASI PERMANENTI IN ESERCIZIO - VERIFICA MASSIME TENSIONI NORMALI**

N°Comb	Ver	Sc max	Yc max	Sc min	Yc min	Ss min	Ys min	Dw Eff.	Ac Eff.	As Eff.	D barre
1	S	2.78	0.0	0.00	42.3	-31.0	6.7	12.6	1264	26.5	21.7

**COMBINAZIONI QUASI PERMANENTI IN ESERCIZIO - VERIFICA APERTURA FESSURE (NTC/EC2)**

N°Comb	Ver	e1	e2	K2	Kt	e sm	srm	wk	M Fess.
1	S	-0.00019	0.00021	0.50	0.40	0.000093 (0.000093)	394 0.037 (0.20)		-668.92

**11.4.1.6 Sezione S6**

**CARATTERISTICHE DI RESISTENZA DEI MATERIALI IMPIEGATI**

CALCESTRUZZO -	Classe:	C32/40
	Resistenza compress. di progetto fcd:	18.80 MPa
	Resistenza compress. ridotta fcd':	9.40 MPa
	Deform. unitaria max resistenza ec2:	0.0020
	Deformazione unitaria ultima ecu:	0.0035
	Diagramma tensioni-deformaz.:	Parabola-Rettangolo
	Modulo Elastico Normale Ec:	33642.8 MPa
	Resis. media a trazione fctm:	3.10 MPa
	Coeff.Omogen. S.L.E.:	15.00
	Sc limite S.L.E. comb. Rare:	19.9 MPa
	Sc limite S.L.E. comb. Frequenti:	19.9 MPa
	Ap.Fessure limite S.L.E. comb. Frequenti:	0.200 mm
	Sc limite S.L.E. comb. Q.Permanenti:	14.9 MPa
	Ap.Fess.limite S.L.E. comb. Q.Perm.:	0.200 mm

IN25 – Sistemazione idraulica Rio Castellaro Relazione di calcolo scatolare stradale	COMMESSA L371	LOTTO 00	CODIFICA D 26 CL	DOCUMENTO IN 2500 002	REV. A	FOGLIO 70 di 84
---	------------------	-------------	---------------------	--------------------------	-----------	--------------------

ACCIAIO -	Tipo:	B450C
	Resist. caratt. a snervamento fyk:	450.0 MPa
	Resist. caratt. a rottura ftk:	450.0 MPa
	Resist. a snerv. di progetto fyd:	391.3 MPa
	Resist. ultima di progetto ftd:	391.3 MPa
	Deform. ultima di progetto Epu:	0.068
	Modulo Elastico Ef:	200000.0 MPa
	Diagramma tensioni-deformaz.:	Bilineare finito
	Coeff. Aderenza istant. $\beta_1 * \beta_2$ :	1.00
	Coeff. Aderenza differito $\beta_1 * \beta_2$ :	0.50
	Comb.Rare - Sf Limite:	360.0 MPa

#### CARATTERISTICHE GEOMETRICHE ED ARMATURE SEZIONE

Base:	100.0	cm
Altezza:	80.0	cm
Barre inferiori:	10Ø26	(53.1 cm <sup>2</sup> )
Barre superiori:	5Ø24	(22.6 cm <sup>2</sup> )
Coprif.Inf.(dal baric. barre):	6.7	cm
Coprif.Sup.(dal baric. barre):	6.7	cm
Coprif.Lat. (dal baric.barre):	6.7	cm

#### CALCOLO DI RESISTENZA - SFORZI PER OGNI COMBINAZIONE ASSEGNATA

N	Sforzo normale [kN] applicato nel baricentro (posit. se di compress.)			
Mx	Momento flettente [kNm] intorno all'asse x baric. della sezione con verso positivo se tale da comprimere il lembo sup. della sezione			
VY	Taglio [kN] in direzione parallela all'asse Y del riferim. generale			
MT	Momento torcente [kN m]			
N°Comb.	N	Mx	Vy	MT
1	338.00	916.00	399.00	0.00
2	299.00	752.00	421.00	0.00
3	435.00	1139.00	249.00	0.00
4	-65.00	-275.00	254.00	0.00

#### COMB. RARE (S.L.E.) - SFORZI PER OGNI COMBINAZIONE ASSEGNATA

N	Sforzo normale [kN] applicato nel baricentro (positivo se di compress.)	
Mx	Coppia [kNm] applicata all'asse x baricentrico (tra parentesi il Momento di fessurazione) con verso positivo se tale da comprimere il lembo superiore della sezione	
N°Comb.	N	Mx
1	321.00	452.00
2	310.00	420.00

#### COMB. FREQUENTI (S.L.E.) - SFORZI PER OGNI COMBINAZIONE ASSEGNATA

N	Sforzo normale [kN] applicato nel baricentro (positivo se di compress.)	
Mx	Coppia [kNm] applicata all'asse x baricentrico (tra parentesi il Momento di fessurazione) con verso positivo se tale da comprimere il lembo superiore della sezione	
N°Comb.	N	Mx
1	321.00	452.00 (494.10)
2	310.00	420.00 (496.26)



RADDOPPIO DELLA LINEA GENOVA – VENTIMIGLIA  
TRATTA FINALE LIGURE – ANDORA  
PROGETTO DEFINITIVO

IN25 – Sistemazione idraulica Rio Castellaro Relazione di calcolo scatolare stradale	COMMESSA L371	LOTTO 00	CODIFICA D 26 CL	DOCUMENTO IN 2500 002	REV. A	FOGLIO 71 di 84
---	------------------	-------------	---------------------	--------------------------	-----------	--------------------

**COMB. QUASI PERMANENTI (S.L.E.) - SFORZI PER OGNI COMBINAZIONE ASSEGNATA**

N Sforzo normale [kN] applicato nel baricentro (positivo se di compress.)  
Mx Coppia [kNm] applicata all'asse x baricentrico (tra parentesi il Momento di fessurazione)  
con verso positivo se tale da comprimere il lembo superiore della sezione

N°Comb.	N	Mx
1	339.00	379.00 (508.72)

**RISULTATI DEL CALCOLO**

Copriferro netto minimo barre longitudinali: 5.4 cm  
Interferro netto minimo barre longitudinali: 7.0 cm  
Copriferro netto minimo staffe: 4.2 cm

**VERIFICHE DI RESISTENZA IN PRESSO-TENSO FLESSIONE ALLO STATO LIMITE SOSTANZIALMENTE ELASTICO**

Ver S = combinazione verificata / N = combin. non verificata  
N Sforzo normale baricentrico assegnato [kN] (positivo se di compressione)  
Mx Momento flettente assegnato [kNm] riferito all'asse x baricentrico  
N Ult Sforzo normale alla massima resistenza [kN] nella sezione (positivo se di compress.)  
Mx re Momento resistente sostanzialmente elastico [kNm] riferito all'asse x baricentrico  
Mis.Sic. Misura sicurezza = rapporto vettoriale tra (N re, Mx re) e (N, Mx)  
Verifica positiva se tale rapporto risulta  $\geq 1.000$   
Yn Ordinata [cm] dell'asse neutro alla massima resistenza nel sistema di rif. X,Y,O sez.  
x/d Rapp. di duttilità (travi e solette)[§ 4.1.2.1.2.1 NTC]: deve essere  $< 0.45$   
C.Rid. Coeff. di riduz. momenti in travi continue [formula (4.1.1)NTC]  
As Tesa Area armature long. trave [cm<sup>2</sup>] in zona tesa. (tra parentesi l'area minima di normativa)

N°Comb	Ver	N	Mx	N re	Mx re	Mis.Sic.	Yn	x/d	C.Rid.	As Tesa
1	S	338.00	916.00			1.578	54.5	0.35	0.87	53.1 (13.1) 12)
2	S	299.00	752.00			1.906	54.7	0.35	0.87	53.1 (13.1) 12)
3	S	435.00	1139.00			1.294	54.0	0.35	0.88	53.1 (13.1) 12)
4	S	-65.00	-275.00			2.070	14.0	0.19	0.70	22.6 (13.1)

**DEFORMAZIONI UNITARIE ALLO STATO LIMITE SOSTANZIALMENTE ELASTICO**

ec max Deform. unit. massima del calcestruzzo a compressione  
Yc max Ordinata in cm della fibra corrisp. a ec max (sistema rif. X,Y,O sez.)  
es min Deform. unit. minima nell'acciaio (negativa se di trazione)  
Ys min Ordinata in cm della barra corrisp. a es min (sistema rif. X,Y,O sez.)  
es max Deform. unit. massima nell'acciaio (positiva se di compressione)  
Ys max Ordinata in cm della barra corrisp. a es max (sistema rif. X,Y,O sez.)

N°Comb	ec max	Yc max	es min	Ys min	es max	Ys max
1	0.00104	80.0	0.00077	73.3	-0.00196	6.7
2	0.00103	80.0	0.00076	73.3	-0.00196	6.7
3	0.00107	80.0	0.00080	73.3	-0.00196	6.7
4	0.00046	0.0	0.00024	6.7	-0.00196	73.3

**ARMATURE A TAGLIO E/O TORSIONE DI INVILUPPO PER LE COMBINAZIONI ASSEGNATE**

Diametro staffe/legature: 12 mm  
Passo staffe: 20.0 cm [Passo massimo di normativa = 22.6 cm]

IN25 – Sistemazione idraulica Rio Castellaro Relazione di calcolo scatolare stradale	COMMESSA L371	LOTTO 00	CODIFICA D 26 CL	DOCUMENTO IN 2500 002	REV. A	FOGLIO 72 di 84
---	------------------	-------------	---------------------	--------------------------	-----------	--------------------

N.Bracci staffe: 3  
Area staffe/m : 17.0 cm<sup>2</sup>/m [Area Staffe Minima NTC = 15.0 cm<sup>2</sup>/m]

### VERIFICHE A TAGLIO

Ver	S = comb.verificata a taglio-tors./ N = comb. non verificata
Ved	Taglio agente [kN] uguale al taglio Vy di comb. (sollecit. retta)
Vrd	Taglio resistente [kN] in assenza di staffe [formula (4.1.23)NTC]
Vcd	Taglio compressione resistente [kN] lato calcestruzzo [formula (4.1.28)NTC]
Vwd	Taglio trazione resistente [kN] assorbito dalle staffe [formula (4.1.27)NTC]
bw d	Larghezza minima [cm] sezione misurata parallelam. all'asse neutro   Altezza utile sezione
Ctg	Cotangente dell'angolo di inclinazione dei puntoni di calcestruzzo
Acw	Coefficiente maggiorativo della resistenza a taglio per compressione
Ast	Area staffe/metro strettamente necessaria per taglio e torsione [cm <sup>2</sup> /m]

N°Comb	Ver	Ved	Vrd	Vcd	Vwd	bw d	Ctg	Acw	ASt
1	S	399.00	432.96	2186.40	1094.81	100.0 73.3	2.500	1.022	6.2
2	S	421.00	427.60	2180.86	1094.81	100.0 73.3	2.500	1.020	6.5
3	S	249.00	446.29	2200.19	1094.81	100.0 73.3	2.500	1.029	3.9
4	S	254.00	0.00	2138.35	1094.81	100.0 73.3	2.500	1.000	3.9

### COMBINAZIONI RARE IN ESERCIZIO - VERIFICA MASSIME TENSIONI NORMALI

Ver	S = combinazione verificata / N = combin. non verificata
Sc max	Massima tensione di compress.(+) nel conglom. in fase fessurata [MPa]
Yc max	Ordinata in cm della fibra corrisp. a Sc max (sistema rif. X,Y,O)
Sc min	Minima tensione di compress.(+) nel conglom. in fase fessurata [MPa]
Yc min	Ordinata in cm della fibra corrisp. a Sc min (sistema rif. X,Y,O)
Ss min	Minima tensione di trazione (-) nell'acciaio [MPa]
Ys min	Ordinata in cm della barra corrisp. a Ss min (sistema rif. X,Y,O)
Dw Eff.	Spessore di calcestruzzo [cm] in zona tesa considerata aderente alle barre
Ac eff.	Area di congl. [cm <sup>2</sup> ] in zona tesa aderente alle barre (verifica fess.)
As eff.	Area Barre tese di acciaio [cm <sup>2</sup> ] ricadente nell'area efficace(verifica fess.)
D barre	Distanza in cm tra le barre tese efficaci. (D barre = 0 indica spaziatura superiore a 5(c+Ø/2) e nel calcolo di fess. si usa la (C4.1.11)NTC/(7.14)EC2)

N°Comb	Ver	Sc max	Yc max	Sc min	Yc min	Ss min	Ys min	Dw Eff.	Ac Eff.	As Eff.	D barre
1	S	4.93	80.0	0.00	49.7	-104.8	73.3	16.6	1656	53.1	9.6
2	S	4.59	80.0	0.00	49.5	-96.5	73.3	16.5	1649	53.1	9.6

### COMBINAZIONI RARE IN ESERCIZIO - VERIFICA APERTURA FESSURE (NTC/EC2)

Ver	Esito verifica
e1	Minima deformazione unitaria (trazione: segno -) nel calcestruzzo in sez. fessurata
e2	Massima deformazione unitaria (compressione: segno +) nel calcestruzzo in sez. fessurata
K2	= 0.5 per flessione; =(e1 + e2)/(2*e2)in trazione eccentrica per la (7.13)EC2 e la (C4.1.11)NTC
Kt	fattore di durata del carico di cui alla (7.9) dell'EC2
e sm	Deformazione media acciaio tra le fessure al netto di quella del cls. Tra parentesi il valore minimo = 0.6 Ss/Es
srm	Distanza massima in mm tra le fessure
wk	Apertura delle fessure in mm fornito dalla (7.8)EC2 e dalla (C4.1.7)NTC. Tra parentesi è indicato il valore limite.
M fess.	Momento di prima fessurazione [kNm]

N°Comb	Ver	e1	e2	K2	Kt	e sm	srm	wk	M Fess.
1	S	-0.00061	0.00037	0.50	0.60	0.000314 (0.000314)	321	0.101 (990.00)	494.10
2	S	-0.00056	0.00034	0.50	0.60	0.000289 (0.000289)	321	0.093 (990.00)	496.26

### COMBINAZIONI FREQUENTI IN ESERCIZIO - VERIFICA MASSIME TENSIONI NORMALI

N°Comb	Ver	Sc max	Yc max	Sc min	Yc min	Ss min	Ys min	Dw Eff.	Ac Eff.	As Eff.	D barre
--------	-----	--------	--------	--------	--------	--------	--------	---------	---------	---------	---------



IN25 – Sistemazione idraulica Rio Castellaro Relazione di calcolo scatolare stradale	COMMESSA L371	LOTTO 00	CODIFICA D 26 CL	DOCUMENTO IN 2500 002	REV. A	FOGLIO 73 di 84
---	------------------	-------------	---------------------	--------------------------	-----------	--------------------

1	S	4.93	80.0	0.00	49.7	-104.8	73.3	16.6	1656	53.1	9.6
2	S	4.59	80.0	0.00	49.5	-96.5	73.3	16.5	1649	53.1	9.6

#### COMBINAZIONI FREQUENTI IN ESERCIZIO - VERIFICA APERTURA FESSURE (NTC/EC2)

N°Comb	Ver	e1	e2	K2	Kt	e sm	srm	wk	M Fess.
1	S	-0.00061	0.00037	0.50	0.60	0.000314 (0.000314)	321	0.101 (0.20)	494.10
2	S	-0.00056	0.00034	0.50	0.60	0.000289 (0.000289)	321	0.093 (0.20)	496.26

#### COMBINAZIONI QUASI PERMANENTI IN ESERCIZIO - VERIFICA MASSIME TENSIONI NORMALI

N°Comb	Ver	Sc max	Yc max	Sc min	Yc min	Ss min	Ys min	Dw Eff.	Ac Eff.	As Eff.	D barre
1	S	4.20	80.0	0.00	48.2	-82.5	73.3	16.1	1610	53.1	9.6

#### COMBINAZIONI QUASI PERMANENTI IN ESERCIZIO - VERIFICA APERTURA FESSURE (NTC/EC2)

N°Comb	Ver	e1	e2	K2	Kt	e sm	srm	wk	M Fess.
1	S	-0.00048	0.00031	0.50	0.40	0.000248 (0.000248)	318	0.079 (0.20)	508.72

### 11.4.1.7 Sezione S7

#### CARATTERISTICHE DI RESISTENZA DEI MATERIALI IMPIEGATI

CALCESTRUZZO -	Classe:	C32/40
	Resistenza compress. di progetto fcd:	18.80 MPa
	Deform. unitaria max resistenza ec2:	0.0020
	Deformazione unitaria ultima ecu:	0.0035
	Diagramma tensioni-deformaz.:	Parabola-Rettangolo
	Modulo Elastico Normale Ec:	33642.8 MPa
	Resis. media a trazione fctm:	3.10 MPa
	Coeff.Omogen. S.L.E.:	15.00
	Sc limite S.L.E. comb. Rare:	19.9 MPa
	Sc limite S.L.E. comb. Frequenti:	19.9 MPa
	Ap.Fessure limite S.L.E. comb. Frequenti:	0.200 mm
	Sc limite S.L.E. comb. Q.Permanenti:	14.9 MPa
	Ap.Fess.limite S.L.E. comb. Q.Perm.:	0.200 mm

ACCIAIO -	Tipo:	B450C
	Resist. caratt. a snervamento fyk:	450.0 MPa
	Resist. caratt. a rottura ftk:	450.0 MPa
	Resist. a snerv. di progetto fyd:	391.3 MPa
	Resist. ultima di progetto ftd:	391.3 MPa
	Deform. ultima di progetto Epu:	0.068
	Modulo Elastico Ef:	200000.0 MPa
	Diagramma tensioni-deformaz.:	Bilineare finito
	Coeff. Aderenza istant. β1*β2:	1.00
	Coeff. Aderenza differito β1*β2:	0.50
	Comb.Rare - Sf Limite:	360.0 MPa

### CARATTERISTICHE GEOMETRICHE ED ARMATURE SEZIONE

Base:	100.0	cm
Altezza:	80.0	cm
Barre inferiori:	5Ø26	(26.5 cm <sup>2</sup> )
Barre superiori:	10Ø24	(45.2 cm <sup>2</sup> )
Coprif.Inf.(dal baric. barre):	6.7	cm
Coprif.Sup.(dal baric. barre):	6.7	cm
Coprif.Lat. (dal baric.barre):	6.7	cm

### CALCOLO DI RESISTENZA - SFORZI PER OGNI COMBINAZIONE ASSEGNATA

N	Sforzo normale [kN] applicato nel baricentro (posit. se di compress.)
Mx	Momento flettente [kNm] intorno all'asse x baric. della sezione con verso positivo se tale da comprimere il lembo sup. della sezione
VY	Taglio [kN] in direzione parallela all'asse Y del riferim. generale
MT	Momento torcente [kN m]

N°Comb.	N	Mx	Vy	MT
1	337.00	-862.00	56.00	0.00
2	221.00	-614.00	231.00	0.00

### COMB. RARE (S.L.E.) - SFORZI PER OGNI COMBINAZIONE ASSEGNATA

N	Sforzo normale [kN] applicato nel baricentro (positivo se di compress.)
Mx	Coppia [kNm] applicata all'asse x baricentrico (tra parentesi il Momento di fessurazione) con verso positivo se tale da comprimere il lembo superiore della sezione

N°Comb.	N	Mx
1	320.00	-570.00

### COMB. FREQUENTI (S.L.E.) - SFORZI PER OGNI COMBINAZIONE ASSEGNATA

N	Sforzo normale [kN] applicato nel baricentro (positivo se di compress.)
Mx	Coppia [kNm] applicata all'asse x baricentrico (tra parentesi il Momento di fessurazione) con verso positivo se tale da comprimere il lembo superiore della sezione

N°Comb.	N	Mx
1	320.00	-570.00 (-471.69)

### COMB. QUASI PERMANENTI (S.L.E.) - SFORZI PER OGNI COMBINAZIONE ASSEGNATA

N	Sforzo normale [kN] applicato nel baricentro (positivo se di compress.)
Mx	Coppia [kNm] applicata all'asse x baricentrico (tra parentesi il Momento di fessurazione) con verso positivo se tale da comprimere il lembo superiore della sezione

N°Comb.	N	Mx
1	339.00	-517.00 (-478.76)

### RISULTATI DEL CALCOLO

#### Sezione verificata per tutte le combinazioni assegnate

Copriferro netto minimo barre longitudinali:	5.4	cm
Interferro netto minimo barre longitudinali:	7.2	cm
Copriferro netto minimo staffe:	5.4	cm

IN25 – Sistemazione idraulica Rio Castellaro Relazione di calcolo scatolare stradale	COMMESSA L371	LOTTO 00	CODIFICA D 26 CL	DOCUMENTO IN 2500 002	REV. A	FOGLIO 75 di 84
---	------------------	-------------	---------------------	--------------------------	-----------	--------------------

### VERIFICHE DI RESISTENZA IN PRESSO-TENSO FLESSIONE ALLO STATO LIMITE SOSTANZIALMENTE ELASTICO

Ver	S = combinazione verificata / N = combin. non verificata
N	Sforzo normale baricentrico assegnato [kN] (positivo se di compressione)
Mx	Momento flettente assegnato [kNm] riferito all'asse x baricentrico
N Ult	Sforzo normale alla massima resistenza [kN] nella sezione (positivo se di compress.)
Mx re	Momento resistente sostanzialmente elastico [kNm] riferito all'asse x baricentrico
Mis.Sic.	Misura sicurezza = rapporto vettoriale tra (N re, Mx re) e (N, Mx) Verifica positiva se tale rapporto risulta $\geq 1.000$
Yn	Ordinata [cm] dell'asse neutro alla massima resistenza nel sistema di rif. X,Y,O sez.
x/d	Rapp. di duttilità (travi e solette) [§ 4.1.2.1.2.1 NTC]: deve essere $< 0.45$
C.Rid.	Coeff. di riduz. momenti in travi continue [formula (4.1.1)NTC]
As Tesa	Area armature long. trave [cm <sup>2</sup> ] in zona tesa. (tra parentesi l'area minima di normativa)

N°Comb	Ver	N	Mx	N re	Mx re	Mis.Sic.	Yn	x/d	C.Rid.	As Tesa
1	S	337.00	-862.00			1.464	23.7	0.32	0.84	45.2 (13.1)
2	S	221.00	-614.00			2.000	23.0	0.31	0.83	45.2 (13.1)

### DEFORMAZIONI UNITARIE ALLO STATO LIMITE SOSTANZIALMENTE ELASTICO

ec max	Deform. unit. massima del calcestruzzo a compressione
Yc max	Ordinata in cm della fibra corrisp. a ec max (sistema rif. X,Y,O sez.)
es min	Deform. unit. minima nell'acciaio (negativa se di trazione)
Ys min	Ordinata in cm della barra corrisp. a es min (sistema rif. X,Y,O sez.)
es max	Deform. unit. massima nell'acciaio (positiva se di compressione)
Ys max	Ordinata in cm della barra corrisp. a es max (sistema rif. X,Y,O sez.)

N°Comb	ec max	Yc max	es min	Ys min	es max	Ys max
1	0.00093	0.0	0.00067	6.7	-0.00196	73.3
2	0.00090	0.0	0.00064	6.7	-0.00196	73.3

### VERIFICHE A TAGLIO SENZA ARMATURE TRASVERSALI (§ 4.1.2.1.3.1 NTC)

Ver	S = comb.verificata a taglio/ N = comb. non verificata
Ved	Taglio agente [daN] uguale al taglio Vy di comb. (sollecit. retta)
Vwct	Taglio trazione resistente [kN] in assenza di staffe [formula (4.1.23)NTC]
d	Altezza utile sezione [cm]
bw	Larghezza minima sezione [cm]
Ro	Rapporto geometrico di armatura longitudinale [ $< 0.02$ ]
Scp	Tensione media di compressione nella sezione [MPa]

N°Comb	Ver	Ved	Vwct	d	bw	Ro	Scp
1	S	56.00	412.74	73.3	100.0	0.0062	0.04
2	S	231.00	396.80	73.3	100.0	0.0062	0.03

### COMBINAZIONI RARE IN ESERCIZIO - VERIFICA MASSIME TENSIONI NORMALI

Ver	S = combinazione verificata / N = combin. non verificata
Sc max	Massima tensione di compress.(+) nel conglom. in fase fessurata [MPa]
Yc max	Ordinata in cm della fibra corrisp. a Sc max (sistema rif. X,Y,O)
Sc min	Minima tensione di compress.(+) nel conglom. in fase fessurata [MPa]
Yc min	Ordinata in cm della fibra corrisp. a Sc min (sistema rif. X,Y,O)



RADDOPPIO DELLA LINEA GENOVA – VENTIMIGLIA  
TRATTA FINALE LIGURE – ANDORA  
PROGETTO DEFINITIVO

IN25 – Sistemazione idraulica Rio Castellaro Relazione di calcolo scatolare stradale	COMMESSA L371	LOTTO 00	CODIFICA D 26 CL	DOCUMENTO IN 2500 002	REV. A	FOGLIO 76 di 84
---	------------------	-------------	---------------------	--------------------------	-----------	--------------------

Ss min Minima tensione di trazione (-) nell'acciaio [MPa]  
 Ys min Ordinata in cm della barra corrisp. a Ss min (sistema rif. X,Y,O)  
 Dw Eff. Spessore di calcestruzzo [cm] in zona tesa considerata aderente alle barre  
 Ac eff. Area di congl. [cm<sup>2</sup>] in zona tesa aderente alle barre (verifica fess.)  
 As eff. Area Barre tese di acciaio [cm<sup>2</sup>] ricadente nell'area efficace(verifica fess.)  
 D barre Distanza in cm tra le barre tese efficaci.  
 (D barre = 0 indica spaziatura superiore a 5(c+Ø/2) e nel calcolo di fess. si usa la (C4.1.11)NTC/(7.14)EC2)

N°Comb	Ver	Sc max	Yc max	Sc min	Yc min	Ss min	Ys min	Dw Eff.	Ac Eff.	As Eff.	D barre
1	S	6.31	0.0	0.00	27.2	-160.5	6.7	16.8	1675	45.2	9.6

**COMBINAZIONI RARE IN ESERCIZIO - VERIFICA APERTURA FESSURE (NTC/EC2)**

Ver Esito verifica  
 e1 Minima deformazione unitaria (trazione: segno -) nel calcestruzzo in sez. fessurata  
 e2 Massima deformazione unitaria (compress.: segno +) nel calcestruzzo in sez. fessurata  
 K2 = 0.5 per flessione; =(e1 + e2)/(2\*e2) in trazione eccentrica per la (7.13)EC2 e la (C4.1.11)NTC  
 Kt fattore di durata del carico di cui alla (7.9) dell'EC2  
 e sm Deformazione media acciaio tra le fessure al netto di quella del cls. Tra parentesi il valore minimo = 0.6 Ss/Es  
 srm Distanza massima in mm tra le fessure  
 wk Apertura delle fessure in mm fornito dalla (7.8)EC2 e dalla (C4.1.7)NTC. Tra parentesi è indicato il valore limite.  
 M fess. Momento di prima fessurazione [kNm]

N°Comb	Ver	e1	e2	K2	Kt	e sm	srm	wk	M Fess.
1	S	-0.00092	0.00047	0.50	0.60	0.000482 (0.000482)	338 0.163 (990.00)		-471.69

**COMBINAZIONI FREQUENTI IN ESERCIZIO - VERIFICA MASSIME TENSIONI NORMALI**

N°Comb	Ver	Sc max	Yc max	Sc min	Yc min	Ss min	Ys min	Dw Eff.	Ac Eff.	As Eff.	D barre
1	S	6.31	0.0	0.00	27.2	-160.5	6.7	16.8	1675	45.2	9.6

**COMBINAZIONI FREQUENTI IN ESERCIZIO - VERIFICA APERTURA FESSURE (NTC/EC2)**

N°Comb	Ver	e1	e2	K2	Kt	e sm	srm	wk	M Fess.
1	S	-0.00092	0.00047	0.50	0.60	0.000482 (0.000482)	338 0.163 (0.20)		-471.69

**COMBINAZIONI QUASI PERMANENTI IN ESERCIZIO - VERIFICA MASSIME TENSIONI NORMALI**

N°Comb	Ver	Sc max	Yc max	Sc min	Yc min	Ss min	Ys min	Dw Eff.	Ac Eff.	As Eff.	D barre
1	S	5.76	0.0	0.00	27.9	-141.0	6.7	16.8	1675	45.2	9.6

**COMBINAZIONI QUASI PERMANENTI IN ESERCIZIO - VERIFICA APERTURA FESSURE (NTC/EC2)**

N°Comb	Ver	e1	e2	K2	Kt	e sm	srm	wk	M Fess.
1	S	-0.00081	0.00043	0.50	0.40	0.000439 (0.000423)	338 0.148 (0.20)		-478.76

#### 11.4.2 Verifiche geotecniche: verifica a carico limite

Il terreno di fondazione deve essere in grado di sopportare il carico che gli viene trasmesso dalle strutture sovrastanti senza che si verifichi rottura e senza che i cedimenti della struttura siano eccessivi.

La verifica a carico limite è eseguita in automatico dal software di calcolo attraverso l'utilizzo di una formula trinomia. Come è noto, in letteratura esistono diverse formule che si differenziano tra loro per l'introduzione di fattori correttivi per tener conto della profondità della fondazione, dell'eccentricità ed inclinazione del carico, ecc.

Nel caso in esame, si sono utilizzate le espressioni dei coefficienti proposti da Brinch-Hansen (1970). Si riportano qui di seguito i risultati ottenuti per la combinazione di carico più gravosa.

**Fondazioni Dirette**  
**Verifica in tensioni efficaci**

$$q_{lim} = c' \cdot N_c \cdot s_c \cdot d_c \cdot i_c \cdot b_c \cdot g_c + q \cdot N_q \cdot s_q \cdot d_q \cdot i_q \cdot b_q \cdot g_q + 0,5 \cdot \gamma \cdot B \cdot N_\gamma \cdot s_\gamma \cdot d_\gamma \cdot i_\gamma \cdot b_\gamma \cdot g_\gamma$$

D = Profondità del piano di appoggio

$e_B$  = Eccentricità in direzione B ( $e_B = M_b/N$ )

$e_L$  = Eccentricità in direzione L ( $e_L = M_l/N$ ) (per fondazione nastriforme  $e_L = 0$ ;  $L^* = L$ )

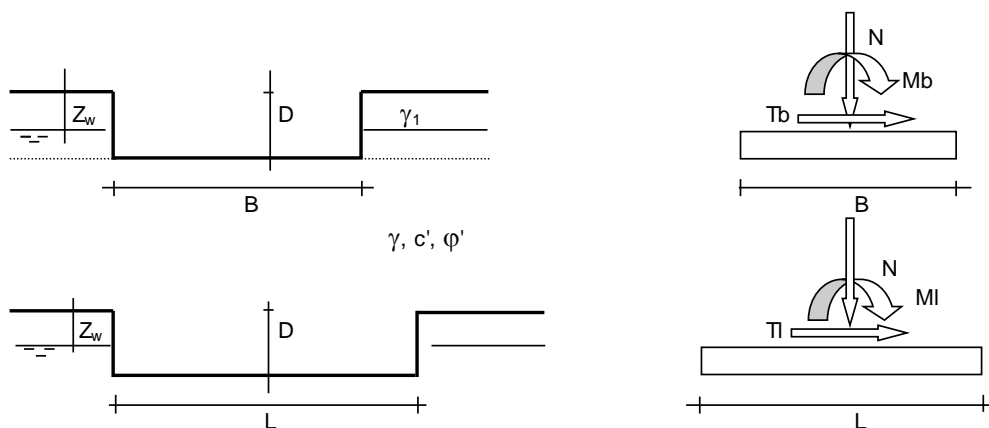
$B^*$  = Larghezza fittizia della fondazione ( $B^* = B - 2 \cdot e_B$ )

$L^*$  = Lunghezza fittizia della fondazione ( $L^* = L - 2 \cdot e_L$ )

(per fondazione nastriforme le sollecitazioni agenti sono riferite all'unità di lunghezza)

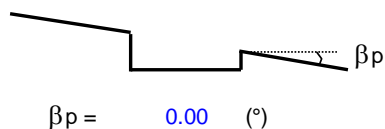
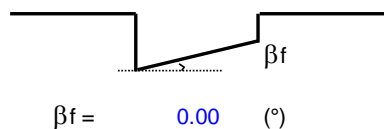
**coefficienti parziali**

Metodo di calcolo	azioni		proprietà del terreno		resistenze			
	permanenti	temporanee variabili	$\tan \varphi'$	$c'$	$q_{lim}$	scorr		
Stato Limite Ultimo	A1+M1+R1	○	1.30	1.50	1.00	1.00	1.00	
	A2+M2+R2	○	1.00	1.30	1.25	1.25	1.80	1.00
	SISMA	○	1.00	1.00	1.25	1.25	1.80	1.00
	A1+M1+R3	○	1.30	1.50	1.00	1.00	2.30	1.10
	SISMA	○	1.00	1.00	1.00	1.00	2.30	1.10
Tensioni Ammissibili	○	1.00	1.00	1.00	1.00	3.00	3.00	
Definiti dal Progettista	●	1.00	1.00	1.00	1.00	1.00	1.00	



(Per fondazione nastriforme L = 100 m)

B = 10.90 (m)  
L = 100.00 (m)  
D = 6.00 (m)



**AZIONI**

	valori di input		Valori di calcolo
	permanenti	temporanee	
N [kN]	1234.58		1234.58
Mb [kNm]	1224.99		1224.99
MI [kNm]			0.00
Tb [kN]	0.00		0.00
Ti [kN]	0.00		0.00
H [kN]	0.00	0.00	0.00

*Peso unità di volume del terreno*

$\gamma_1 = 20.00 \text{ (kN/mc)}$   
 $\gamma = 20.00 \text{ (kN/mc)}$

*Valori caratteristici di resistenza del terreno*

$c' = 0.00 \text{ (kN/mq)}$   
 $\phi' = 32.00 \text{ (}^\circ\text{)}$

*Valori di progetto*

$c' = 0.00 \text{ (kN/mq)}$   
 $\phi' = 32.00 \text{ (}^\circ\text{)}$

*Profondità della falda*

$Z_w = 10.00 \text{ (m)}$

$e_B = 0.99 \text{ (m)}$   
 $e_L = 0.00 \text{ (m)}$

$B^* = 8.92 \text{ (m)}$   
 $L^* = 1.00 \text{ (m)}$

**q : sovraccarico alla profondità D**

$q = 120.00 \text{ (kN/mq)}$

**$\gamma$  : peso di volume del terreno di fondazione**

$\gamma = 13.67 \text{ (kN/mc)}$

**$N_c, N_q, N_\gamma$  : coefficienti di capacità portante**

$N_q = \tan^2(45 + \phi'/2) \cdot e^{(\pi \cdot \tan \phi')}$

$N_q = 23.18$

$N_c = (N_q - 1) / \tan \phi'$

$N_c = 35.49$

$N_\gamma = 2 \cdot (N_q + 1) \cdot \tan \phi'$

$N_\gamma = 30.21$

**$s_c, s_q, s_\gamma$  : fattori di forma**

$$s_c = 1 + B \cdot N_q / (L^* N_c)$$

$$s_c = 1.00$$

$$s_q = 1 + B \cdot \tan \varphi' / L^*$$

$$s_q = 1.00$$

$$s_\gamma = 1 - 0,4 \cdot B^* / L^*$$

$$s_\gamma = 1.00$$

**$i_c, i_q, i_\gamma$  : fattori di inclinazione del carico**

$$m_b = (2 + B^* / L^*) / (1 + B^* / L^*) = 0.00 \quad \theta = \arctg(T_b/T_l) = 0.00 \quad (^\circ)$$

$$m_l = (2 + L^* / B^*) / (1 + L^* / B^*) = 0.00 \quad m = 2.00 \quad (-)$$

( $m=2$  nel caso di fondazione nastriforme e  $m=(m_b \sin^2 \theta + m_l \cos^2 \theta)$  in tutti gli altri casi)

$$i_q = (1 - H / (N + B^* L^* c' \cotg \varphi'))^m$$

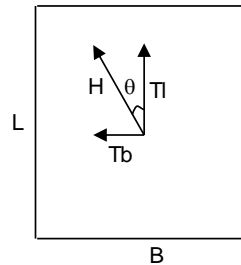
$$i_q = 1.00$$

$$i_c = i_q - (1 - i_q) / (N_q - 1)$$

$$i_c = 1.00$$

$$i_\gamma = (1 - H / (N + B^* L^* c' \cotg \varphi'))^{(m+1)}$$

$$i_\gamma = 1.00$$



**$d_c, d_q, d_\gamma$  : fattori di profondità del piano di appoggio**

per  $D/B^* \leq 1$ ;  $d_q = 1 + 2 D \tan \varphi' (1 - \sin \varphi)^2 / B^*$

per  $D/B^* > 1$ ;  $d_q = 1 + (2 \tan \varphi' (1 - \sin \varphi)^2) * \arctan (D / B^*)$

$$d_q = 1.39$$

$$d_c = d_q - (1 - d_q) / (N_c \tan \varphi')$$

$$d_c = 1.41$$

$$d_\gamma = 1$$

$$d_\gamma = 1.00$$



**$b_c, b_q, b_\gamma$  : fattori di inclinazione base della fondazione**

$$b_q = (1 - \beta_f \tan\varphi')^2 \quad \beta_f + \beta_p = 0.00 \quad \beta_f + \beta_p < 45^\circ$$

$$b_q = 1.00$$

$$b_c = b_q - (1 - b_q) / (N_c \tan\varphi')$$

$$b_c = 1.00$$

$$b_\gamma = b_q$$

$$b_\gamma = 1.00$$

**$g_c, g_q, g_\gamma$  : fattori di inclinazione piano di campagna**

$$g_q = (1 - \tan\beta_p)^2 \quad \beta_f + \beta_p = 0.00 \quad \beta_f + \beta_p < 45^\circ$$

$$g_q = 1.00$$

$$g_c = g_q - (1 - g_q) / (N_c \tan\varphi')$$

$$g_c = 1.00$$

$$g_\gamma = g_q$$

$$g_\gamma = 1.00$$

**Carico limite unitario**

$$q_{lim} = 4067.36 \quad (\text{kN/m}^2)$$

**Pressione massima agente**

$$q = N / B^* L^*$$

$$q = 138.47 \quad (\text{kN/m}^2)$$

**Verifica di sicurezza capacità portante**

$$q_{lim} / \gamma_R = 4067.36 \geq q = 138.47 \quad (\text{kN/m}^2)$$

### 11.4.3 Verifiche di equilibrio (EQU): verifica a galleggiamento

Come descritto nella parte introduttiva, la struttura interagisce con la falda, pertanto, è necessario verificare che la sottospinta idrostatica dell'acqua non superi il peso della struttura. Si fa riferimento ai coefficienti riportati nella tabella 6.2.I delle NTC2018 (EQU), per cui i carichi permanenti favorevoli (peso della struttura e ricoprimento) sono moltiplicati per  $\gamma_{G1,fav} = 0.9$  e  $\gamma_{G2,fav} = 0.8$  mentre i carichi sfavorevoli (sottospinta dell'acqua) sono moltiplicati per  $\gamma_{G1,sfav} = 1.1$ . Cautelativamente si trascura il peso del rivestimento interno dei muri a U.

Si calcolano le forze stabilizzanti per un metro lineare di struttura:

$$G_{1,stab} = \gamma_{cls} \cdot [2 \cdot S_p \cdot H_{int} + S_s \cdot L_{tot} + S_f \cdot (L_{tot} + 0.3m)] =$$

$$= 25 \cdot [2 \cdot 0.8 \cdot 4.5 + 0.8 \cdot 9.6 + 0.8 \cdot (9.6 + 0.3)] = 570kN$$

$$G_{2,stab} = g_2 \cdot L_{tot} = 92 \cdot 9.6 = 883kN$$

La spinta instabilizzante risulta:

$$S_w = h_w \cdot \gamma_w \cdot (L_{tot} + 0.3m) = 6.2 \cdot 10 \cdot (9.6 + 0.3) = 614kN$$

Verifica:

$$FS = (\gamma_{G1,fav} \cdot G_{1,stab} + \gamma_{G2,fav} \cdot G_{2,stab}) / \gamma_{G1,sfav} \cdot S_w = 1.81 > 1.0$$

La verifica è soddisfatta.

## 12 RIEPILOGO ARMATURE E CALCOLO DELLE INCIDENZE

Elemento	Sezione	Armatura principale	Armatura secondaria	Armatura a taglio	Incidenza
Soletta superiore	Nodi	1Ø26/10cm sup. 1Ø26/20cm inf.	1+1Ø20/20cm	Ø12/20x40	150kg/m <sup>3</sup>
	Campata	1Ø26/20cm sup. 1Ø26/10cm inf.	1+1Ø20/20cm	Ø12/40x40	
Piedritti	Nodi	1Ø26/10cm ext. 1Ø24/20cm int.	1+1Ø20/20cm	Ø12/20x40	120kg/m <sup>3</sup>
	Campata	1Ø26/20cm ext. 1Ø24/20cm int.	1+1Ø20/20cm	Ø12/40x40	
Soletta inferiore	Nodi	1Ø24/20cm sup. 1Ø26/10cm inf.	1+1Ø20/20cm	Ø12/20x40	140kg/m <sup>3</sup>
	Campata	1Ø24/10cm sup. 1Ø26/20cm inf.	1+1Ø20/20cm	Ø12/40x40	



RADDOPPIO DELLA LINEA GENOVA – VENTIMIGLIA  
TRATTA FINALE LIGURE – ANDORA  
PROGETTO DEFINITIVO

IN25 – Sistemazione idraulica Rio Castellaro  
Relazione di calcolo scatolare stradale

COMMESSA  
L371

LOTTO  
00

CODIFICA  
D 26 CL

DOCUMENTO  
IN 2500 002

REV.  
A

FOGLIO  
84 di 84